

## **General Disclaimer**

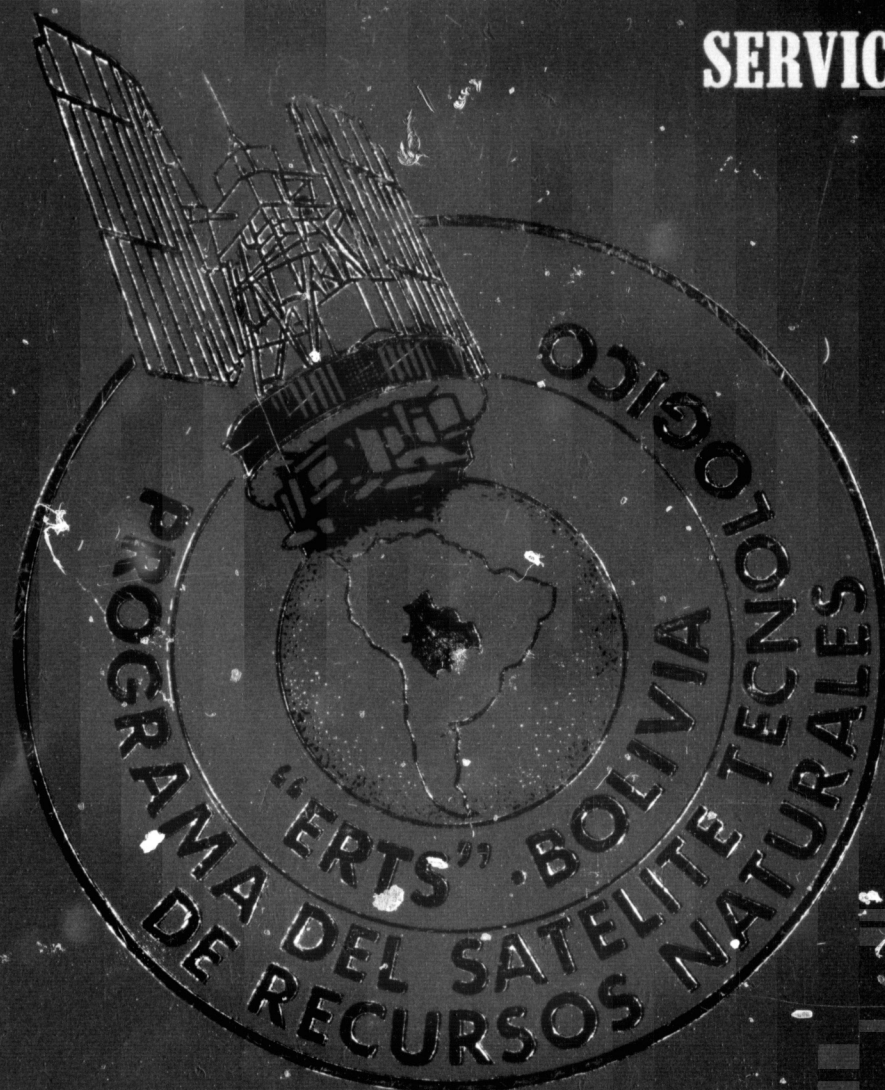
### **One or more of the Following Statements may affect this Document**

- This document has been reproduced from the best copy furnished by the organizational source. It is being released in the interest of making available as much information as possible.
- This document may contain data, which exceeds the sheet parameters. It was furnished in this condition by the organizational source and is the best copy available.
- This document may contain tone-on-tone or color graphs, charts and/or pictures, which have been reproduced in black and white.
- This document is paginated as submitted by the original source.
- Portions of this document are not fully legible due to the historical nature of some of the material. However, it is the best reproduction available from the original submission.



"Made available under NASA sponsorship  
in the interest of early and wide dis-  
semination of Earth Resources Survey  
Program information and without liability  
for any use made thereof."

# PROGRAMA DEL SATELITE TECNICA DE RECURSOS NATURALES ERTS SERVICIO GEOLOGICO DE BOLIVIA



(E78-10  
PROGRAMA  
Geologia  
HC A08/

MINISTERIO DE MINERIA Y METALURGIA

# GEOBOL

IA DEL SATELITE TECNOLOGICO  
SOS NATURALES ERTS - BOLIVIA  
CIO GEOLOGICO DE BOLIVIA

(E78-10087) BOLIVIAN SATELLITE TECHNOLOGY  
PROGRAM ON ERTS NATURAL RESOURCES (Servicio  
Geologico de Bolivia, La Paz.) 168 p  
HC A08/MF A01

N78-19566

CSCL 086

Unclass

G3/43 00087

PROCESAMIENTO DIGITAL DE DATOS MULTIESPECTRALES

# AREA DESAGUADERO

PROYECTO EXPERIMENTAL



CONTRIBUCION ESPECIAL 1  
SERIE SENSORES REMOTOS

JULIO 1977



"Made available under NASA sponsorship  
in the interest of early and wide dis-  
semination of Earth Resources Survey  
Program information and without liability  
for any use made thereof."

# PROGRAMA DEL SATELITE TERRAMA DE RECURSOS NATURALES ERT SERVICIO GEOLOGICO DE E

PRO

Original photography may be  
EROS Data Center

Sioux Falls, SD

MINISTERIO DE MINERIA Y METALURGIA

# GEOBOL

ORIGINAL CONTACT  
COLOR ILLUSTRATION

AMA DEL SATELITE TECNOLOGICO  
RSOS NATURALES ERTS - BOLIVIA  
VICIO GEOLOGICO DE BOLIVIA

7.8 100.875  
CR -155765

PROCESAMIENTO DIGITAL DE DATOS MULTIESPECTRALES

# AREA DESAGUADERO

PROYECTO EXPERIMENTAL

Original photography may be purchased from  
EROS Data Center

Sioux Falls, SD

ORIGINAL CONTAINS  
COLOR ILLUSTRATIONS

CONTRIBUCION ESPECIAL  
SERIE SENSORES REMOTOS 1

JULIO 1977

1A



## A U T O R E S

Dr. Carlos Brockmann H.  
DIRECTOR PROGRAMA ERTS-BOLIVIA

### LARS-PURDUE UNIVERSITY

Dr. Luis Bartolucci C.

Dr. Robert Hoffer

Dr. D.W. Levandowski

### PROGRAMA ERTS-GEOBOL

Ing. Isaac Ugarte

Ing. René Valenzuela R.

### PROGRAMA ERTS.

Ing. Moisés Ureña E.

Ing. Reynaldo Oros

# INDICE

LISTA DE FIGURAS	pág. 4
LISTA DE MAPAS	pág. 5
LISTA DE TABLAS	pág. 6
RESUMEN .....	7
INTRODUCCION .....	9
OBJETIVOS DEL PROYECTO.....	10
DESCRIPCION DEL AREA DE ESTUDIO.....	11
Generalidades.....	11
Complejo Montañoso .....	11
Altiplano .....	13
Complejo Volcánico .....	13
Clima.....	13
Accesibilidad .....	14
Flora .....	14
Fauna.....	14
DATOS UTILIZADOS .....	15
ANALISIS DE DATOS .....	18
Pre-procesamientos de Datos.....	18
Procesamiento de datos.....	19
RESULTADOS DEL ANALISIS DIGITAL.....	29
EVALUACION DE RESULTADOS .....	31
Generalidades.....	31
APLICACIONES EN EL MAPEO GEOLOGICO .....	32
Cuadrángulo Choquecota .....	32
Cuadrángulo Huayllamarca.....	34
Cuadrángulo Jesús Machaca.....	34
APLICACIONES EN EL MAPEO DE SUELOS.....	35
Generalidades.....	35
Objetivos.....	35
RESULTADOS PRELIMINARES.....	35
Area Huayllamarca .....	35
Area Eucaliptus.....	38
METODOLOGIA DE TRABAJO .....	37
RESULTADOS FINALES.....	39
LEYENDA DEL MAPA DE SUELOS .....	39
CLASIFICACION DE SUELOS .....	42
CONCLUSIONES.....	48
RECOMENDACIONES .....	48
APLICACIONES EN EL MAPEO DE USO ACTUAL DE LA TIERRA .....	50
Generalidades.....	50
Objetivos.....	50
RESULTADOS .....	50
Area de Huayllamarca .....	52
Area de Eucaliptus .....	52
METODOLOGIA DE TRABAJO .....	50
RESULTADOS FINALES.....	51
DESARROLLO DE LA LEYENDA DE USO ACTUAL DE LA TIERRA.....	54
DESCRIPCION DE LAS UNIDADES DE USO ACTUAL DE LA TIERRA .....	54
CONCLUSIONES.....	58
RECOMENDACIONES .....	58

LIST OF BE TA
ABSTRACT.....
INTRODU.....
PROJECT.....
TEST SITE.....
Gener.....
Moun.....
Altipl.....
Volca.....
Clima.....
Acces.....
Flora.....
Fauna.....
UTILIZED.....
ANALYSIS.....
Pre-pr.....
Proces.....
DIGIT.....
PRELIMIN.....
Gener.....
APLICATIO.....
Quad.....
Quad.....
Quad.....
APPLICATIO.....
Gener.....
Object.....
PRELIMIN.....
Huayll.....
Eucalipt.....
METHODO.....
FINAL RES.....
SOIL MAP.....
CLASSIFIC.....
CONCLUSIO.....
RECOMENT.....
APPLICATIO.....
Gener.....
Object.....
RESULTS.....
Huayll.....
Eucalipt.....
METHODO.....
FINAL RES.....
DEVELOP.....
DESCRIPT.....
CONCLUSIO.....
RECOMEN.....



# CONTENTS

FE TABLAS pág. 6

LIST OF FIGURES pág. 4

LIST OF MAPS pág. 5

LIST OF TABLES pág. 6

AC	7
OU	9
CT	10
TE	11
her	11
un	11
ip	13
ca	13
na	13
ces	14
ra	14
ina	14
ED	15
SIS	18
pr	18
ces	19
SIT	29
IN	31
her	31
TIC	32
dr	32
dr	34
dr	34
AT	35
er	35
ect	35
IN	35
yll	35
alip	38
DO	37
RES	39
AP	39
FIC	42
UST	48
EN	48
ATI	50
era	50
etiv	50
S	50
yll	52
alip	52
OOT	50
ES	51
OP	54
RA	54
PTI	58
SIC	58
ENT	58

ABSTRACT	7
INTRODUCTION	9
PROYECT OBJECTIVES	10
TEST SITE DESCRIPTION	11
General	11
Mountain Complex (Paleozoic Block)	11
Altiplano	13
Volcanic Complex (Wetern Cordillera)	13
Climate	14
Accessibility	14
Flora	14
Fauna	14
UTILIZED DATA	15
ANALYSIS DATA	18
Pre-processing data	18
Processing data	18
DIGITAL ANALYSIS RESULTS	29
PRELIMINARY EVALUATION OF RESULTS	31
General	31
APPLICATIONS TO GEOLOGIC MAPPING	32
Quadrangle Choquecota	32
Quadrangle Huayllamarca	34
Quadrangle Jesús de Machaca	34
APPLICATIONS OF DIGITAL CLASSIFICATION TO SOIL MAPPING	35
General	35
Objectives	35
PRELIMINARY RESULTS	35
Huayllamarca area	35
Eucaliptus area	38
METHODOLOGY	37
FINAL RESULTS	39
SOIL MAP LEGEND	39
CLASSIFICATION OF SOILS	42
CONCLUSIONS	48
RECOMENDATIONS	48
APPLICATION OF DIGITAL CLASSIFICATION TO ACTUAL LAND USE MAPPING	50
General	50
Objetives	50
RESULTS	50
Huayllamarca area	52
Eucaliptus area	52
METHODOLOGY	50
FINAL RESULTS	51
DEVELOPMENT OF THE ACTUAL LAND USE LEGEND	54
DESCRIPTION OF THE ACTUAL LAND USE UNITS	54
CONCLUSIONS	58
RECOMENDATIONS	58



## LISTA DE FIGURAS

Figuras	Detalle	Página	Figures	
1	Fotomosaico de imágenes LANDSAT cubriendo el territorio boliviano, localización del área de estudio. ....	12	1	LANEivian test si.....
2	Imagen LANDSAT del río Desaguadero, mostrando los Departamentos de La Paz, Oruro, límites provinciales y poblaciones importantes. ....	12	2	LANEtos d ro an.....
3	Ubicación de las tres provincias fisiográficas mayores presentes en el área de la imagen Desaguadero. ....	12	3	Locael ár River.....
4	Imágenes en blanco y negro de las cuatro bandas de LANDSAT del área del Desaguadero. ....	12	4	Blackel ár area.....
5	Ubicación de misiones aéreas fotográficas multiespectrales (líneas de vuelo) .....	17	5	Locade vu .....
6	Ejemplos de cuatro fotografías aéreas multiespectrales del área Laguna Parkhokhota. ....	17	6	Exam area Lagu .....
7	Composición IR color, corregida geoméricamente.....	20	7	Geom LAN.....
8	División de la imagen LANDSAT del Desaguadero en 15 cuadrángulos. ....	20	8	Divis .....
9	Procesadores del análisis del sistema "Software" de LARSYS. ....	21	9	Anal .....
10	Secuencia de análisis LARSYS para la clasificación multiespectral de datos de LANDSAT-1 Desaguadero.....	23	10	de dat LAR Desa .....
11	Salida en línea pictórica en escala grís (PICTUREPRINT) de un área de la imagen LANDSAT del Desaguadero.....	23	11	rea de Gray the D .....
12	Mapa de dispersión "cluster" del área delimitada en la figura 11.....	23	12	Clust es de l .....
13	Separabilidad espectral de todos los pares posibles de combinaciones de las clases de dispersión "Cluster".....	25	13	Spec .....
14	Relación entre la divergencia transformada y la probabilidad (en porcentaje) de una clasificación correcta. ....	25	14	Rela orcent of co .....
15	Medias y varianzas de las clases espectrales definidas por el procesador de dispersión. Area Laguna Parkhokhota. ....	26	15	Mean sador cess .....
16	Histogramas de una clase de dispersión "cluster" en las cuatro bandas de longitud de onda de LANDSAT MSS. Area Laguna Parkhokhota. ....	26	16	Histo ndas band .....
17	Diseño espectral coincidente para 8 clases definidas por dispersión.....	28	17	Coin .....
18	Mapa de clasificación alfanumérico producido por el procesador PRIN- TRESULTS de LARSYS. ....	28	18	Alph PRI SUL.....



# LIST OF FIGURES

Página	Figures	Page
Niviano, t si ..... 12	1	LANDSAT photomosaic covering the Bolivian territory. Localization of test site..... 12
Natos de ang ..... 12	2	LANDSAT frame of the Desaguadero River The Department La Paz, Oru- ro and province boundaries, and most important towns in the area. .... 12
ca el área ver ..... 12	3	Location of three physiographic provinces present in the Desaguadero River test site. .... 12
ck el área a ..... 12	4	Black and white imagery in the four LANDSAT bands of the Desaguadero area..... 16
cade vue- ..... 17	5	Location of the multispectral prhographic aerial missions (flight lines). 17
am ea Laguna ..... 17	6	Example of four multispectral aerial photograp in Parkhokhota Lake area. .... 17
om AN ..... 20	7	Geomatically corrected color IR composite of the Rio Desaguadero LANDSAT frame. .... 20
los. .... 20	8	Divisions of the Desaguadero LANDSAT frame into fifteen quadrangles. .... 20
vis ..... 21	9	Analysis processors of the LARSYS softwate system. .... 21
hal de datos AR ..... 23	10	LARSYS analysis sequence used for the multispectral classification of the Desaguadero LANDSAT-1 MSS data ..... 21
esa rea de la ray ..... 23	11	Gray scale pictorial line printer output (PICTUREPRINT) of an area of the Desaguadero LANDSAT frame. .... 23
e D ..... 23	12	Cluster map of the area outlined in Figure 11. Laguna Parkokota area. .... 23
usi es de las ect ..... 25	13	Spectral separability of all possible pair combinations of cluster classes..... 25
ela rcenta- co ..... 25	14	Relationship between transformed divergence and probability (in percent) of correct classification. .... 25
ear sador de ssc ..... 26	15	Means and variances of the spectral classes defined by the clustering pro- cessor. Laguna Parkokota area. .... 26
ist ndas de and ..... 26	16	Histograms of one cluster class in the four LANDSAT MSS wavelenght bands. Laguna Parkokota area. .... 26
oin ..... 28	17	Coincident spectral plot for the 8 classes defined by clustering..... 28
ph PRIN- UL ..... 28	18	Alphanumeric classification map produced by the LARSYS *PRINTRE- SULTS processor..... 28

4A

19	Mapa codificado a color de clasificación producido por el procesamiento PHOTO de LARSYS.....	28
20	Mapa de clasificación multiespectral del cuadrángulo de Choquecota.....	33
21	Mapa de clasificación multiespectral del cuadrángulo de Huayllamarca.....	33
22	Mapa de clasificación multiespectral del cuadrángulo de Jesús de Machaca.....	40
23	Fotografía del impreso de la clasificación alfanumérico codificado a color de un sector del cuadrángulo de Jesús de Machaca. ....	40
24	Mapa de clasificación multiespectral del cuadrángulo de Eucaliptus. ....	41

### LISTA DE MAPAS

Mapa No.	Detalle
1	Mapa de suelos escala 1:50.000 sector E. del cuadrángulo de Huayllamarca.
2	Mapa de suelos escala 1:50.000 sector W. del cuadrángulo de Eucaliptus.
3	Mapa de Uso Actual de la Tierra escala 1:50.000 sector E. del cuadrángulo de Huayllamarca.
4	Mapa de Uso Actual de la Tierra escala 1:50.000 sector W. del cuadrángulo de Eucaliptus.

### LISTA DE TABLAS

Tabla No.	Descripción	Página
1	Descripción de los colores de la clasificación multiespectral de suelos en el área Huayllamarca.....	36
2	Descripción de los colores de la clasificación multiespectral de suelos en el área Eucaliptus. ....	38
3	Agrupación de clases espectrales y simbología en los mapas finales .....	43
4	Leyenda del mapa de suelos. ....	49
5	Relación de las clases espectrales con las unidades de Uso Actual de la Tierra Huayllamarca.....	52
6	Relación de las clases espectrales con las unidades de Uso Actual de la Tierra Eucaliptus.....	52
7	Relación de símbolos alfanuméricos con tipos de suelos y unidades de Uso Actual de la Tierra.....	53



procesamiento .....	28	19	Color-coded clasification map produced by the LARSYS *PHOTO processor. ....	28
quecota.....	33	20	Multispectral classification map of the Choquecota quadrangle.....	33
ayllamarca .....	33	21	Multispectral classification map of the Huayllamarca quadrangle.....	33
s de Machaca.....	40	22	Multispectral classification map of the Jesús de Machaca quadrangle. ....	40
ado a color de .....	40	23	Photograph of a color-coded alphanumeric classification, printout of a portion of the Jesús de Machaca quadrangle. ....	40
caliptus. ....	41	24	Multiespectral classification map of the Eucaliptus quadrangle. ....	41

### LIST OF MAPS

Map No.	Detail
1-2	Soil map area E. Huayllamarca quadrangle. (Huayllamarca North and Huayllamarca South)
3-4	Soil map area W. Eucaliptus quadrangle (Eucaliptus North and Eucaliptus South)
5-6	Land Use map. Area E. Huayllamarca quadrangle. (Huayllamarca North and Huayllamarca South)
7-6	Land Use map. Area W. Eucaliptus quadrangle. (Eucaliptus North and Eucaliptus South)

### LIST OF TABLES

Página	Table No.	Description	Page
de suelos en el .....	1	Description of colors of the multiespectral Soil Classification in the Huayllamarca area.....	36
de suelos en el .....	2	Description of colors of the Multiespectral Soil classification in the Eucaliptus area,.....	38
finales .....	3	Grouping of Spectral classes and Symbols Used in the final maps. ....	33
.....	4	Soil map Legend. ....	49
o Actual de la .....	5	Relation of the spectral classes with the Actual Land Use units Huayllamarca. ....	52
o Actual de la .....	6	Relation of the Spectral classes with the Actual land Use units Eucaliptus. ....	52
idades de Uso .....	7	Relation of alphanumeric symbols with soil types and Actual Land Use Units.....	53

## BIBLIOGRAFIA — BIBLIOGRAPHY

- NASA "ERTS Data Users Handboock" Document No. 5154249, Goddard Space Flight Center, Greenbelt, Maryland 1972
- ANUTA P.E. "Geometric Correction of ERTS-1 Digital Multispectral Scanner Data"  
LARS Information Note 103073, Laboratory for Applications of Remote Sensing, Purdue University, West Lafayette - Indiana U.S.A. 1973
- WACKER, A.G. and D.A. LANDGREBE "Minimun Distance Classification in Remote Sensing" LARS. Information Note 030772 Laboratory for Applications of Remote Sensing, Purdue University. West Lafayette - Indiana U.S.A. 1972.
- SWAIN P.H., T.V. ROBERTSON AND A.G. WACKER "Comparison of the Divergence and B-Distance in Feature Selection".  
LARS Information Note 020871 Laboratory for Applications of Remote Sensing Purdue University. West Lafayette - Indiana U.S.A. 1971
- CARDILLO G.P. AND D.A. LANDGREBE "On Pattern Recognition".  
LARS Information Note 101866 Laboratory for Applications of Remote Sensing, Purdue University. West Lafayette, Indiana 1966.
- UGARTE M. ISAAC VALENZUELA R. RENE Procesamiento Digital de Datos Multiespectrales vía computadora de la imagen Desaguadero ERTS-Bolivia. Programa del Satélite Tecnológico de Recursos Naturales. La Paz - Bolivia 1976



## RESUMEN

Este informe presenta los resultados de un proyecto de investigación cooperativo conducido por el Programa ERTS Bolivia y el Laboratorio para la Aplicación de Percepción Remota (LARS), Universidad de Purdue, bajo el auspicio del Centro de Investigación de Desarrollo Internacional del Canadá.

El propósito de este estudio es demostrar la aplicación de técnicas de análisis con ayuda de computadoras (CAAT) en el mapéo de tipos mayores de cubierta del terreno (con énfasis en el mapéo geológico, suelos y uso actual de la tierra) en una región de Altiplano boliviano, usando información digital de LANDSAT MSS.

Para la realización del presente trabajo, se entrenó a un equipo de profesionales bolivianos en el método de procesamiento digital LARSYS Versión 3.

This re  
the Bolivian  
(LARS), Pu  
Reseach Cen

The pu  
analysis tech  
geological, s  
LANDSAT I

In add  
utilize the L  
MSS data.

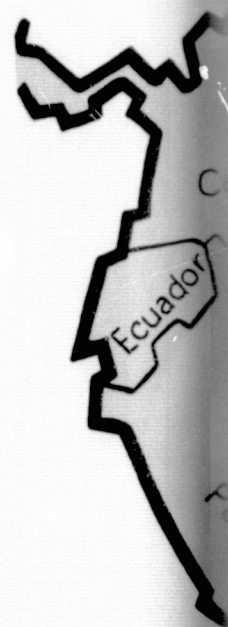
## ABSTRACT

This report discusses the results of a cooperative research project conducted by the Bolivian ERTS Program and the Laboratory for Applications of Remote Sensing (LARS), Purdue University, under sponsorship of the International Development Research Center of Canada.

The purpose of this project was to assess the applicability of computer-aided analysis techniques (CAAT) to map major ground cover types (with emphasis on geological, soils and Land use mapping) in a region of the Bolivian Altiplano, using LANDSAT MSS digital data.

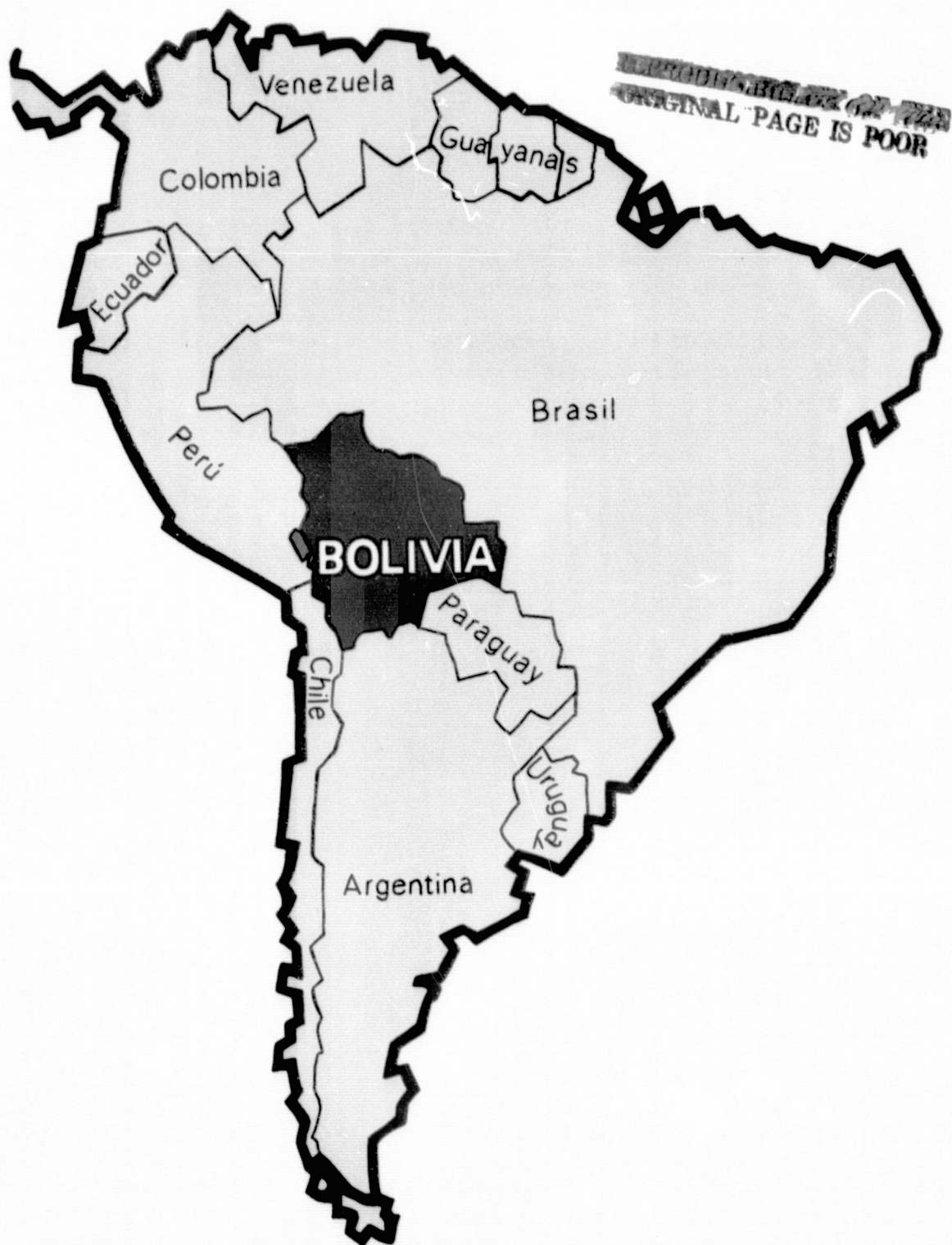
In addition, this project involved training of a team of Bolivian scientists to utilize the LARSYS Version 3 processing software system for analyzing LANDSAT MSS data.





Bolivia esta situada en el centro de la América del Sur. Su territorio, cuya superficie es de 1.098.581 kilómetros cuadrados, cuenta con una población de 5.101.699 habitantes, con una densidad demográfica de 4,6 habitantes por kilómetro cuadrado.

Bolivia is situated in the center of South America. Area of 1,098,581 Km<sup>2</sup> and 5,101,699 inhabitants, with demographic density of 4,6 inhabitants per Km<sup>2</sup>.



cuya superficie  
on de 5.101.699  
metro cuadrado.

8.581 Km<sup>2</sup> and  
per Km<sup>2</sup>.



## INTRODUCCION

El lanzamiento exitoso del primer Satélite de Recursos de la Tierra (LANDSAT-1, antes ERTS) en Julio de 1972, originó que en Bolivia se organizara un Programa Multidisciplinario y Multi-institucional con el objeto de extraer datos de los recursos naturales del país.

El Programa LANDSAT-Bolivia, aplicando técnicas y métodos de fotointerpretación visual, ha mapeado extensas áreas geográficas del territorio boliviano, sin embargo reconoció la necesidad de incursionar en la realización de estudios de investigación relativas a la extracción de información con ayuda de computadoras, para cuyo objeto, aplicó el sistema LARSYS, desarrollado por el Laboratorio para Aplicaciones de Percepción Remota (LARS) de la Universidad de Purdue, Lafayette, Indiana, U.S.A.

El Laboratorio para Aplicaciones de Percepción Remota (LARS), ha desarrollado técnicas de análisis y procesamientos con computadoras para clasificar, analizar e interpretar datos digitales multiespectrales, obtenidos por barredores optomecánicos desde aviones y plataformas espaciales.

Se considera que con la aplicación de esta nueva tecnología, en un lapso de tiempo relativamente corto, será posible obtener el conocimiento de los recursos naturales del país a nivel macro-general, sin embargo el desarrollo acelerado que Bolivia está experimentando durante los últimos años, hace que esta información sea elaborada en algunos sectores en detalle, para que ayude a planificar en forma racional el manejo de los recursos naturales. Por los motivos antes indicados, el Programa LANDSAT-Bolivia está participando en forma activa en los Programas de los Satélites de la serie LANDSAT.

The country is  
current an Bol  
informatio  
resource ut

obtaining  
country, in  
has become  
Resource

Since el  
(LANDSAT de P  
interpretati  
via's nature  
red data LAN  
enhancem

Altho  
the conven  
the Bolivia  
tion conta  
be more erro  
technique  
blished be pl  
tion of Fos a  
U.S.A. a en

The Lab  
the develo  
analyzing,  
cal scanner



## INTRODUCTION

The collection of basic information on the existing natural resources of the country is a necessary and urgent goal of the Bolivian government. Because of current and projected growth rates, there is an ever increasing need for detailed information on the natural resources. This information is needed in order to plan for resource utilization and management at a national level. Recognizing the need of obtaining an adequate map base for the various resources throughout the entire country, in as rapid and comprehensive means as possible, the Bolivian government has become a very active participant of the LANDSAT (ERTS) and SKYLAB Earth Resource Satellite Programs.

Since the successful launch of the first Earth Resources Technology Satellite (LANDSAT-1) in 1972, the Bolivian LANDSAT program has been involved in the interpretation and utilization of satellite multispectral imagery for mapping Bolivia's natural resources. The extraction of useful information from the satellite gathered data has been mainly based on conventional photo-interpretation and image enhancement techniques.

Although the Bolivian LANDSAT program has been able to apply successfully the conventional methods of photo-interpretation to map large geographic areas of the Bolivian territory, it has been recognized that the enormous amount of information contained in the different spectral bands of the LANDSAT MSS system could be more effectively reduced and classified utilizing existing computer-aided analysis techniques, such as LARSYS. Therefore, this cooperative research effort was established between the Bolivian LANDSAT program and the Laboratory for Application of Remote Sensing (LARS), at Purdue University wets Lafayette, Indiana, U.S.A.

The Laboratory for Applications of Remote Sensing has played a pioneering role in the development of computer processing and analysis techniques for classifying, analyzing, and interpreting multispectral digital data obtained by optical-mechanical scanners from aircraft and spacecraft platforms.

## OBJETIVOS DEL PROYECTO

Los objetivos de este proyecto son: 1) Ejecutar y evaluar técnicas de análisis con ayuda de computadoras (CAAT), usando datos del barredor multiespectral MSS de LANDSAT-1 en un área de Bolivia (imagen del río Desaguadero) para mapeo Geológico, Suelos y Uso Actual de la Tierra. 2) Entrenar profesionales bolivianos (un geomatemático, un geólogo, un agrónomo), en la aplicación de análisis con ayuda de computadoras de los datos del barredor multiespectral de LANDSAT-1, de modo que Bolivia pueda eventualmente implementar dichas técnicas de análisis utilizando sistemas de computación disponibles en Bolivia.

icas  
The majorespe  
computer-aided) pa  
ner data of theoliv  
mapping, and isis c  
and a geomathT-1,  
SAT-1 multiesp  
utilizing comput



## PROJECT OBJECTIVES

The major objective of this project was twofold; first, to perform and evaluate computer-aided analysis techniques (CAAT) using LANDSAT-1 multispectral scanner data of the Rio Desaguadero area of Bolivia for Geological, Soils and Land Use mapping, and second to train three Bolivian scientists (an agronomist, a geologist, and a geomathematician) in the application of computer-aided analysis of LANDSAT-1 multispectral scanner data, so that Bolivia can eventually implement such utilizing computer systems available in Bolivia.

## DESCRIPCION DEL AREA DE ESTUDIO

### Generalidades

La figura 1, es un fotomosaico de LANDSAT mostrando la localización del área de la imagen Desaguadero con relación al territorio de Bolivia.

El área cubierta por los datos de LANDSAT-1 MSS del Desaguadero, cubre aproximadamente 34.000 Km<sup>2</sup>, fué tomada en Agosto 2, 1972 (escena, ID: 1010-14033, localizada dentro de las siguientes coordenadas geográficas: (figura 3).

Sud	16° 40' 26"	Sud	16° 55' 29"
Oeste	68° 53' 37"	Oeste	67° 13' 31"
Sud	18° 11' 29"	Sud	18° 26' 44"
Oeste	69° 19' 53"	Oeste	67° 38' 58"

El sitio de prueba comprende la parte Sud del departamento de La Paz incluyendo las provincias de Ingavi, Aroma, Pacajes, Villarroel, Loayza, Los Andes, Murillo, Sud Yungas e Inquisivi. También cubre la parte Norte del departamento de Oruro que incluye las provincias de Sajama, Carangas, Cercado y Saucaré (Figura 2). Las poblaciones más importantes que fueron usadas como puntos de referencia son: Jesús de Machaca, Corocoro, Patacamaya, Luribay en la parte Norte del área de prueba; Chacarilla, Huayllamarca y Eucaliptus en la parte central, Curahuara de Carangas, Turco y Corque en la parte Sud. (Figura 2).

El sitio de prueba del Desaguadero incluye tres provincias fisiográficas mayores: (1) el Complejo Montañoso, (2) El Altiplano y (3) El Complejo Volcánico.

La ubicación y extensión de estas provincias fisiográficas se muestran en la figura 3.

### Complejo Montañoso (Bloque Paleozoico).

Esta provincia fisiográfica está caracterizada por un fuerte plegamiento y fracturación de rocas paleozoicas. Su altura y forma presentes resultan de una actividad intrusiva, tectónica e ígnea asociada con el desarrollo de la Cordillera.



## TEST SITE DESCRIPTION

### General

Figure 1 is a LANDSAT photomosaic showing the location of the Desaguadero test site with relation to the Bolivian territory. The area covered by the Desaguadero LANDSAT-1 MSS covers approximately 34.000 Km<sup>2</sup>, data collected on August 2, 1972, (scene ID: 1010-14033) is located within the following geographic coordinates: (figure No. 3).

S	16° 40' 26"	S	16° 55' 29"
W	68° 53' 37"	W	67° 13' 31"
S	18° 11' 29"	S	18° 26' 44"
W	69° 19' 53"	W	67° 38' 58"

The test site comprises the southern part of the La Paz Department including the Ingavi, Aroma, Pacajes, Villarroel, Loayza, Los Andes, Murillo, Sud Yungas, and Inquisivi provinces. It also covers the northern part of the Oruro Department including the Sajama, Carangas, Cercado, and Saucaré provinces (see Figure 2). The most important towns which were used as points of reference are: Jesús de Machaca, Corocoro, Patacamaya, and Luribay in the northern part of the test site; Chacarilla, Huayllamarca, and Eucaliptus in the central part of the test site; and Curahuara de Carangas, Turco, and Corque in the southern part. (See Figure 2).

The Desaguadero test site includes three major physiographic provinces: (1) the Mountainous Complex, (2) the Altiplano, and (3) the Volcanic Complex. The location and extent of these physiographic provinces is shown in Figure 3.

### Mountainous Complex (Paleozoic Block)

This physiographic province is characterized by strongly folded and fractured Paleozoic rocks. Its height and present form resulted from tectonic and igneous intrusive activity associated with the development of the Cordillera.

REPRODUCIBILITY OF THE  
ORIGINAL PAGE IS POOR

REPRODUCIBILITY OF THE  
ORIGINAL PAGE IS POOR

# REPUBLICA DE BOLIVIA

FOTOMOSAICO SIN CONTROL

PROGRAMA ERTS-BOLIVIA

MAYO 1976

BANDA 7



Figura 1

Fotomosaico de imágenes LANDSAT cubriendo el territorio boliviano, localización del área de estudio.  
LANDSAT photomosaic covering the Bolivian territory. Localization of test site.



Figura 2

Ubicación de las tres  
fisiográficas mayores  
en el área de la imagen  
dero.

Location of three phys  
provinces present in dio.  
guadero River test site.



Figura 1



Ubicación de las tres provincias fisiográficas mayores presentes en el área de la imagen Desaguadero.

S18°12'29" W069°55" 1069-80 1069-30 1068-00 1018-30  
 2301072 C S17.34 1068-16 N S17.34 1068-12 HSS R SUN EL38 AZ049 188-0137-A-1-N-D-IL NASA ERTS E-1018-14033-7 0

12A

REPRODUCIBILITY OF THE  
ORIGINAL PAGE IS POOR

Imagen LANDSAT del río Desaguadero, mostrando los Departamentos de La Paz, Oruro, límites provinciales y poblaciones importantes.

LANDSAT frame of the Desaguadero River the Department La Paz, Oruro and province boundaries, and most important towns in the area.



La formación del paisaje presente, fué influenciada grandemente por la glaciación. Campos de nieve perenne todavía cubren grandes áreas, tales como el Nevado de Tres Cruces (ver figura 3). Las divisorias de cuencas que siguen las grandes cimas del área, distribuyen el drenaje entre las grandes corrientes de la sub-cuenca del Río Beni y los tributarios del Lago Titicaca.

### **Altiplano.**

La provincia fisiográfica del Altiplano comprendida en la dirección NW-E, abarca la parte central de la imagen del Desaguadero. El Altiplano boliviano es un desierto típico de latitud media, cuyo origen está relacionado con su localización en el interior de una región entre dos grandes masas continentales de la Cordillera Central en el Este y el Complejo Volcánico en el Oeste (Figura 3).

La unidad altiplánica boliviana, está compuesta de materiales de erosión terrígenos de las altas partes de las masas continentales adyacentes y transportadas por corrientes intermitentes, formando extensos abanicos y planicies aluviales.

Los movimientos orogénicos en esta provincia, son evidentes por la presencia de cadenas montañosas tales como las de Corocoro y Huayllamarca, las cuales tienen una altura promedio de 4.000 m.s.n.m.

### **Complejo Volcánico (Cordillera Occidental).**

Este Complejo, se encuentra en el extremo Sudoeste de la imagen LANDSAT del Desaguadero (Figura 3). Se extiende desde la vecindad de la localidad de Calacoto hasta el límite Sud de la imagen. En este complejo, se presenta una serie de rasgos de erupción magmática; la más importante es la meseta ignimbrítica que está localizada entre la parte al Norte del río Mauri y la cadena montañosa de Curahuara de Carangas.

La característica más espectacular de esta provincia fisiográfica, es la presencia de cierto número de conos volcánicos orientados NW-SE, tales como el Nevado del Sajama, elevación más alta del país (con una altura de 6.542 m.s.n.m.) y los nevados Anallajsi y Payachatas, estos picos estan cubiertos por campos perennes de nieve.

### **Clima.**

El clima de la región presenta variaciones relacionadas a las diferentes provincias fisiográficas. Las temperaturas medias anuales varías desde 7°C en las alturas (comparable a los climas de alta latitud) a 17°C en los valles profundos de la Cordillera Oriental, tales como Luribay y Caracato.

The formation of the present landscape was greatly influenced by glaciation. Perennial snow fields still cover large areas, such as the Nevado de Tres Cruces (See Figure 3).

The Basin divides, which follow the great summits of the area, distribute the drainage runoff between the large streams of the Beni River sub-basin and the tributaries of Titicaca Lake.

### **Altiplano.**

The Altiplano physiographic province trending in a NW-SE direction comprises most of the central part of the Desaguadero image. The Bolivian Altiplano is a typical medium latitude desert whose origin is related to its location in the interior region between the two large continental masses of the Central Cordillera on the East and a Volcanic Complex on the West (Figure 3).

The Bolivian Altiplanic unit is composed of terrigenous materials eroded from the high parts of the adjacent continental masses and transported by intermittent streams, thus resulting in the deposition of extensive alluvial fans and plains.

Orogenic movements in this province are also evident by the presence of the Corocoro and Huayllamarca mountain ranges which have an average elevation of 4,000 meters above mean sea level.

### **Volcanic Complex (Western Cordillera)**

This complex is found in the SW corner of the Desaguadero LANDSAT image (Figure 3). It extends from the vicinities of the Calacoto village down to the southern limits of the image. Within this complex, series of magmatic eruption features are present; the most important one is the ignimbritic plateau which is located between the Mauri River and the Curahuara de Carangas mountain range.

The most spectacular characteristic of this physiographic province is the presence of a number of NW-SE trending volcanic cones such as the Nevado Sajama which is the highest peak in the Country (with an elevation of 6,542 meters above mean sea level), and the Nevados Anallajsi and Payachatas. These peaks are covered by perennial snow fields.

### **Climate.**

The climate of the region presents variations related to the different physiographic provinces. Mean annual temperatures range from 7°C in the altitudes (compa-



La región del altiplano está caracterizada por temperaturas intermedias (temperatura media anual de 10°C). La precipitación media anual en el área del sitio de prueba del Desaguadero es de aproximadamente 341 mm.

### Accesibilidad

La red de transporte del área de interés es bastante densa con caminos de segundo y tercer orden. También existen caminos de primer orden tales como la ruta La Paz-Oruro y La Paz-Corocoro. Además, en la parte del área de prueba esta el ferrocarril internacional La Paz-Arica (Bolivia-Chile).

### Flora

La cubierta vegetativa característica en el área de prueba del Desaguadero está compuesta de las siguientes especies:

Paja Brava	(Festuca orthophylla)
Thola	(Lepidophyllum quadrangulare)
Yareta	(Asorella glabra)
Keñua	(Polylepis incana)

### Fauna

Las especies predominantes de vida silvestre en el área de prueba del Desaguadero están representadas por:

Llama	(Lama glama)
Alpaca	(Lama pacos)
Oveja	(Ovis aries)
Viscacha	(Lagidium andinum)
Perdiz	(Perdix rubra)
Pato Silvestre	(Streptopelia melanocephala)
Gancho silvestre (Huallata)	(Vernida melanoptera)
Vicuña	(Vicugna vicugna)

able to high  
such as the  
intermediate  
precipitation

### Accesibilidad

The t  
order unimp  
La Paz-Oruro  
western part  
Chile).

### Flora.

The ch  
the following

### Fauna.

The typ  
composed of

medias (tempe-  
rea del sitio de

on caminos de  
es como la ruta  
prueba esta el

esaguadero está

angulare)

del Desaguade-

)  
era)

rable to high latitude climates) to 10°C in the deep valleys of the Cordillera Oriental, such as the Luribay and Caracato Valleys. The Altiplano region is characterized by intermediate temperatures (mean annual Temperature of 10°C). The mean annual precipitation in the area of the Desaguadero test site is approximately 314 mm.

### Accessibility

The transport network of the area of interest is quite dense in 2nd and 3rd order unimproved roads. It also contains two 1st order improved roads such as the La Paz-Oruro highway and the La Paz-Corocoro highway. In addition, in the north-western part of the test site there is an international railroad La Paz-Arica (Bolivia-Chile).

### Flora.

The characteristic vegetative cover in the Desaguadero test site is composed of the following species:

Paja Brava	(Festuca ortophylla)
Thola	(Lepidophyllum quadrangulare)
Yareta	(Asorella glabra)
Keñua	(Polylepis incana)

### Fauna.

The typical and predominant type of wildlife in the Desaguadero test site is composed of the following species:

Llama	(Lama glama)
Alpaca	(Lama pacos)
Oveja	(Ovis aries)
Viscacha	(Legirum andinum)
Perdíz	(Perdix rubra)
Pato Silvestre	(Strepto peliarisoria)
Ganzo silvestre (Huallata)	(Vérnida melanóptera)
Vicuña	(Vicugna vicugna)



## DATOS UTILIZADOS

La información utilizada en este estudio fue la imagen de datos digitales de LANDSAT-1 MSS obtenidos el 2 de Agosto de 1972 (imagen 1010-14033). La figura 4 muestra las imágenes de LANDSAT-1 MSS en cuatro bandas de longitud de onda. Estos datos fueron almacenados en un formato de cinta (CCT) compatible para computadora (LARS-Run 72069300, cinta: 1245; File: 01).

Originalmente se planeó utilizar una imagen de datos de LANDSAT-2 recogidos sobre la misma área cubierta por la imagen de LANDSAT-1, sin embargo, debido a retrasos en la entrega del producto de parte del centro de datos EROS esta segunda imagen (escena ID: 2150-13523) fué solamente reformada dentro de un formato compatible de LARSYS y fué almacenada en una cinta de datos LARS (Run: 75011100, cinta 2912, File: 01).

Además de los datos digitales de LANDSAT-1 MSS, fué recolectada información de campo del área del Desaguadero.

Los datos de referencia, originalmente incluyeron fotografías aéreas multiespectrales (cuatro bandas espectrales aproximadamente correspondientes a las cuatro bandas de LANDSAT MSS) en escala 1:25.000.

Las fotografías aéreas multiespectrales fueron tomadas a lo largo de cinco líneas de vuelo pre-establecidas como se muestra en la figura 5. Un ejemplo de las fotografías aéreas multiespectrales tomadas sobre la laguna Paracocota se muestra en la figura 6.

Debido a la falta de contraste y el área reducida de cobertura (5.29 Km<sup>2</sup>); la fotografía aérea multiespectral no fué particularmente útil para definir los campos de prueba para una clasificación supervisada; aún más, esta misión fotográfica fué realizada en Octubre de 1975 o sea tres años después de que los datos de LANDSAT-1 y en una estación del año diferente.

Durante Septiembre de 1975, se efectuaron trabajos para recolección de datos en el campo por geólogos, agrónomos y geógrafos del Programa LANDSAT-Bolivia. Los datos obtenidos fueron: muestras de suelo, rocas y medidas radiométricas.

Mapas geológicos y de suelos del área de prueba fueron utilizados como datos de referencia.

El trabajo de campo y la información suplementaria proveyeron al equipo de profesionales el conocimiento profundo del área del Desaguadero, permitiéndoles un análisis más efectivo de los datos de referencia disponible.

## UTILIZED DATA

The main set of data utilized in this study consisted of a frame of LANDSAT-1 MSS digital data collected on August 2, 1972 (Scene ID: 1010-14033). Figure 4 shows the LANDSAT-1 MSS imagery in four wavelength bands. These data are stored in a computer compatible tape (CCT) format (LARS Run: 72069300, Tape: 1245, file: 01).

Originally, it had been planned to use a frame of LANDSAT-2 data gathered over the same area covered by the LANDSAT-1 image. However, due to delays in product delivery from EROS Data Center this second frame (Scene ID: 2150-13523) was only reformatted into a LARSYS compatible format and was stored in a LARS Data Storage Tape (Run: 75011100, Tape: 2912, File 01).

In Addition to the LANDSAT-1 MSS digital data, a set of reference (ground truth) data was also collected from the Desaguadero Area. The reference data primarily involved multispectral aerial photography (Four spectral bands approximately corresponding to the four LANDSAT MSS bands) to 1:25,000 scale.

These multispectral aerial photographs were taken along five preestablished flight lines as shown in Figure 5. An example of the multispectral aerial photographs taken over the Parkhokhota Lake is shown in Figure 6.

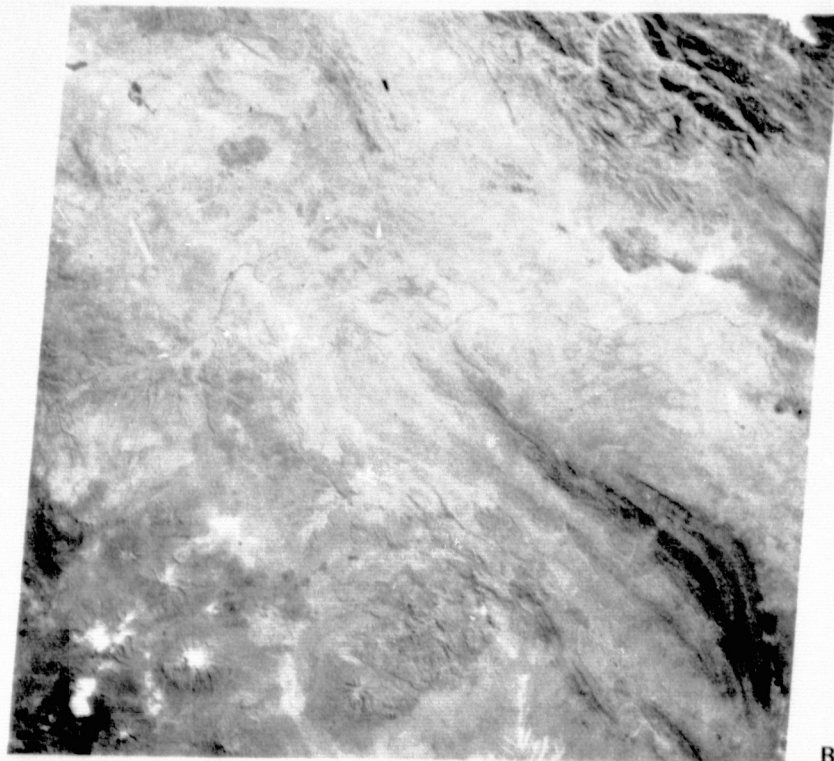
Because of lack of contrast and reduced area of coverage (approximately 5.29 km<sup>2</sup>) the aerial multispectral photography was not particularly helpful in defining training fields for a supervised classification. Furthermore, this photographic mission was flown in October 1975, i.e., more than three years after the LANDSAT-1 data were gathered, and also at a different season of the year.

During September 1975, a series of data gathering field trips were conducted by geologist, agronomists, geographers from the Bolivia LANDSAT program to obtain reference data, such as rock types, soil samples, and radiometric measurements.

Geological and soil maps of the test site area were also utilized as reference data.

The field work along with the other data available, provided the scientists with a deep knowledge of the Desaguadero area, thereby enabling them to more effectively analyze the LANDSAT data. It is important to note that of all the available reference data, the most useful information was obtained from the knowledge gained by the scientists during their visits to the area.



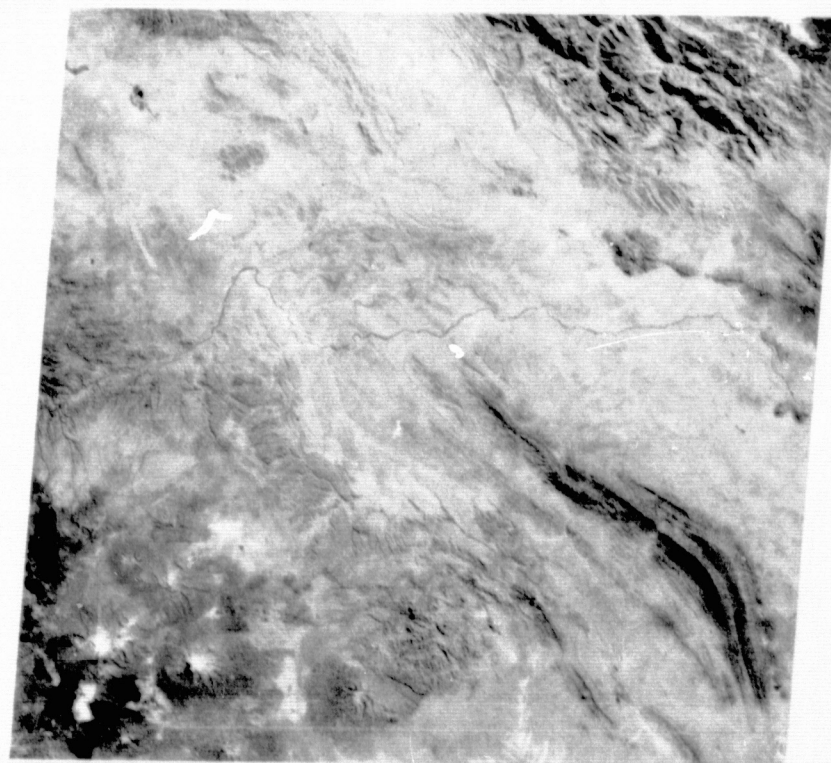


BANDA - 4

Figura 4

Imágenes en blanco y negro de las cuatro bandas de LANDSAT del área del Desaguadero.

Black and white imagery in the four LANDSAT bands of the Desaguadero area.



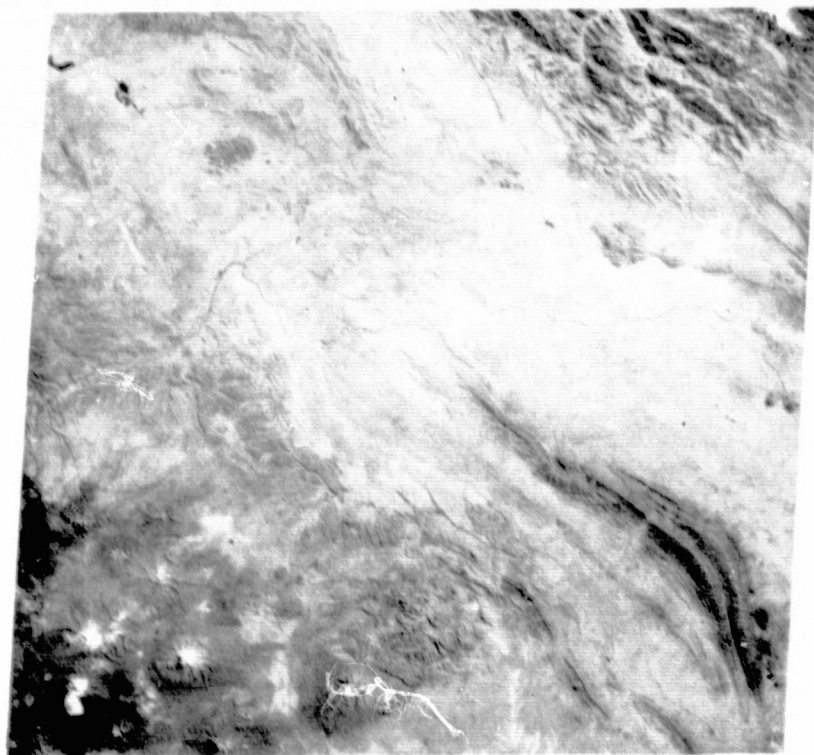
BANDA - 6

REPRODUCIBILITY OF  
ORIGINAL PAGE IS

Figura 4

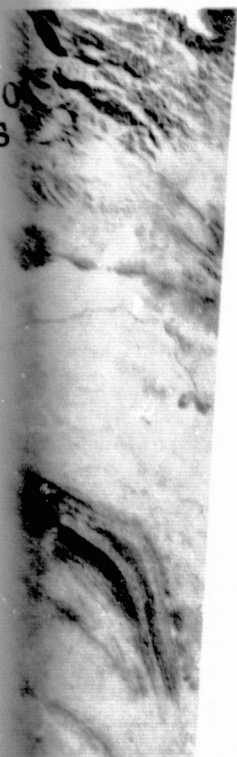
la blanco y negro de las  
das de LANDSAT del  
aguadero.

hite imagery in the four  
bands of the Desaguade-



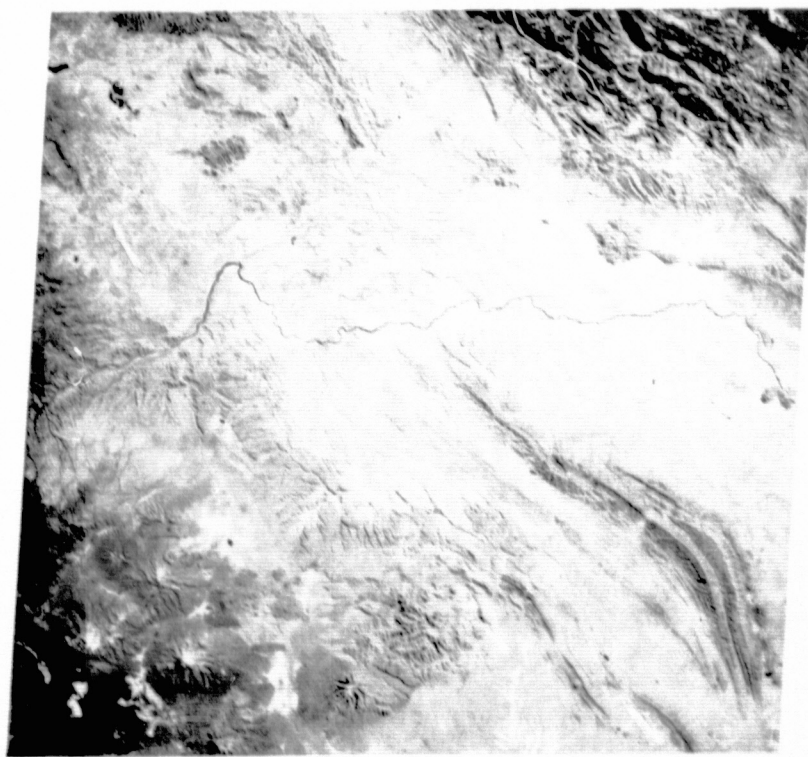
REPRODUCIBILITY OF THE  
ORIGINAL PAGE

BANDA - 5



REPRODUCIBILITY OF THE  
ORIGINAL PAGE IS POOR

BANDA - 7





REPRODUCIBILITY OF THE  
ORIGINAL PAGE IS

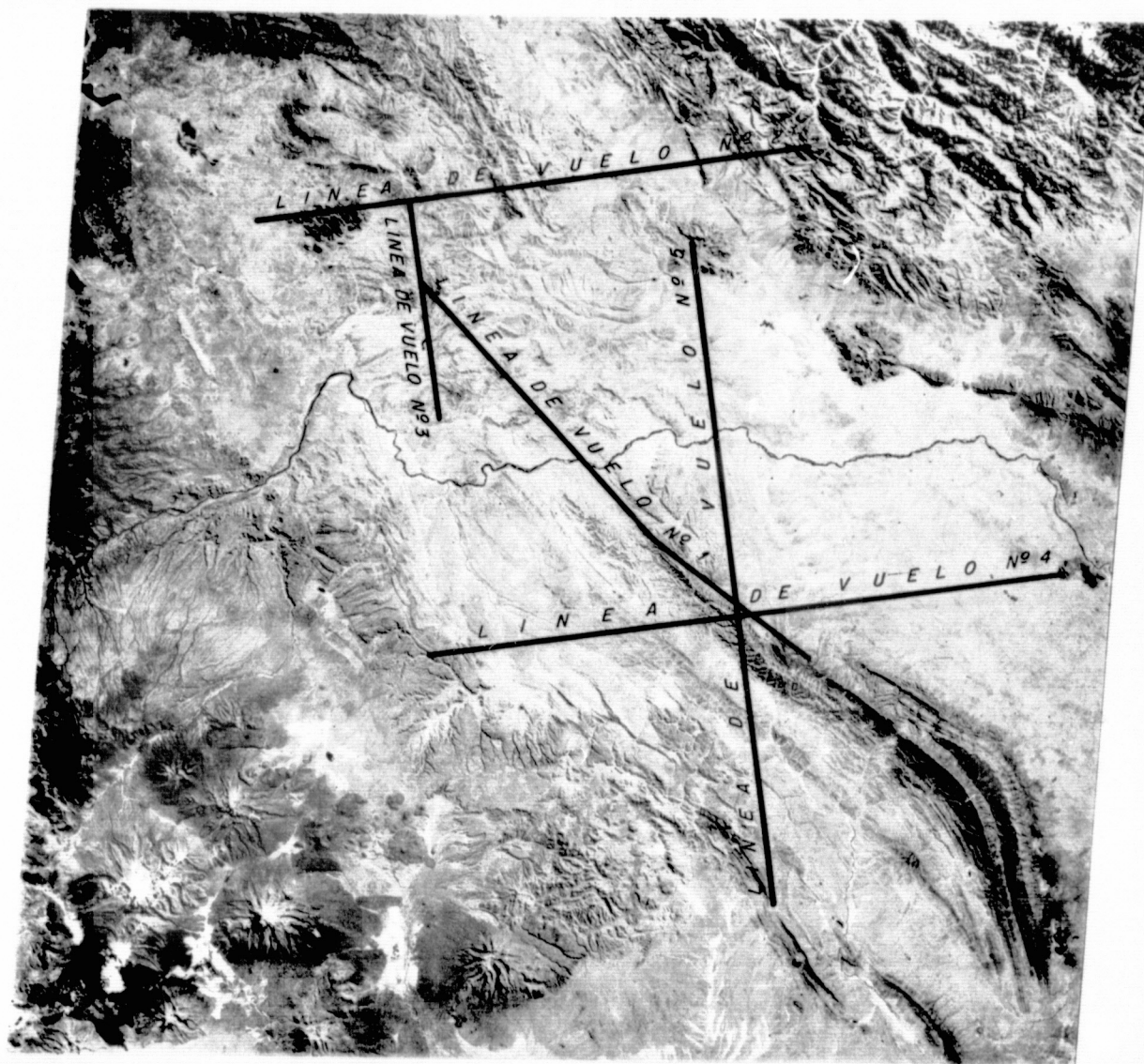
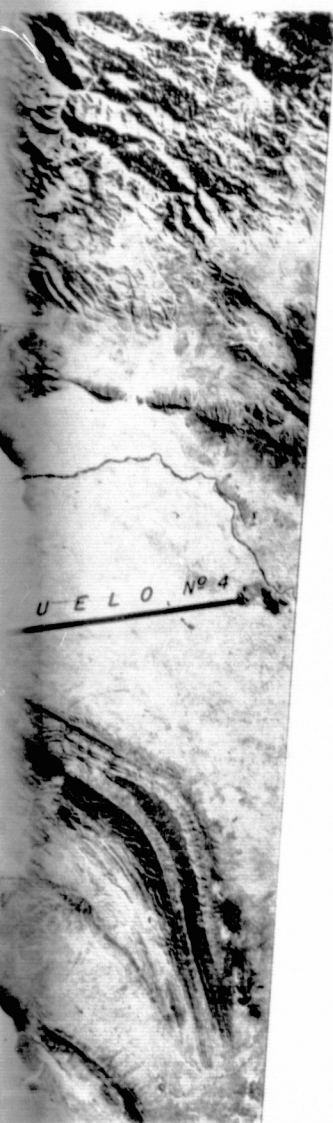


Figura 5

Ubicación de misiones aéreas fotográficas multi-  
espectrales (líneas de vuelo).

Location of the multispectral photographic aerial  
missions (flight lines).

Figura 6  
Ejemplos de  
trales del área



multispectral photographic aerial  
de  
área



Figura 6

Ejemplos de cuatro fotografías aéreas multiespec-  
trales del área Laguna Parkhokhota.



Example of four multispectral aerial photographs  
in Parkhokhota Lake area.



## ANÁLISIS DE DATOS

### Pre-procesamiento de datos.

El sistema del barredor multiespectral de LANDSAT, tiene un campo de visión instantáneo (IFOV) de aproximadamente 79 mts., cada línea de barrido es muestreada a una proporción tal que cada muestra contigua está espaciada aproximadamente en 56 mt. También, el movimiento hacia adelante es tal que su rendimiento continuo cubre el terreno en franjas que tienen aproximadamente 79 mts.

El juego de datos digitales de LANDSAT resultante, contiene nominalmente 3232 muestras horizontales (Este-Oeste) y 2340 muestras verticales (Norte-Sud).

Los datos de LANDSAT MSS en formato de cinta compatible con computadora (CCT), están calibrados en una longitud de línea ajustados por la NASA, pero no se les ha aplicado ninguna corrección geométrica (NASA 1972). Por lo tanto, estos datos contienen cierto número de distorsiones geométricas. Para la corrección de éstas, científicos de LARS han desarrollado dos funciones de procesamiento mayores de corrección:

- 1) La función "Open Loop", sin alimentación de vuelta de puntos de control de campo, está referida simplemente como "Corrección Geométrica Standard de LARS".
- 2) Es una función de corrección geométrica más precisa que usa puntos de control de chequeo en el campo y un mapa base digitalizado; se conoce generalmente como "Registro de Precisión".

Debido a que no había un mapa base digitalizado disponible del área de prueba, los datos digitales de LANDSAT MSS del Desaguadero fueron rectificados usando solamente la Corrección Geométrica Standard de LARS (Figura 7).

La Corrección Geométrica Standard de LARS consiste de cinco funciones de transformación lineal que corrigen:

- 1) Las diferencias de escala en las direcciones horizontal y vertical para cada resolución espacial de terreno (pixel).
- 2) Rotación de coordenadas debido a la inclinación no polar del trayecto orbital del satélite.

## Data Pre-proce

The LAN (IFOV) of approximately 1.5 mrad that each camera covers forward motion on the ground in strips

The resulting Irte-S  
lly (E-W) and 2 co

The LAN, tar  
brated and li  
corrections are  
number of ge  
scientists a LA  
first one in an  
and it is simple  
one is a more  
checkpoints and  
tion".

Because of the  
LANDSAT MSS  
Correction. (S  
transformation  
and vertical di  
tion due to the fun  
the earth's rota  
(5) re-scaling  
correction algo

The results of another magnetic

## DATA ANALYSIS

### Data Pre-processing.

The LANDSAT multispectral scanner system has an instantaneous field of view (IFOV) of approximately 79 meters and every scan line is sampled at a rate such that each contiguous sample is spaced approximately 56 meters apart. Also, the forward motion of the spacecraft is such that it yields continuous coverage of the ground in strips that are approximately 79 meters apart.

The resulting LANDSAT digital data set contains nominally 3232 samples horizontally (E-W) and 2340 samples vertically (N-S).

The LANDSAT MSS data in computer compatible tape (CCT) format are calibrated and line length adjusted by NASA, but NASA, but no further geometric corrections are applied to these data (NASA, 1972). Thus, these data contain a number of geometric distortions. In order to correct such geometric distortions, scientists at LARS have developed two major correction processing functions: The first one in an "open loop" function, without feedback from ground control points, and it is simply referred to as "LARS Standard Geometric Correction". The second one is a more precise geometric correction function which uses ground control checkpoints and a digitized base map. It is usually known as "Precision Registration".

Because no digitized base map was available for this test site, the Desaguadero LANDSAT MSS digital data were rectified using only the LARS Standard Geometric Correction. (See Figure 7) Standard Geometric Correction consists of five linear transformation functions which correct (1) scale differences in the horizontal and vertical directions of each ground spatial resolution (pixel), (2) coordinate rotation due to the non-polar inclination of the satellite orbital path, (3) skew due to the earth's rotation, (4) differences in aspect ratio of the line printer characters, and (5) re-scaling to a desired scale. A complete description of the actual geometric correction algorithms has been reported by Anuta (1973).

The resulting geometrically corrected data (Desaguadero area) was copied onto another magnetic tape (LARS Data Storage Tape: 2609, File: 1, LARS Run Num-



- 3) La desviación debido a la rotación de la tierra.
- 4) Diferencias en la relación de orientación de los caracteres de líneas impresas.
- 5) Un re-escalamiento a una escala deseada.

Los datos resultantes corregidos geoméricamente (área del Desaguadero), fueron copiados en una cinta magnética (cinta de almacenamiento de datos LARS: 2609, File: 1, LARS Run No. 72069301). Cuando son mostrados en un formato de salida del impresor de línea Standard, estos datos tienen una escala de 1:25.000 y el impreso de salida resultante esta orientado con el Norte en la parte superior.

### Procesamiento de Datos.

Los datos de LANDSAT corregidos geoméricamente del área del Desaguadero, fueron primero dispuestos en un formato de impresor de línea de computadora a una escala de 1:25.000. Debido a la enorme cantidad de datos (aproximadamente 7,5 millones de muestras por cada banda de longitud de onda), la imagen entera fué dividida en 15 cuadrángulos que corresponden a la misma área cubierta por los mapas geológicos Standard bolivianos (escala 1:100.000). Los nombres de estos mapas geológicos fueron usados para identificar los diferentes cuadrángulos de datos de LANDSAT; la figura 8 muestra la división de la imagen del Desaguadero en 15 cuadrángulos.

El análisis numérico de los datos digitales de LANDSAT Desaguadero, fué ejecutado usando el sistema de procesamiento con ayuda de computadoras de LARS/Purdue.

Estas técnicas de análisis con ayuda de computadoras, consisten de un juego integrado de programas de computación (Software) conocidos como LARSYS. Sin embargo, LARSYS es algo más que un juego de programas de computación, es un método completo (filosofía y técnicas) para la conversión de datos multidimensionales obtenidos por percepción remota en información útil para ordenar e inventariar los recursos de la tierra.

La figura 9, muestra los procesos de análisis del sistema Software de LARSYS, los cuales son implementados en una computadora IBM 360/67. Una descripción completa de cada uno de los procesadores de LARSYS se encuentra en la documentación de Software de LARSYS (LARSYS 1973).

El procesamiento de datos con ayuda de computadoras, utilizando el sistema Software de LARSYS, es una secuencia de análisis flexible, depende de los objetivos particulares del estudio, las características de los datos de referencia y de satélite

ber: 720693  
have a scale in

### Data Process

The ge de  
displayed in  
amount of da  
frame was e sup  
by the stand  
gical maps w  
shows the di

The nu  
plished using

These s nor  
grams (soft  
computer p  
conversion  
monitoring

Figure  
are imple  
of the LAR  
(LARSYS,

The co  
flexible ana  
available sat  
the area. Th  
aided analys

As illu  
gray-scale p  
are best def  
data 0.8 -  
1:35,000 us

ber: 72069301). When displayed in a standard line printer out format, these data have a scale of 1:25,000 and the resultant printout is oriented with North at the top.

### Data Processing

The geometrically corrected LANDSAT data of the Desaguadero area were first displayed in a computer line printer format at a scale 1:25,000. Because of the huge amount of data (approximately 7.5 million samples per wave length band), the entire frame was divided into fifteen quadrangles that correspond to the same area covered by the standard Bolivian geologic maps (1:100,000 scale). The names of these geological maps were used to identify the different LANDSAT data quadrangles. Figure 8 shows the division of the Desaguadero frame into these fifteen quadrangles.

The numerical analysis of the Desaguadero LANDSAT digital data was accomplished using the LARS/Purdue computer-aided processing system.

These computer-aided techniques consist of an integrated set of computer programs (software) known as LARSYS. However, LARSYS is more than just a set of computer programs. It is an entire approach (philosophy and techniques) to the conversion of remotely sensed multidimensional data into information useful for monitoring and inventoring earth resources.

Figure 9 shows the analysis processes of the LARSYS software system which are implemented in an IBM 360/67 computer. A complete description of each one of the LARSYS processors are found in the LARSYS software documentation (LARSYS, 1973).

The computer-aided data processing utilizing the LARSYS software system is a flexible analysis sequence, i.e., it depends on the study, the characteristics of the available satellite and reference (ground truth) data, and the analyst's knowledge of the area. The particular sequence of processing steps followed during the computer-aided analysis of the Desaguadero LANDSAT MSS data is shown in Figure 10.

As illustrated by Figure 10, the first step in analysis sequence is to obtain a gray-scale pictorial line-print out of the spectral band in which surface features are best defined, in this particular study the LANDSAT band 7 (LARS channel 4) data 0.8 - 1.1  $\mu$ m of the whole area to be classified were displayed at a scale of 1:35,000 using the LARSYS PICTUREPRINT processor.



REPRODUCIBILITY OF THE  
ORIGINAL PAGE IS POOR

REPRODUCIBILITY OF THE

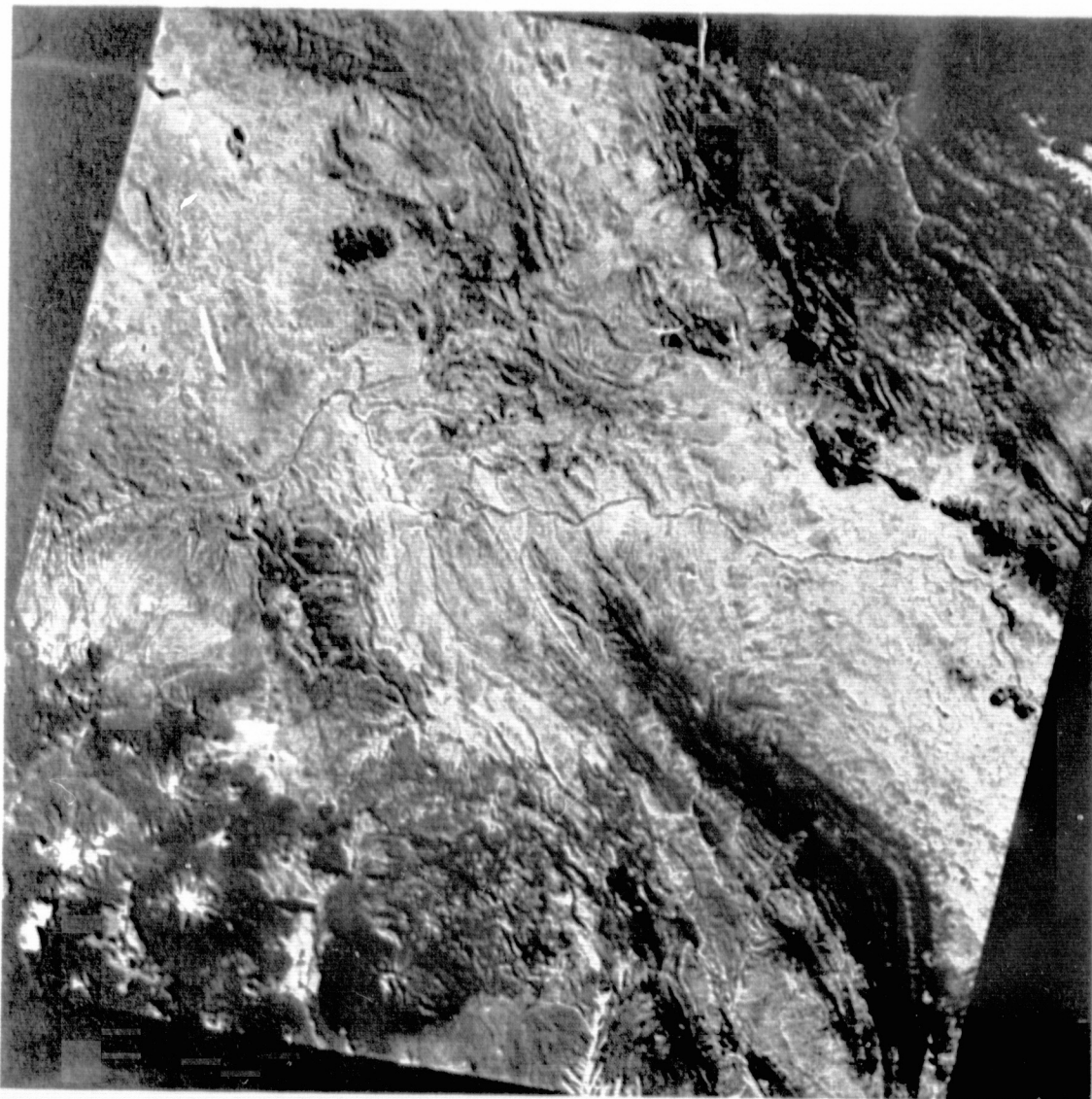


Figura 7

Composición IR color, corregida geométricamente.

Geometrically corrected color IR composite of the Rio Desaguadero LANDSAT frame.

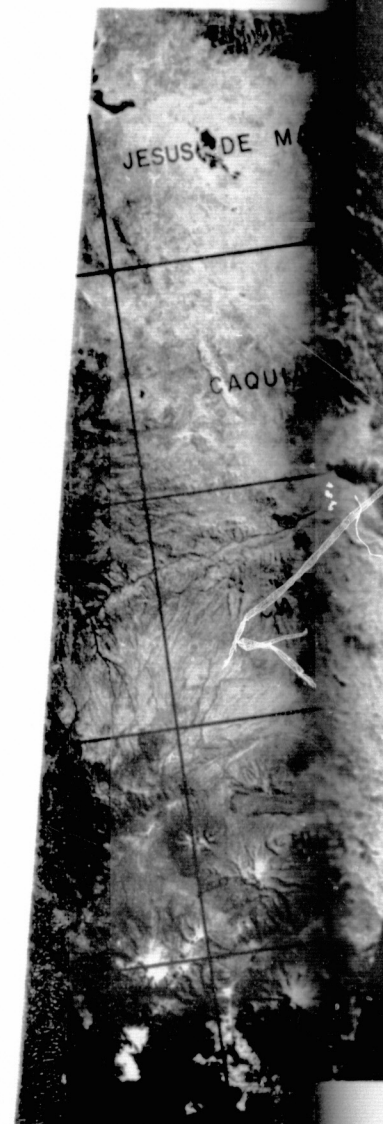


Figura 8

División de la imagen LANDSAT en 15 cuadrángulos.

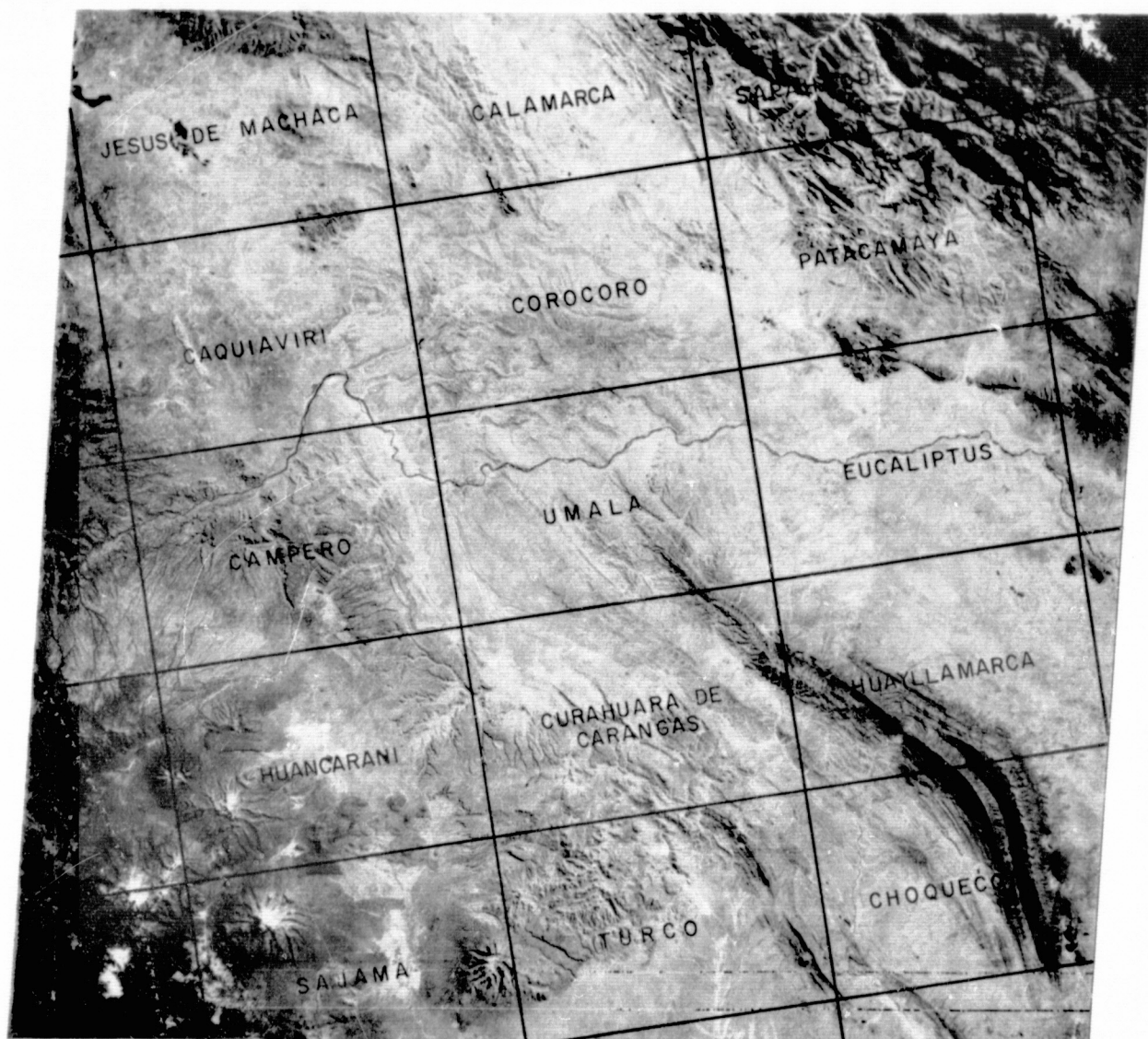


Figura 8

R composite of  
frame.

División de la imagen LANDSAT del Desaguadero en  
15 cuadrángulos.

Division of the Desaguadero LANDSAT frame  
into fifteen quadrangles.



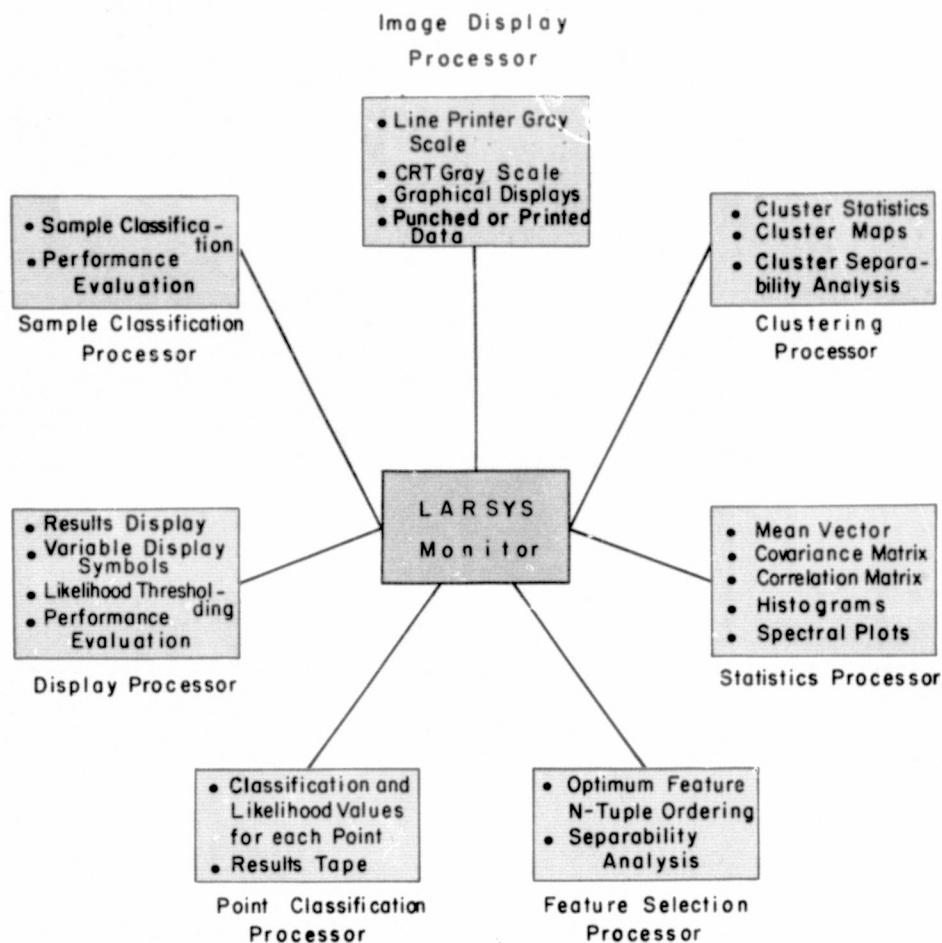


Figura 9

## PROCESADORES DEL ANALISIS DEL SISTEMA "SOFTWARE" DE LARSIS

## ANALYSIS PROCESSORS OF THE LARSYS "SOFTWARE" SYSTEM



———— Intradec  
 - - - - Interdec  
 <----- Input / Output

Secuencia de análisis LA  
ción multispectral de da  
saguadero

# ANALYSIS FLOW CHART

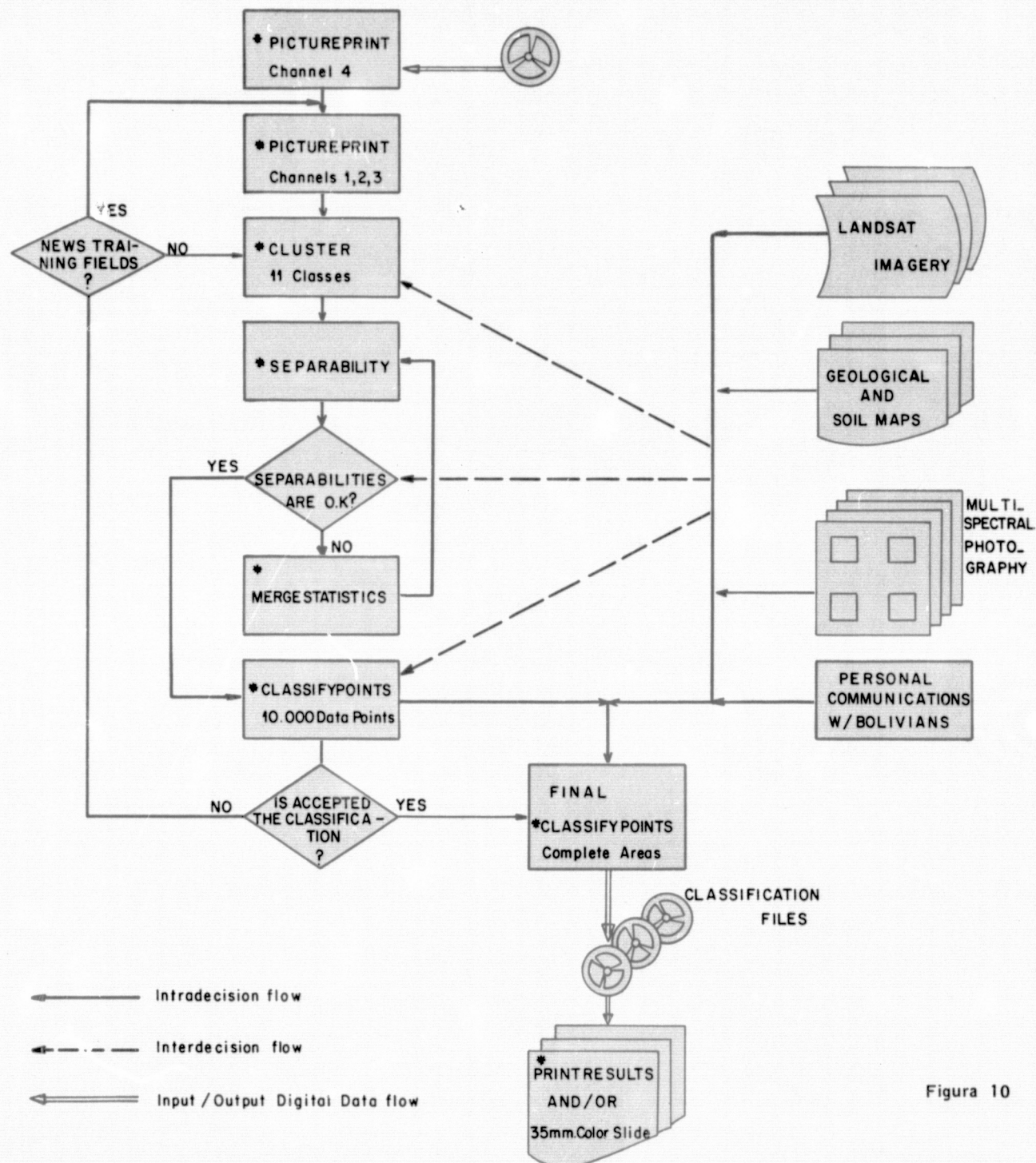


Figura 10

Secuencia de análisis LARSYS para la clasificación multispectral de datos de LANDSAT-1 Desaguadero

LARSYS analysis sequence used for the multispectral classification of the Desaguadero LANDSAT-1 MSS data.



disponibles y del conocimiento del área de los analistas. La secuencia particular de los pasos de procesamiento seguidos durante el análisis con ayuda de computadores de los datos del LANDSAT MSS del Desaguadero, se muestran en la figura 10.

Como ilustra la figura 10, el primer paso en la secuencia del análisis, es de obtener un resultado impreso de línea pictórico en la escala de grís de la banda espectral en la cual los rasgos de la superficie esten mejor definidos. En este estudio, datos de la banda 7 de LANDSAT (canal 4 de LARS de 0.8 - 1.1  $\mu\text{m}$ .) de todo el área a clasificarse, fueron dispuestos en escala 1:25.000, utilizando el procesador PICTUREPRINT de LARSYS.

Este resultado pictórico, fue usado para seleccionar áreas de prueba representativas para propósitos de "Clustering". Un ejemplo del resultado de PICTUREPRINT con áreas de prueba delineadas se muestran en la figura 11. El resultado impreso en línea pictórico de estas áreas de entrenamiento, fueron producidas en las bandas 4, 5 y 6 (canales 1,2 y 3 de LARS), para estar seguros de que las áreas de entrenamiento no contengan "Líneas malas de barrido". (1) Estas "líneas malas de barrido", pueden producir distorsiones en los parámetros estadísticos de las clases resultantes de "Cluster".

El siguiente paso en la secuencia de procesamiento, se ilustra en la figura 10, está referida como "Clustering" (Wacker y Landgrebe 1972). El algoritmo "Clustering" fue desarrollado para definir los parámetros estadísticos de las diferentes clases espectrales (grupos o "clusters") presentes en el paisaje. En esencia, el cluster es un algoritmo de clasificación de la distancia interactiva Eucladiana. El "Cluster" estadístico multiespectral resultante (matrices de media y co-varianza) están representadas por una distribución espectral de Gauss (normal), unimodal, que representa a los diferentes grupos espectrales presentes en el área de prueba. Las áreas de pruebas (para el "Clustering"), son seleccionadas por el analista de tal modo, de contener todos los rasgos posibles de la superficie representativas, usando su conocimiento del área y con información de referencia disponible.

La figura 12, ilustra un "mapa Cluster" del área delimitada en la figura 11. Los símbolos (alfa-numéricos) que designan las diferentes clases de Cluster y los correspondientes números de muestras por clase, también se muestran en la figura 12.

El "Clustering" de las diferentes áreas de entrenamiento, fue hecho usando las 4 bandas de longitud de onda disponibles de LANDSAT; ya que el analista debe especificar el número de grupos o "Cluster" en los cuales las muestras multiespectrales serán agrupadas; una secuencia del análisis experimental inicial, se llevó a cabo y

1.— "Línea mala de barrido" se refiere a la línea de barrido con ruidos que algunas veces presentan los datos de la LANDSAT MSS.

This pictorial output was used to select representative training areas for clustering purposes. An example of a PICTUREPRINT output with outlined training areas is shown in Figure 11. Pictorial line printout of these training areas were produced for bands 4, 5, and 6 (LARS channels 1, 1, and 3), in order to make sure that the training areas did not contain "bad scan lines."<sup>1</sup> These bad scan lines can produce distortions in the statistic parameters of the resulting cluster classes.

The next step in the processing sequence, as illustrated in Figure 10, is referred to as "clustering" (Wacker and Landgrebe, 1972). The clustering algorithm was developed to define the statistical parameters of the different spectral classes (groups or clusters) present in the scene. In essence, the cluster is an interactive Euclidean distance classification algorithm. The resulting multispectral cluster statistics (mean and covariance matrices) are represented by unimodal, Gaussian (normal) spectral distributions which represent the different spectral groups present in the training area. The training areas (for clustering) are selected by the analyst in such a manner as to contain all possible representative surface features using his knowledge of the area of available reference information. Figure 12 illustrates a "cluster map" of the area outlined in Figure 11. The symbols (alphanumeric) designating the different cluster classes and the corresponding number of samples per class are also shown in figure 12.

The clustering of the different training areas was done using all four available LANDSAT wavelength bands. Since the analyst must specify the number of clusters into which the multispectral samples are to be grouped; an initial experimental analysis sequence was carried out and it indicated (for this specific set of multispectral data) that the maximum number of different spectral groups (clusters) present in this data set, based in the mean interclass distance, is eleven spectral groups or clusters. Therefore, all training areas of each quadrangle were clustered into eleven spectral groups.

After the satellite multispectral data have been grouped into the specified number of clusters (in this particular case into 11 clusters), the analyst has used two processors: (1) the SEPARABILITY and (2) the MERGESTATISTICS algorithms.

The LARS separability processor computes the spectral separability of all possible pair combinations of spectral classes. In essence, the separability algorithm calculates the pairwise transformed (saturated) divergence which can vary between 0

---

1.— "bad scan line" refers to the scan line noise some times present in LANDSAT MSS data.



SEPT 21, 1976  
02 36 21 PM  
LARSYS VERSION 3

02 36 21 PM  
LARSYS VERSION 3

DATE DATA TAKEN... AUG 2, 1972  
TIME DATA TAKEN..... 1003 HOURS  
PLATFORM ALTITUDE..3062000 FEET  
GROUND HEADING..... 180 DEGREES

CHANNEL 4 SPECTRAL BAND 0.80 TO 1.10 MICROMETERS CALIBRATION CODE= 1 CO = 0.0

\*\*\*\*\* LAGUNA PARKCK

HISTOGRAM BLOCK(S)

```

RUN NUMBER..... 72069301
LINES..... ( 810, 870, 1)
COLUMNS..... ( 1160, 1240, 1)
CALIBRATION CODE.....

```

FIELD  
RUN NO. 72069301  
OTHER INFORMATION

[illegible][illegible]

CLUSTER

SYMBOL

## POINTS

and de

ea delir

1000

1000

1998

Figura 11

Mapa de  
área delimitada

Salida impresa en línea pictórica en escala gris (PICTUREPRINT) de un área de la imagen LANDSAT del Desaguadero.

Gray scale pictorial line printer output (\*PICTUREPRINT) of an area of the Desaguadero LANDSAT frame.

22B

SEPT 21 1976  
02 36 21 PM  
LARSYS VERSION 3

BATMED  
L. A. BARTOLUCCI

LABORATORY FOR APPLICATIONS OF REMOTE SENSING  
SERVICIO GEOLOGICO DE BOLIVIA (PROGRAMA ERTS)

SEPT 21, 1976  
02 37 49 PM  
LARSYS VERSION 3

\*\*\*\*\* LAGUNA PARKKOTA \*\*\*\*\*

## FIELD INFORMATION

FIELD  
RUN NO. 72069301  
OTHER INFORMATION

TYPE  
NO. OF SAMPLES 1681

```

LINES      820-   860  (BY  1)
COLUMNS  1190- 1230  (BY  1)

```

[illegible][illegible]

## NUMBER OF POINTS PER CLUSTER

CLUSTER	1	2	3	4	5	6	7	8
SYMBOL	.	-	=	I	O	\$	M	
POINTS	55	288	229	311	303	303	109	83

Figura 12

Mapa de dispersión “cluster” del área delimitada en la figura 11.

Cluster map of the area outlined in Figure 11. Laguna Parkokota area.



se indicó (para este juego específico de datos multiespectrales) que el número máximo de grupos o "Clusters" espectrales diferentes presente en este juego de datos en base a la distancia media de interclases sea de 11.; por lo tanto, toda área de prueba de cada cuadrángulo fue agrupada en 11 grupos espectrales.

Después que los datos multiespectrales del satélite han sido agrupados en el número especificado de grupos o "Cluster" (en este caso particular en 11), el analista utilizó dos procesadores:

1) El de SEPARABILIDAD      2) Algoritmo MERGESTADISTICO

El procesador de "Separabilidad" de LARS, computa la separabilidad espectral de todos los pares de combinaciones posibles de las clases espectrales. En esencia, el algoritmo de separabilidad calcula la divergencia transformada (saturada) de cada par que puede variar entre 0 (no separable) y 2.000 (separable) como ilustra la figura 13. Una descripción detallada del algoritmo de separabilidad LARS ha sido discutido por Swain y otros (1971).

La relación entre la divergencia relativa o valor de separabilidad (de 0 a 2.000 y la probabilidad de una clasificación correcta (en porcentaje), ha sido determinada por Swain y King (1973) como muestra la figura 14. Nótese en ésta, que para un valor de divergencia transformada de 1500, la probabilidad de una clasificación correcta es por lo menos del 82 % y puede alcanzar el 96 %. Los valores de separabilidad entre todas las clases espectrales consideradas en el análisis de los datos de LANDSAT del Desaguadero, están por arriba de 1500, por ejemplo, la media en porcentaje de una clasificación correcta (una línea intermedia sólida en la figura 14) es aproximadamente de 90 %.

El segundo de estos procesadores, es el algoritmo "MERGESTADISTICO", que es utilizado para combinar, añadir, y/o borrar clases espectrales para obtener un juego de clases espectrales estadísticas que pueden tener significancia de información y también pueden ser separables espectralmente.

Los procesadores de "SEPARABILIDAD" y "MERGESTADISTICO", son usados como un "Feed Back" tantas veces (interacciones) como se necesiten para obtener un juego final "refinado" de estadísticas espectrales, por ejemplo: un juego de matrices de covarianzas y medias espectrales que serán utilizadas como diseños multiespectrales de entrenamiento para la clasificación (CLASSIFYPOINTS) del juego de datos. La figura 15 muestra un ejemplo de las medias y las covarianzas en las cuatro bandas de longitud de onda de LANDSAT-1 MSS para cierto número de agrupamientos o "Clusters" espectrales de prueba.

La misma información estadística, está gráficamente ilustrada en forma de histogramas (gráfico de distribución de frecuencia) en la figura 16, y como un diseño espectral coincidente en la figura 17. Toda esta información estadística, en conjun-

(non-separable) juego  
tion of the LAR  
(1971). The re  
0 to 2000) an  
determined by  
for a transform  
is at least 82  
spectral classes  
above 1500, i.e.  
Figure 14) is ap

The second  
utilized for con  
spectral statistics  
be spectrally se

The SEPA, q  
back" mode  
ned" set of spe  
which are to  
(CLASSIFYPO  
covariances in  
spectral clusters  
grams (frequen  
in Figure 17. Para  
complementary de in  
used by the an  
satellite multisp

ce. As indicate  
training statistic  
classification"  
performance of  
cessing sequence  
sion whether th  
cover types pres  
required.

Once the  
this set of train



(non-separable) and 1000 (separable) as illustrated in Figure 13. A detailed description of the LARS separability algorithm has been discussed elsewhere by Swain et al. (1971). The relations between the relative divergence or separability value (from 0 to 2000) and the probability of correct classification (in percent) has been determined by Swain and King (1973) as shown in Figure 14. Note in Figure 14 that for a transformed divergence value of 1500 the probability of correct classification is at least 82 % and it could be up to 96 %. These separability values between all the spectral classes considered in the analysis of the Desaguadero LANDSAT data are above 1500, i.e., the mean percent correct classification (solid intermediate line in Figure 14) is approximately 90 %.

The second of these processors, that is, the MERGESTATISTICS algorithm is utilized for combining, adding, and/or deleting spectral classes to obtain a set of spectral statistics class which should have informational significance and also should be spectrally separable.

The SEPARABILITY and MERGESTATISTICS processors are used in a "feedback" mode as many times (Interactions) as needed in order to obtain a final "refined" set of spectral statistics, i.e. a set of spectral means and covariance matrices which are to be utilized as training multispectral patterns for the classification (CLASSIFYPOINTS) of the data set. Figure 15 shows an example of the means and covariances in the four LANDSAT-1 MSS wavelength bands for a number of training spectral clusters. The same statistical information is illustrated graphically as histograms (frequency distribution graph) in Figure 16, and as a coincident spectral plot in Figure 17. All of this statistical information, in conjunction with the available complementary information, (aerial photography, geological and soils maps, etc.), is used by the analyst to monitor and control the computer-aided analysis of the satellite multispectral data throughout the different stages of the processing sequence.

As indicated by the analysis flow chart (figure 10), once a satisfactory set of training statistics has been generated, the next processing step involves a preliminary classification "CLASSIFYPOINTS" of a small area for purposes of determining the performance of the previously defined training statistics. At this point of the processing sequence, the analyst uses the preliminary classification results, makes a decision whether the training class statistics are representative of the various ground cover types present in the scene, or if further refinement of the training statistics is required.

Once the analyst is satisfied with the results of the preliminary classification, this set of training statistics is used as input to the LARSYS maximum likelihood





# RELACION ENTRE LA DIVERGENCIA TRANSFORMADA Y LA PROBABILIDAD DE UNA CLASIFICACION CORRECTA.

Relationship between transformed divergence and probability (in percent) of correct classification.

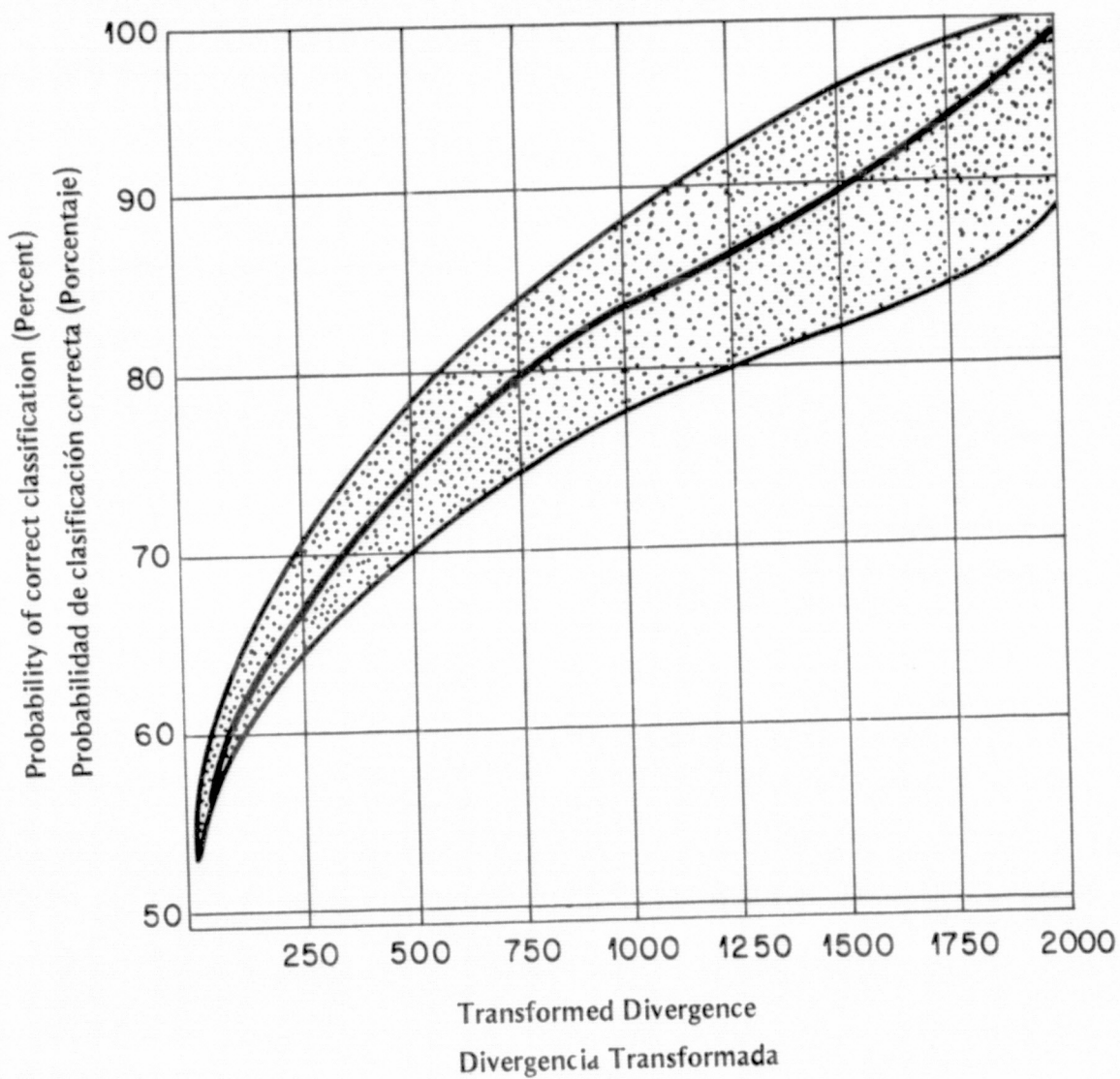


Figura 14



REPRODUCIBILITY OF THE  
ORIGINAL PAGE IS POOR

REPRODUCIBILITY OF THE  
ORIGINAL PAGE

BATMED  
L.A. BARTOLUCCI

LABORATORY FOR APPLICATIONS OF REMOTE SENSING  
SERVICIO GEOLOGICO DE BOLIVIA (PROGRAMA ERTS)

\*\*\*\*\* LAGUNA PARKOKOTA \*\*\*\*\*

SEPT 21, 1976  
02 37 16 PM  
LARSYS VERSION 3

# CLUSTERING INFORMATION

NUMBER OF CLUSTERS = 8    CLUSTERING UNIT SIZE = 1681    CLUSTERING INTERVAL = 1

CHANNEL NUMBER	SPECTRAL RANGE	CALIBRATION CODE
1	0.50 TO 0.60 MICROMETERS	1
2	0.60 TO 0.70 MICROMETERS	1
3	0.70 TO 0.80 MICROMETERS	1
4	0.80 TO 1.10 MICROMETERS	1

CLUSTER	POINTS	MEANS	CH( 1)	CH( 2)	CH( 3)	CH( 4)
1	55	45.65	56.35	56.29	25.93	
2	288	35.98	48.13	50.48	23.98	
3	229	33.07	43.21	46.49	22.07	
4	311	30.39	39.91	42.89	20.42	
5	303	28.43	37.09	40.13	18.71	
6	303	26.90	34.13	36.62	17.01	
7	109	25.01	30.00	31.73	14.50	
8	83	16.14	12.12	9.51	2.75	

## CLUSTER VARIANCES

	CH( 1)	CH( 2)	CH( 3)	CH( 4)
1	14.05	14.05	15.80	5.44
2	2.68	4.30	4.41	2.45
3	3.94	2.26	2.98	2.50
4	1.98	1.58	1.74	1.60
5	1.90	1.66	1.86	1.15
6	2.45	2.31	2.34	0.93
7	3.62	6.04	7.85	2.77
8	8.20	20.03	27.38	7.83

Figura 15

Medias y varianzas de las clases espectrales definidas por el procesador de dispersión Area Laguna Parkhokhota.

Means and variances of the spectral classes defined by the clustering processor. Laguna Parkokota area.

BATMED  
L.A. BARTOLUCCI

LABORATORY FOR APPLICATIONS OF REMOTE SENSING  
SERVICIO GEOLOGICO DE BOLIVIA (PROGRAMA ERTS)

SEPT 21, 1976  
02 38 00 PM  
LARSYS VERSION 3

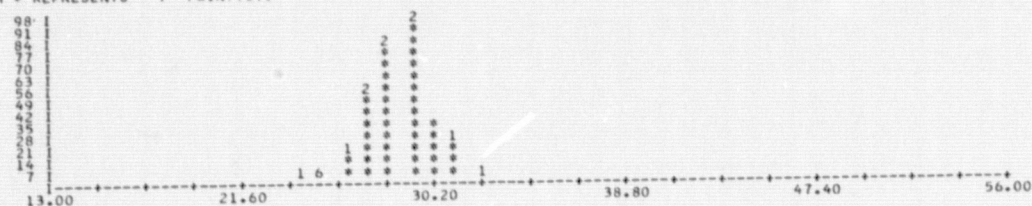
\*\*\*\*\* LAGUNA PARKOKOTA \*\*\*\*\*

HISTOGRAMS FOR CLUSTER CLASS 5 TOTAL NUMBER OF SAMPLES... 303

HISTOGRAM(S)

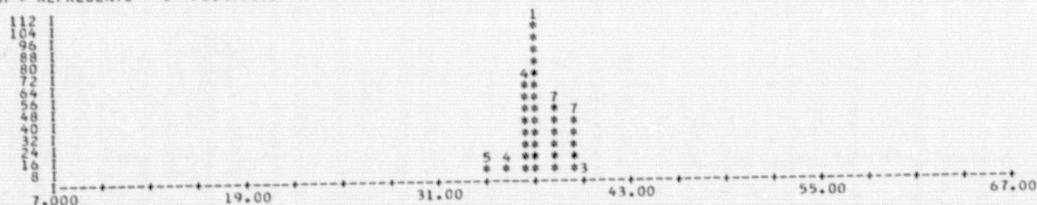
CHANNEL 1 0.50 - 0.60 MICROMETERS

EACH \* REPRESENTS 7 POINT(S).



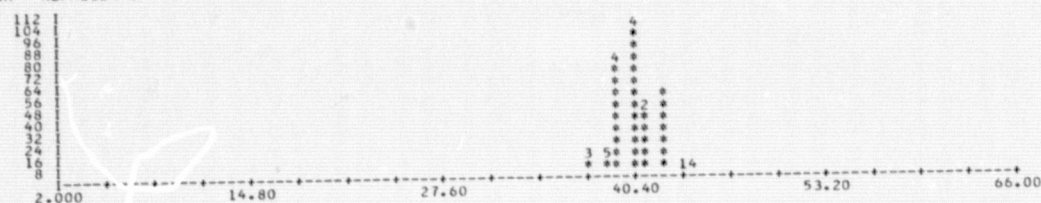
CHANNEL 2 0.60 - 0.70 MICROMETERS

EACH \* REPRESENTS 8 POINT(S).



CHANNEL 3 0.70 - 0.80 MICROMETERS

EACH \* REPRESENTS 8 POINT(S).



BATMED  
L.A. BARTOLUCCI

LABORATORY FOR APPLICATIONS OF REMOTE SENSING  
SERVICIO GEOLOGICO DE BOLIVIA (PROGRAMA ERTS)

SEPT 21, 1976  
02 38 03 PM  
LARSYS VERSION 3

\*\*\*\*\* LAGUNA PARKOKOTA \*\*\*\*\*

HISTOGRAMS FOR CLUSTER CLASS 5 TOTAL NUMBER OF SAMPLES... 303

HISTOGRAM(S)

CHANNEL 4 0.80 - 1.10 MICROMETERS

EACH \* REPRESENTS 8 POINT(S).

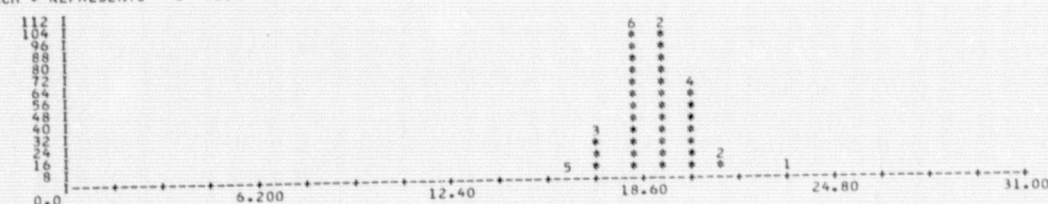


Figura 16

Histogramas de una clase de dispersión  
"cluster" en las cuatro bandas de longitud  
de onda de LANDSAT MSS. Area Laguna  
Parkokhota.

Histograms of one cluster class in the four  
LANDSAT MMS wavelenght bands. Lagu-  
na Parkokota area.

26A



ción con la información complementaria disponible (fotografías aéreas, mapas geológicos, suelos, etc.) es usada por el analista para ejecutar y controlar el análisis con ayuda de computadoras de los datos multiespectrales del satélite a través de los diferentes estados de la secuencia del proceso.

Como se indicó en el diagrama de flujo del análisis (Figura 10), una vez que un juego satisfactorio de estadísticas de prueba ha sido generado, el paso siguiente del procesamiento es la clasificación preliminar "CLASSIFYPOINTS" de un área pequeña, para propósitos de determinar la ejecución de las estadísticas de prueba definidas previamente.

En esta secuencia de procesamiento, el analista usa los resultados de clasificación preliminar para tomar decisiones ya sea si las clases estadísticas de prueba son representativas de los varios tipos de cubierta del terreno presentes en el paisaje, o si se requiere un mayor refinamiento de los estadísticos de prueba.

Una vez que el analista está satisfecho con los resultados de la clasificación preliminar, este juego de estadísticas de prueba, es usado como entrada para clasificar con el máximo de probabilidad de LARSYS (CLASSIFYPOINTS) para producir una clasificación multiespectral final de todo el área de interés; por ejemplo un cuadrángulo entero.

El procesador CLASSIFYPOINTS LARSYS, combina la tecnología de computación digital moderna y la teoría de reconocimiento de diseños automáticos, para clasificar muestras multiespectrales en una de las varias clases posibles. El clasificador LARSYS, usa "la regla de decisión de máxima probabilidad" (Cardillo y Landgrebe, 1966), para asignar a cada punto de los datos multiespectrales en la clase espectral más probable previamente distinguida por la estadística de prueba.

La clasificación multiespectral resultante, es almacenada en una cinta magnética digital, de la cual los resultados de clasificación pueden ser recuperados o mostrados, ya sea en un mapa alfanumérico escala 1:25.000 usando un procesador de impresión de resultados (Figura 18), o en un producto fotográfico codificado a color usando el procesador "Photo" (Figura 19).

Además de los mapas de clasificación, el procesador de resultados impresos, provee al analista un juego de tablas estadísticas conteniendo información sobre:

- 1) Exactitud de clasificación
- 2) Porcentaje de muestras de datos clasificados en cada clase espectral
- 3) Número de muestras de datos por clase

Este juego de información tabular, puede ser usada para determinar facilmente el número de acres o hectáreas de cada tipo de cubierta del terreno presente en toda el área clasificada.

classifier (CLASSIFYPOINTS) in order to produce the final multispectral classification of the entire area of interest, i.e. of an entire quadrangle.

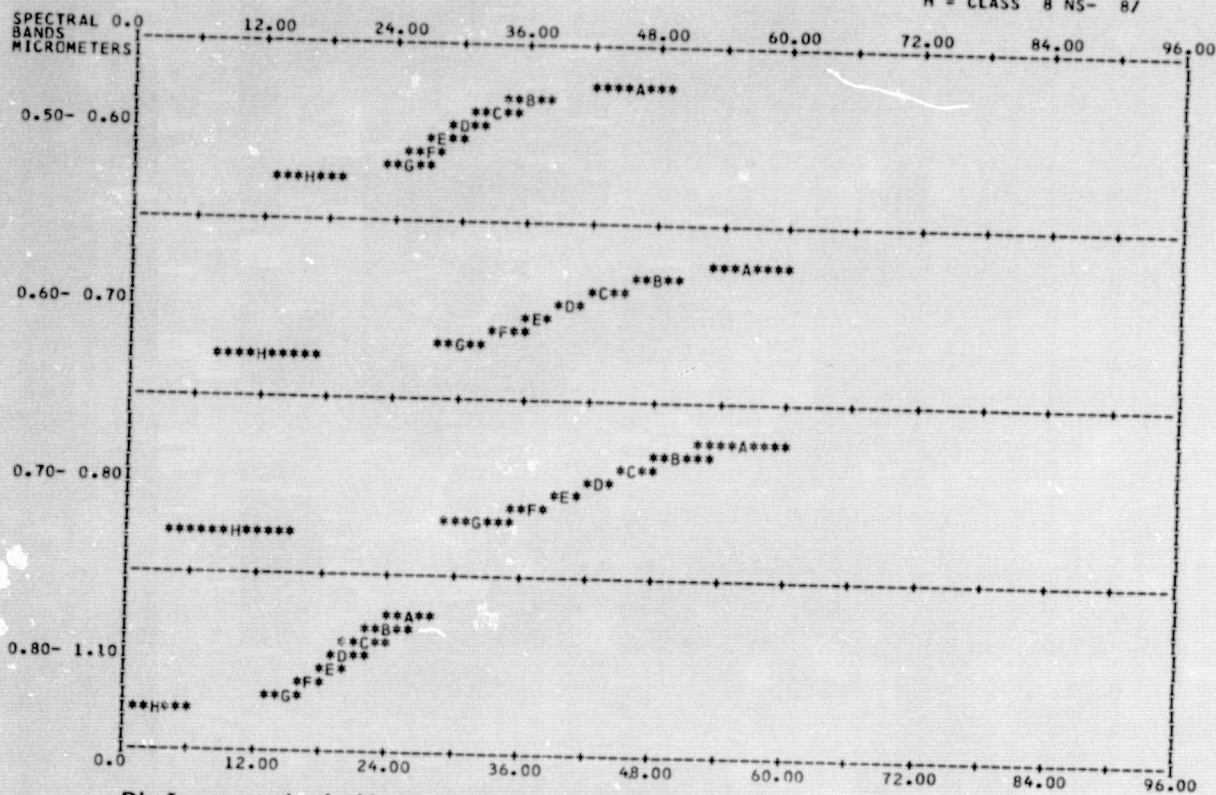
The LARSYS CLASSIFYPOINTS processor combines modern digital computer technology and automatic pattern recognition theory to classify multispectral samples into one of training statistics and is used as input to the LARSYS maximum likelihood decision rule" (Cardillo and Landgrebe, 1966), to assign each multispectral data point into the most probable spectral class previously defined by the training statistics. The resulting multispectral classification is stored in a digital magnetic tape from which the classification results can be retrieved and displayed into either 1:25,000 scale alphanumeric maps using the PRINTRESULTS processor (Figure 18), or as color-coded photographic products using the PHOTO processor (Figure 19).

In addition to the classification maps, the PRINTRESULTS processor provides the analyst with a set of statistics tables containing information on (1) the classification accuracy, (2) percent of data samples classified into each spectral class, and (3) the number of data samples per class. This set of tabular information can be used to easily determine the number of either acres, or hectares of each ground cover type present in the entire classified area.



COINCIDENT SPECTRAL PLOT (MEAN PLUS AND MINUS ONE STD. DEV.) FOR CLASS(ES)

LEGEND  
A = CLASS 1 NS- 1/  
B = CLASS 2 NS- 2/  
C = CLASS 3 NS- 3/  
D = CLASS 4 NS- 4/  
E = CLASS 5 NS- 5/  
F = CLASS 6 NS- 6/  
G = CLASS 7 NS- 7/  
H = CLASS 8 NS- 8/



Diseño espectral coincidente para 8 clases definidas por dispersión.  
Coincident spectral plot for the 8 classes defined by clustering.

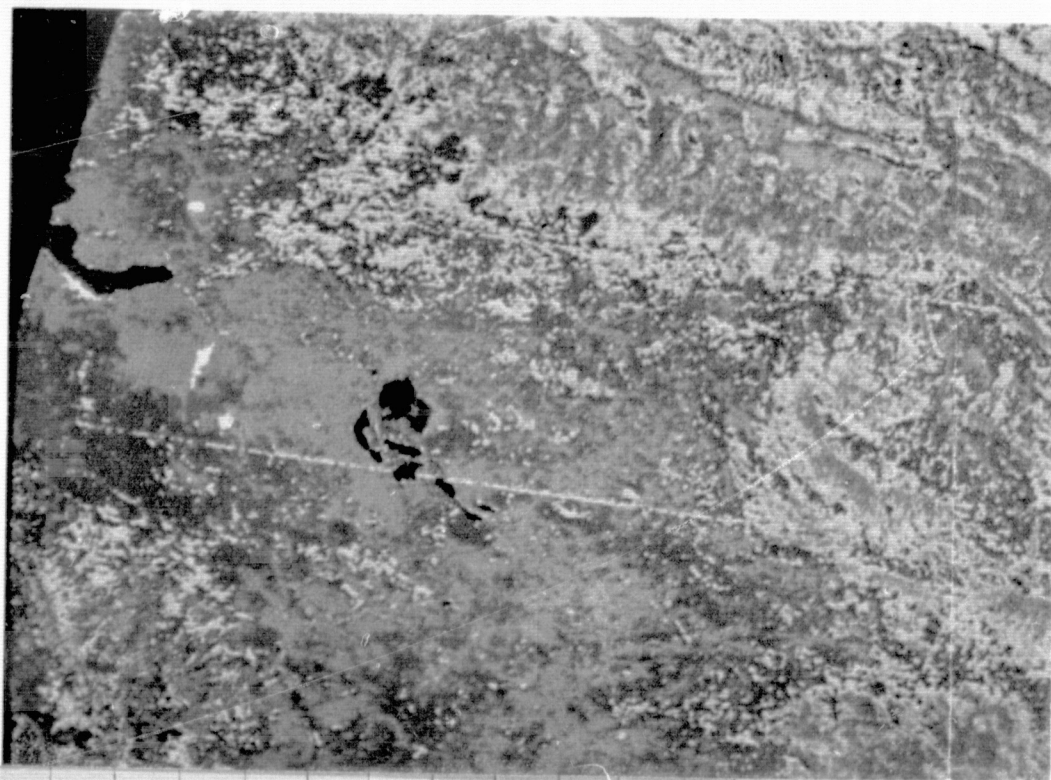
Figura 17

REPRODUCIBILITY OF THE  
ORIGINAL PAGE IS POOR

Mapa codificado a color  
de clasificación produci-  
do por el procesamiento  
PHOTO de LARSYS.

Color-coded classifica-  
tion map produced by  
the LARSYS \*PHOTO  
processor.

Figura 19



Mapa de  
de LARS  
Alphanu



BATMED  
J. A. BARTOLUCCI

LABORATORY FOR APPLICATIONS OF REMOTE SENSING  
SERVICIO GEOLOGICO DE BOLIVIA (PROGRAMA ERTS)

### RESULTADOS DE LA CLASIFICACION MULTIESPECTRAL

CLASSIFICATION STUDY 603543817  
RUN NUMBER..... 72069301  
FLIGHT LINE... 101014033 BOLIV  
DATA TAPE/FILE NUMBER.. 2609/ 1  
REFORMATTING DATE. FEB 4, 1976

CLASSIFIED FEB 4, 1976  
DATE DATA TAKEN... AUG 2, 1972  
TIME DATA TAKEN..... 1003 HOURS  
PLATFORM ALTITUDE.. 3062000 FEET  
GROUND HEADING..... 180 DEGREES

CLASSIFICATION TAPE/FILE NUMBER ... 672/ 1

CHANNELS USED

CHANNEL 1	SPECTRAL BAND	0.50 TO 0.60 MICROMETERS	CALIBRATION CODE = 1	CO = 0.0
CHANNEL 2	SPECTRAL BAND	0.60 TO 0.70 MICROMETERS	CALIBRATION CODE = 1	CO = 0.0
CHANNEL 3	SPECTRAL BAND	0.70 TO 0.80 MICROMETERS	CALIBRATION CODE = 1	CO = 0.0
CHANNEL 4	SPECTRAL BAND	0.80 TO 1.10 MICROMETERS	CALIBRATION CODE = 1	CO = 0.0

## CLASSES

SYMBOL	CLASS
	S.MUY.SA
-	S.SALINO
=	S.PLANO
/	S.PL-OND
*	Q.CLVIAL

SYMBOL	CLASS
O	T.RX.SED
Z	Q.GLCIAL
S	SOMBRAS
M	AGUA
-	NULL 0.2

[illegible]

```

157 .....M.....
158 .....M.....
159 .....M.....
160 .....M.....
161 .....M.....
162 .....M.....
163 .....M.....
164 .....M.....
165 .....M.....
166 .....M.....
167 .....M.....
168 .....M.....
169 .....M.....
170 .....M.....
171 .....M.....
172 .....M.....
173 .....M.....
174 .....M.....
175 .....M.....
176 .....M.....
177 .....M.....
178 .....M.....
179 .....M.....
180 .....M.....
181 .....M.....
182 .....M.....
183 .....M.....
184 .....M.....
185 .....M.....
186 .....M.....
187 .....M.....
188 .....M.....
189 .....M.....
190 .....M.....
191 .....M.....
192 .....M.....
193 .....M.....
194 .....M.....
195 .....M.....
196 .....M.....
197 .....M.....
198 .....M.....
199 .....M.....
200 .....M.....
201 .....M.....
202 .....M.....
203 .....M.....
204 .....M.....
205 .....M.....
206 .....M.....
207 .....M.....
208 .....M.....
209 .....M.....
210 .....M.....
211 .....M.....
212 .....M.....
213 .....M.....
214 .....M.....
215 .....M.....
216 .....M.....
217 .....M.....
218 .....M.....
219 .....M.....
220 .....M.....
221 .....M.....
222 .....M.....
223 .....M.....
224 .....M.....
225 .....M.....
226 .....M.....
227 .....M.....
228 .....M.....
229 .....M.....
230 .....M.....
231 .....M.....
232 .....M.....
233 .....M.....
234 .....M.....

```

NUMBER OF POINTS DISPLAYED IS 8991

Figura 18

Mapa de clasificación alfanumérico producido por el procesador PRINTRESULTS de LARSYS.

Alphanumeric classification map produced by the LARSYS \*PRINTRESULTS processor.

28A



## RESULTADOS DEL ANALISIS DIGITAL

Los resultados obtenidos de este estudio, indican que el número de clases espectrales separables encontradas en los datos multiespectrales de LANDSAT-1 del Desaguadero, varían desde 7 clases separables en el cuadrángulo de Eucaliptus a 12, en el cuadrángulo de Huayllamarca.

La respuesta espectral media de las clases en los varios cuadrángulos fue definida independientemente a través de agrupamientos o "Clusterings" individuales, encontrándose que muchas clases espectrales de los cuadrángulos están caracterizadas por una respuesta espectral similar, indicando la misma cubierta de terreno.

Es interesante notar, que en este juego particular de datos multiespectrales, la respuesta espectral de las clases de agrupamientos o "Clustering" en los diferentes cuadrángulos, tienden a seguir un diseño de distribución similar en las cuatro bandas de longitud de onda. Por ejemplo, si una clase de agrupamiento tiene una respuesta espectral alta en las dos bandas de longitud de onda visibles (0.5-0.6  $\mu\text{m}$ . 0.6-0.7  $\mu\text{m}$ .) también tiene una respuesta espectral alta en las dos bandas del infrarrojo cercano, (0.7-0.8  $\mu\text{m}$ . 0.8-1.1  $\mu\text{m}$ .) y viceversa. Estos resultados eran esperados, ya que principalmente suelos desnudos y rocas expuestas tienen rúbricas espectrales que son correlacionadas, ya sea en las posiciones del espectro visible o del infrarrojo cercano.

Para definir las clases espectrales presentes en los diferentes cuadrángulos, se siguieron los tres procedimientos de agrupamiento o "Clustering"

- 1) Toda el área fue agrupada por intervalos de muestreo regular de cada "n" líneas de barrido y cada "m" columnas, totalizando aproximadamente 10.000 muestras de datos.
- 2) Agrupamientos de cinco a siete áreas seleccionadas con 10 000 muestras aproximadamente, siendo combinadas las clases espectrales que tienen respuestas espectrales similares.
- 3) Las clases espectrales de cada cuadrángulo, fueron definidas usando solamente un agrupamiento de varias áreas pequeñas representativas seleccionadas cuidadosamente, las cuales totalizaban aproximadamente 10.000 muestras de datos.

## DIGITAL ANALYSIS RESULTS

The results obtained from this study indicate that the number of separable spectral classes found in the Desaguadero LANDSAT-1 multispectral data range from 7 separable classes in the Eucaliptus quadrangle to 12 separable classes in the Huayllamarca quadrangle.

Although the mean spectral response of the classes in the various quadrangles were defined independently through individual clusterings, it was found that several spectral classes from the different quadrangles were characterized by similar spectral responses, as would be expected in areas where the same ground cover type extends across the arbitrarily defined quadrangle.

It is interesting to note in this particular set of multispectral data, the spectral response of the cluster classes in the different quadrangles tended to follow a similar distribution pattern in all four wavelength bands. For example, if a cluster class has a high spectral response in the two visible wavelength bands (0.5 - 0.6  $\mu\text{m}$  and 0.6 - 0.7  $\mu\text{m}$ ) it also has a high spectral response in the two near infrared bands (0.7 - 0.8  $\mu\text{m}$  and 0.8 - 1.1  $\mu\text{m}$ ), and visa versa. These results are to be expected since the main ground cover types in the entire frame are primarily bare soils and exposed rocks which have spectral signatures that are highly correlated in both the visible and near infrared portions of the spectrum.

To define the spectral classes present in the different quadrangle, three different clustering procedures were followed: (1) the entire area was clustered by regular sampling intervals of every "n" scan lines and every "m" columns totaling approximately 10,000 data samples, (2) clustering from 5 to 7 selected areas of approximately 10,000 samples and then pooling (i.e. combining). (3) the spectral classes of each quadrangle were defined using only one cluster or several carefully selected representative small areas which totaled approximately 10,000 data samples. The different results were compared as to mapping accuracy, computational efficiency, and the time required for the analyst to obtain the desired set of training statistics. This comparison showed that for this particular set of multispectral data, the spec-



Los diferentes resultados fueron comparados en cuanto a exactitud de mapeo, eficiencia en la computación y el tiempo requerido por el analista para obtener el juego deseado de estadísticas de prueba.

Esta comparación, mostró que para este juego en particular de datos multiespectrales, el procedimiento de definición de clases espectrales que incluía el agrupamiento o "Clustering" simple de varias áreas pequeñas representativas (secuencia 3), rindió la mejor exactitud en el mapeo y las eficiencias más altas en la computación en el tiempo para el analista.

Por lo tanto, esta frecuencia de procesamiento se siguió a través de todo el análisis con ayuda de computadoras de toda la imagen LANDSAT-1 MSS del Desaguadero.

Aunque el máximo número de clases requeridas del procesamiento de agrupamiento fue de 11, para ciertos cuadrángulos, el procesador de separabilidad, indicó que habían menos de once clases separables espectralmente. La revisión del analista de la referencia disponible (información de campo y su conocimiento del área), corroboraron los resultados del análisis numérico, por ejemplo había menos de once diferentes tipos de cubierta de terreno en esos cuadrángulos.

Otro resultado obtenido en este estudio, es el hecho que debido a las limitaciones en el rango de detección espectral del sistema de LANDSAT-1 MSS (0.5 a 1.1  $\mu$ m), no fue posible discriminar entre cuerpos de agua y sombras topográficas sobre las bases de una información espectral solamente. Consecuentemente, ambos, los cuerpos de agua y las sombras eran representados por una misma clase espectral.

Es significativa la respuesta espectral alta encontrada asociada con los diferentes tipos de cubierta de terreno, comparada con los mismos tipos de cubierta en otras regiones del mundo. Esta observación era de esperar por que la atmósfera enrarecida por la altitud (4.000 m.s.n.m.), permite llegar gran cantidad de radiación a la superficie de la tierra y por lo tanto, la radiación reflejada no experimenta una gran atenuación por los constituyentes atmosféricos. Por ejemplo, la respuesta espectral media relativa de los cuerpos de agua en las longitudes de onda del infrarrojo cercano (banda 7) en la región del Altiplano boliviano, tienen 10 contabilizaciones digitales en comparación a 3 encontradas en áreas similares de Indiana, Estados Unidos.

tral class defin  
tative areas (s  
tational (CPU)  
followed thro  
SAT-1 MSS frs mu  
el ag  
Althoughuenc  
cessor was elenput  
there were les  
available refere  
borated the de to  
ground cover t

Another de a  
vity range lindad,  
possible to disdel a  
of spectral ino del  
represented byos d

Of partic las lin  
the different S (0.  
other regions ráfica  
atmosphere at amb  
amount of thepctr  
reflected radia  
ric constituenos di  
the near infrerta c  
approximately ra en  
water bodies a la  
approximately nta u  
esta c  
arrojo  
iones  
Unido

tral class definition produce involving the single clustering of several small representative areas (sequence 3) yielded the best mapping accuracy and the highest computational (CPU) and analyst time efficiency. therefore, this processing sequence was followed throughout the computer-aided analysis of the entire Desaguadero LANDSAT-1 MSS frame.

Although the maximum number of classes required from the clustering processor was eleven, for certain quadrangles the separability processor indicated that there were less than eleven spectrally separable classes. The analyst's review of the available reference (ground truth) information and his knowledge of the areas corroborated the numerical analysis results, i.e., there were less than eleven different ground cover types in those quadrangles.

Another result obtained from this study is the fact that due to spectral detectivity range limitations of the LANDSAT-1 MSS system (0.5 - 1.1  $\mu\text{m}$ ), it was not possible to discriminate between water bodies and topographic shadows on the basis of spectral information only. Consequently, both the water bodies and shadows are represented by the same spectral class.

Of particular significance is the high spectral response found associated with the different ground cover types as compared to the same ground cover types in other regions of the world. This observation is to be expected because the rarefied atmosphere at those high elevations (4,000 meters above sea level) allows a large amount of the incoming radiation to reach the earth's surface, and therefore, the reflected radiation does not experience a great deal of attenuation by the atmospheric constituents. For example, the relative mean spectral response of water bodies in the near infrared wavelengths (band 7) in the Altiplano region was found to be approximately 10 digital counts as compared to the spectral response of similar water bodies in the state of Indiana U.S.A. which have a spectral response of approximately 3 digital counts.



## EVALUACION DE RESULTADOS

### Generalidades

El mapeo con ayuda de computadoras de rasgos geológicos, suelos y uso actual de la tierra usando datos digitales de LANDSAT MSS, fué realizado en forma experimental, para determinar las ventajas y limitaciones de este tipo de obtención de datos (satélite) y sistema de procesamiento (LARSYS).

Ya que la descripción del sitio de prueba, los datos utilizados y la secuencia de procesamiento fueron presentados en detalle en secciones previas, a continuación se describe estrictamente la evaluación de los resultados desde el punto de vista del mapeo geológico, suelos y uso actual de la tierra. La evaluación se efectuó tomando en consideración los mapas de clasificación generados con computadoras y la información de referencia existente con los trabajos de verificación de campo.

### General

The suelo  
LANDSAT to en  
determine de  
processing  
and proce  
tions, this os y l  
geological, a c  
compariso punt  
(ground tr se efe  
camp

## EVALUATION OF RESULTS

### General

The computer-aided mapping of soils, geological and land use features using LANDSAT MSS digital data was conducted on an experimental basis in order to determine the advantages and limitations of this type of data gathering (satellite) and processing systems (LARSYS). Since the description of the test site, data utilized, and processing sequence have already been presented in detail in the previous sections, this part of the report will strictly describe the evaluation of the results from a geological, soils and land use mapping viewpoints. This evaluation was based on direct comparison of the computer-generated classification maps with existing reference (ground truth) information from field checking.



## APLICACIONES EN EL MAPEO GEOLOGICO

Para apreciar los resultados del mapeo geológico con ayuda de computadoras, se seleccionaron tres áreas diferentes representativas del área cubierta por la imagen de LANDSAT del Desaguadero. La clasificación codificada a color correspondiente a estas tres zonas son: Choquecota, Huayllamarca y Jesús de Machaca, ilustradas en las figuras 20, 21 y 22 respectivamente.

Los colores de la figura 20, 21 y 22 han sido asignados arbitrariamente a las diferentes clases espectrales y ellos no reflejan de ningún modo el verdadero color de los varios tipos de cubierta de terreno.

### Cuadrángulo Choquecota.

Una interpretación preliminar de los resultados de clasificación de esta área, muestra claramente que todos los afloramientos que forman la serranía de Huayllamarca, fueron identificados correctamente; tal como está ilustrado por las áreas en marrón oscuro en la figura 20 que corresponde a rocas expuestas en las pendientes desnudas de esta cadena montañosa. Las áreas azul verdosas, delinean aquellas partes de la cadena montañosa que han sido altamente intemperizadas, correspondiendo las áreas amarillas a aquellas rocas que tienen una capa delgada de suelos coincidente con la pendiente del buzamiento de las estructuras.

Las áreas azul oscuro (figura 20), presentes a lo largo de toda la cadena montañosa, representan las clases espectrales definidas "como sombras topográficas". Estas tienen una respuesta espectral similar (en las cuatro bandas de longitud de onda de LANDSAT) a aquellas de los cuerpos de agua. Consecuentemente, no fué posible diferenciar las sombras topográficas de los cuerpos de agua. Nótese en la figura 20, que el lago Canasa está bien delineado como un área de azul oscuro. La dificultad de diferenciar entre cuerpos de agua y sombras topográficas basados en información multiespectral solamente, no es única para el análisis de los datos del LANDSAT del Desaguadero. Este problema fué encontrado continuamente, toda vez que sombras y cuerpos de aguas se presentaban dentro del paisaje de LANDSAT.

El verde amarillento, gris azulado, rosado y los varios tonos de verde en la figura 20, corresponden a diferentes clases espectrales de suelos. Una evaluación detallada de esta clasificación de suelos, será discutida en la próxima sección de este informe. Sin embargo desde un punto de vista de interpretación y evaluación geológica, estas varias clases espectrales de suelos corresponden a depósitos cuaternarios

## APPLICATIONS TO GEOLOGICAL MAPPING

To assess the results of the computer-aided geological mapping, three different areas (quadrangles) were selected as being representative of the entire area covered by the LANDSAT Desaguadero frame. The resulting color-coded classifications of these three quadrangles, that is, Choquecota, Huayllamarca, and Jesús de Machaca are shown in Figure 20, 21, and 22 respectively. The original scale of these classification maps is 1:25,000 when displayed in a computer line-printer format. The colors of Figures 20, 21 and 22 have been arbitrarily assigned to the different spectral classes, and they do not reflect in any way the true color of the various, ground cover types.

**Choquecota.** A preliminary interpretation of the classification results from this area clearly showed that all the outcrops that forms the Huayllamarca mountain range were correctly identified. This is illustrated by the dark brown areas in Figures 20 which correspond to exposed rocks in the scarp-slopes of the mountain range. The blue-green areas delineate those parts of the range that have been highly weathered, and the yellow areas correspond to those rocks that have a thin soil cover coincident with the dipslopes of the structures.

The dark-blue areas (figure 20) present along the entire length of the mountain ranges represent the spectral class defined as "topographic shadows". Both cloud and topographic shadows have a spectral response (in the four LANDSAT wavelength bands) equal to that of water bodies. Consequently, it was not possible to differentiate the topographic shadows from the water bodies. Note in Figure 20 that the Lake Canasa is well delineated as a dark-blue area. The difficulty in differentiating between water bodies and cloud or topographic shadows based on spectral information only is not unique to the analysis of the Desaguadero LANDSAT data. This problem has been encountered continuously whenever shadows and water bodies occur within the same LANDSAT scene.

The yellowish-green, bluish-gray, pink, and the various green colors in Figure 20 correspond to different spectral classes of soils. A detailed evaluation of these soil classification results will be discussed in the next section of this report. However, from a geological interpretation and evaluation viewpoint, these various spectral



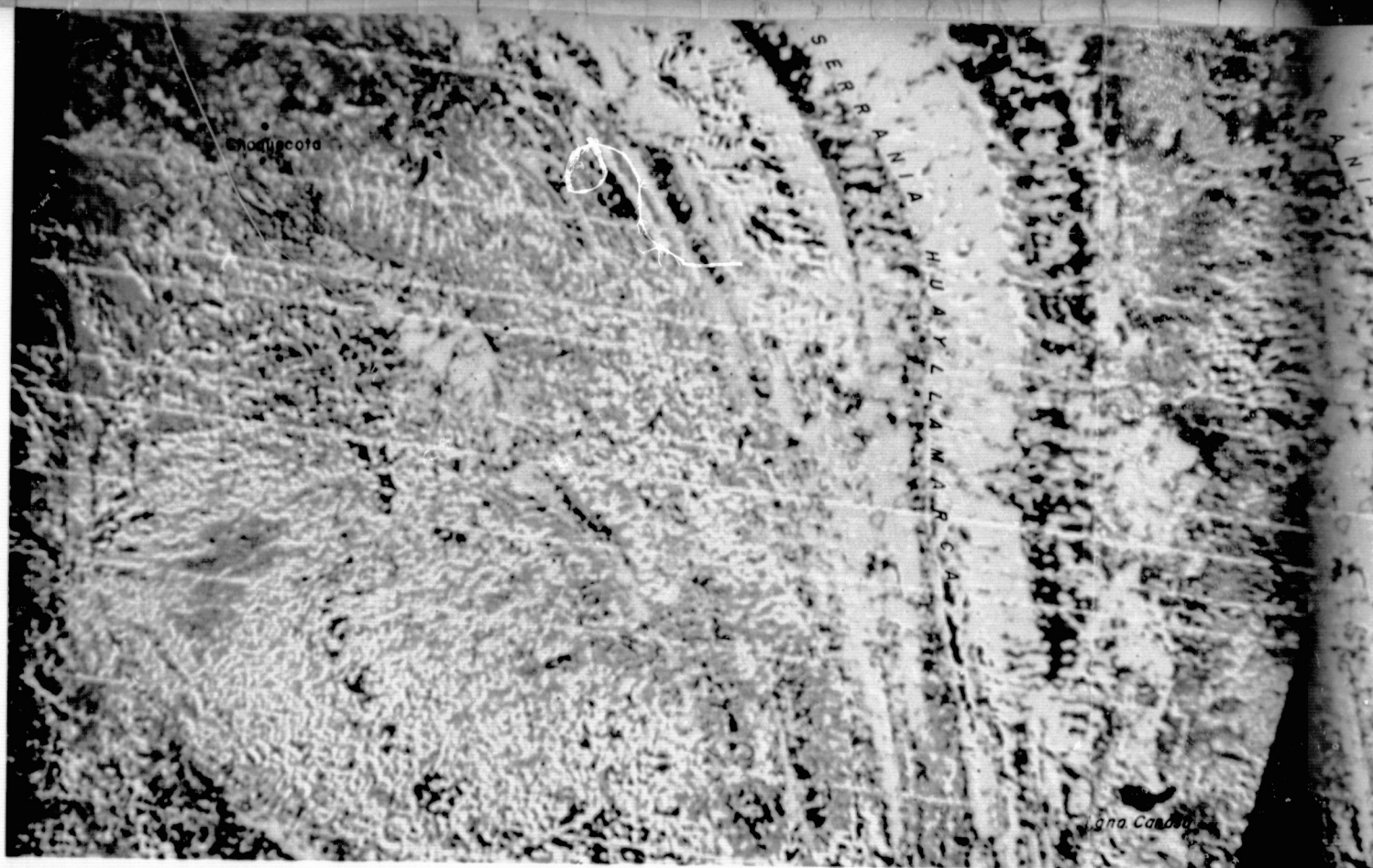


Figura 20

Mapa de clasificación multiespectral del cuadrángulo de Choquecota.

Multispectral classification map of the Choquecota quadrangle.

REPRODUCIBILITY OF THE  
ORIGINAL PAGE IS POOR

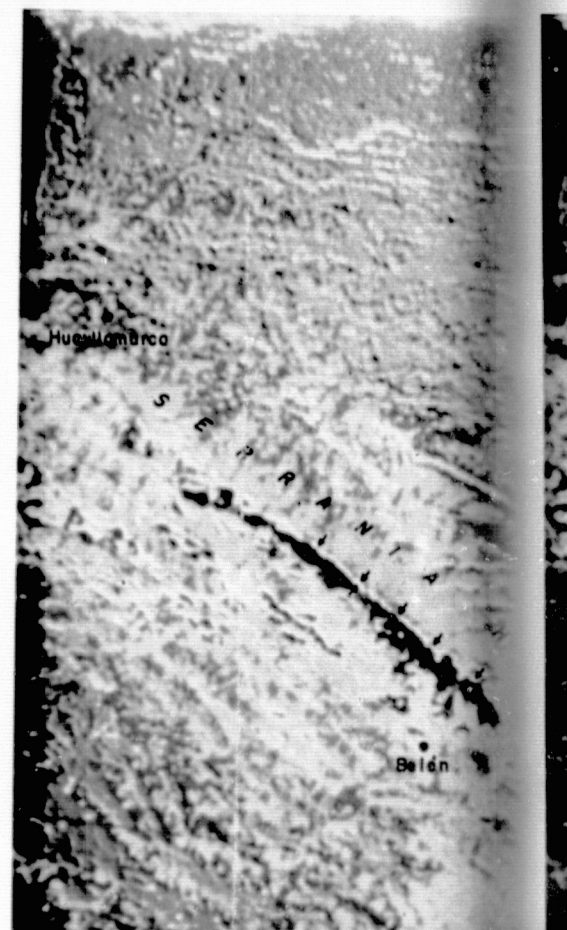
#### CONCLUSIONES

- 1.— Las unidades Litológicas expuestas se identifican correctamente en relación a los materiales recientes, en base a diferencias de reflectancia.
- 2.— Son claramente observables cuerpos diapíricos y eflorescencias salinas.
- 3.— Depósitos glaciales son perfectamente identificables.
- 4.— Se identifican claramente lineamientos estructurales mayores.
- 5.— La presencia de sombras topográficas enmascara afloramientos rocosos.

#### RECOMENDACIONES

- 1.— Es importante realizar reconocimientos de terreno con el fin de coleccionar información utilitaria para el procesamiento digital.
- 2.— Obtener fotografías aéreas de zonas con características definidas, para la fase de comparación de los resultados digitales.
- 3.— Efectuar chequeos específicos de terreno con los mapas alfanuméricos obtenidos para una correcta agrupación de clases espectrales.

32B





## CONCLUSIONS

- 1.— The exposed lithological units are correctly identified in relation to the recent materials, based in differences on reflectance.
- 2.— Saline efflorescence and diapiric bodies are clearly seen.
- 3.— Glacial deposits are perfectly identifiable.
- 4.— Mayor structural lineaments are clearly identified.
- 5.— The presence of topographic shadows mask the rock outcrops.

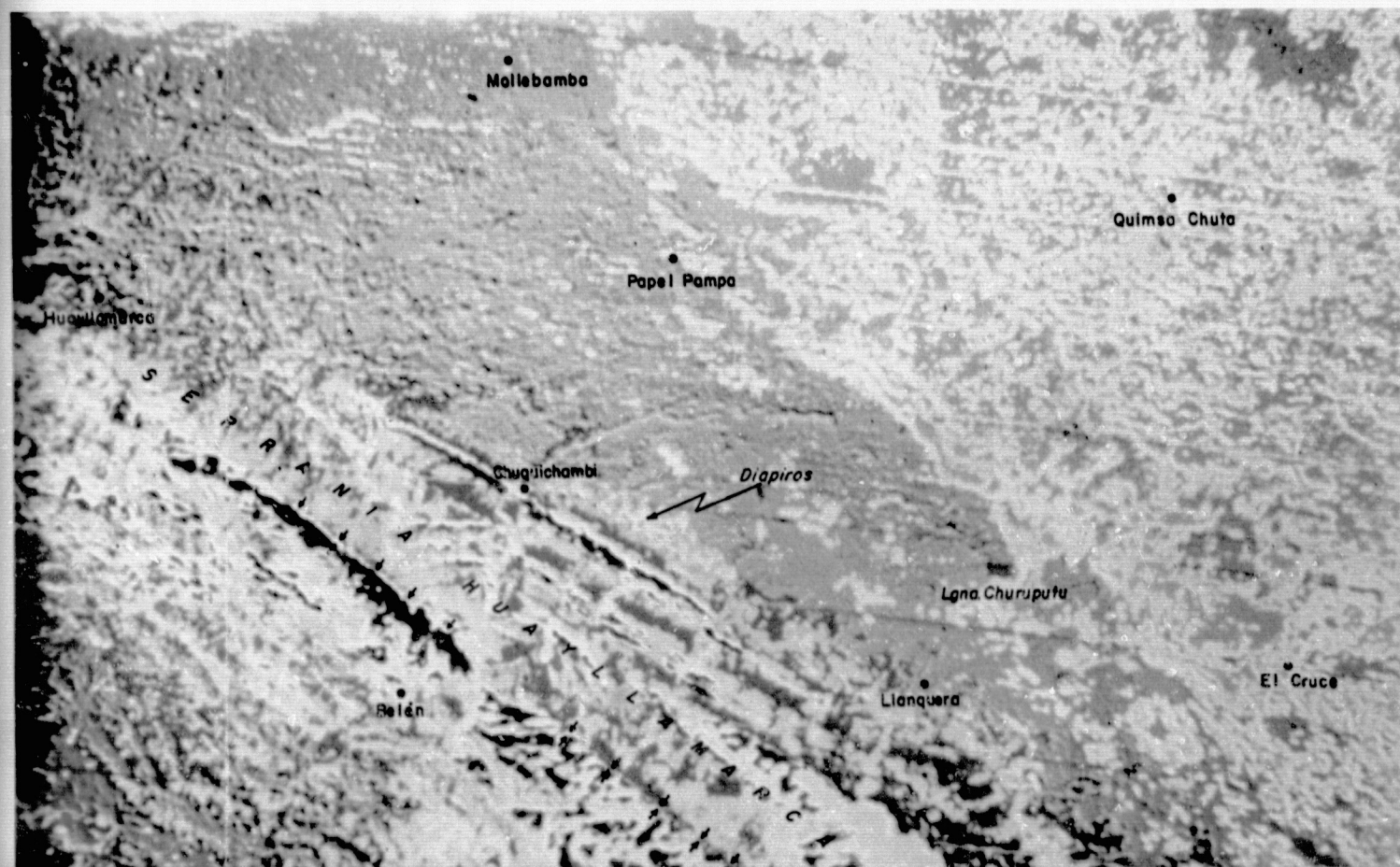
## RECOMENDATIONS

- 1.— It is very important to realize field work in order to collect information which will be utilized on the digital processing.
- 2.— It is recommended to obtain aerial photographs of areas with special characteristics for the comparison of the digital results phase.
- 3.— Specified field checking with the alphanumeric maps obtained for a correct spectral classes clustering should be carried out.

Mapa de clasificación multispectral del cuadrángulo de Huayllamarca.

Multispectral classification map of the Huayllamarca quadrangle.

Figura 21





de diferente origen. Finalmente, las áreas coloreadas en blanco, figura 20 (cuadrángulo Choquecota) representan eflorescencias salinas.

#### **Cuadrángulo Huayllamarca.**

Esta área ilustrada en la figura 21, está localizada al Norte del área previamente descrita (Choquecota).

El área de Huayllamarca presenta características geológicas similares a aquellas encontradas en el área de Choquecota, sin embargo contiene gran número de eflorescencias salinas.

Además de las características litológicas identificadas en la clasificación multispectral del cuadrángulo de Huayllamarca se evidenció una serie de fallas coincidentes con alineaciones claramente definidas formadas por el contacto de dos clases espectrales diferentes (distintos colores en la figura 21 ver parte inferior central), sin que ello signifique la identificación de dos tipos de roca, debido a la cubierta de suelos y presencia de sombras generales por la topografía.

Las estructuras diapíricas (diapiros de yeso) presentes en el flanco Este de la cadena de Huayllamarca, están claramente delineados en la clasificación multispectral como rasgos alargados (de color gris claro en la figura 21); la verificación de campo en esta área, mostró que el mapeo multispectral de las estructuras diapíricas de Huayllamarca es confiable.

#### **Cuadrángulo Jesús de Machaca.**

En esta área los resultados de la clasificación multispectral de LANDSAT (figura 22), mostraron que fué posible mapear con exactitud la extensión de los depósitos glaciales (color gris azulado) los cuales son claramente diferenciables de los sedimentos cuaternarios adyacentes (color amarillo). En forma similar, las rocas expuestas (afloramientos) en esta área, fueron clasificadas correctamente y se muestra en la figura 22 con color marrón rojizo.

Debido a que el ancho del río Desaguadero es menor que la resolución espacial (tamaño de pixel) del sistema de LANDSAT MSS, el curso de éste es delineado en base a la clasificación multispectral (figura 22) por la clase representativa de los materiales cuaternarios adyacentes (amarillo), y los suelos enriquecidos en sal pintados de un color azul claro.

Es también importante notar que en los resultados de clasificación de los cuerpos de agua del cuadrángulo de Jesús de Machaca, una clase espectral diferente fué identificada en ellos, localizada en el centro y en los bordes de los mismos. El examen de campo, indicó que esta clase espectral representa a vegetación.

En general, la evaluación de los resultados obtenidos en el procesamiento con ayuda de computadoras (análisis LARSYS) de los datos digitales de LANDSAT MSS del área Desaguadero, han mostrado que el mapeo geológico usando estas técnicas de percepción remota es satisfactoria en cuanto a habilidad para identificar afloramientos de rocas, delinear fallas y posiblemente diferenciar grandes unidades litológicas.

classes of soils  
white colored ar

Huayllamarca  
area previously  
logical character  
larger number

In addition  
classification  
clearly defined  
were observed.

The diapiric  
llamarca range  
features (light-  
multispectral m

Jesús de Machaca  
classification (F  
of the glacial de  
cent quaternary  
this area were c

Because th  
(pixel size) of  
multispectral  
material (yellow

It is also imp  
the Jesús de Machaca  
class was mapped  
showed that this

In general,  
processing (LA  
dero area has sh  
satisfactory as  
possibly different



classes of soils correspond to quaternary deposits of different origins. Finally, the white colored areas in Figure 20 (Choquecota quadrangle) represent salt flats.

**Huayllamarca.** This area, illustrated in Figure 21, is located just north of the area previously described (Choquecota). The Huayllamarca area present similar geological characteristics as those found in the Choquecota area. However, it contains a larger number of salt flats.

In addition to the lithologic characteristics identifiable in the multispectral classification of the Huayllamarca quadrangle, a series of faults coincident with clearly defined lineations formed by the contact of two different spectral classes were observed. (different colors in Figure 21 see section central lower).

The diapiric structures (gypsum diapirs) present on the east flanks of the Huayllamarca range are clearly delineated on the multispectral classification as elongated features (light-gray color in Figure 21). Field checking of this area showed that the multispectral mapping of the Huayllamarca diapiric structures is highly accurate.

**Jesús de Machaca.** In this area the results of the LANDSAT multispectral classification (Figure 22) showed that it was possible to accurately map the extent of the glacial deposits (blue-gray color) which are well distinguished from the adjacent quaternary sediments (yellow color). Similary, the exposed rocks (outcrps) in this area were correctly classified and are shown in Figure 22 by reddish-brown color.

Because the width of the Desaguadero river is less than the spatial resolution (pixel size) of the LANDSAT MSS system, the river course is delineated in the multispectral classification (Figure 22) by the class representing the quaternary material (yellow) and the salt-enriched soils depicted by the light blue color.

It is also important to note that in the classification results of the water bodies of the Jesús de Machaca quadrangle, a spectral class different from the water spectral class was mapped in the center and the edges of the water bodies. Field examination showed that this spectral class represented the vegetation.

In general, the evaluation of the results obtained from the computer-aided proceessing (LARSYS analysis) of LANDSAT MSS digital data from the Desaguadero area has shown that geological mapping using these remote sensing techniques is satisfactory as far as the ability to identify rock autcrops, delineate faults, and possibly differentiate large lithologic units.



# APLICACIONES EN EL MAPEO DE SUELOS

## Generalidades.

De acuerdo a los resultados obtenidos por este sistema, se puede apreciar la aplicación de estas técnicas en el mapeo de suelos, ya que las respuestas multiespectrales de las diferentes unidades de suelos están basadas en los valores de reflectancia de cada una de ellas, las cuales se registran en las cintas magnéticas del LANDSAT en los cuatro canales del sistema MSS.

Al considerar este sistema se debe mencionar la precisión de los resultados obtenidos expresados por la cobertura superficial especialmente en lo que respecta a la identificación de cada unidad de suelos, al nivel semidetallado de suelos ya que la unidad mínima de mapeo es de 1 acre, lo cual significa que los productos finales permiten preparar mapas detallados de suelos.

## Objetivos.

El objetivo de este trabajo, ha sido la presentación de una metodología completamente nueva para el país, la cual aplica los principios básicos de los Sensores Remotos en el estudio de suelos. El conocimiento obtenido a través del mismo, permitirá pensar en las ventajas que se obtienen por este método en relación con los levantamientos tradicionales. La aplicación de esta técnica, brinda rapidez, eficiencia y economía.

## Resultados Preliminares.

A manera de experimentación se tomaron como ejemplos las áreas de Huayllamarca y Eucaliptus.

## Area Huayllamarca (Figura No. 21).

Realizando un análisis general de este sector se pudieron diferenciar 10 clases espectrales que guardan relación con las observaciones de campo, lo cual podemos observar en la tabla No. 1.

## General

Accor  
application  
soil maps,  
of detail is

A con  
from conv  
fication sys  
economy a

## Objectives

The o  
technolog  
remotely se

## Preliminary

To ill  
niques to  
21 and 22  
drangles.

## Huayllama

As ca  
tions were

# APPLICATIONS OF DIGITAL CLASSIFICATION TO SOIL MAPPING

## General

According to the results obtained by this system it is possible to appreciate the application of these techniques to soil mapping, this system provides highly accurate soil maps, specially with regard to boundary delineation between soil units the level of detail is based on an approximately half hectare mapping unit.

A comparison of the results obtained by this mapping system with results from conventional soil mapping techniques, indicates that the digital classification system offers advantages in soil mapping as far as rapidity, accuracy, and economy are concerned.

## Objectives

The objective of this investigation was to introduce in this country the latest technological developments for soil mapping, using computer-aided processing of remotely sensed multispectral satellite data.

## Preliminary Results.

To illustrate the applications of computer-aided multispectral classification techniques to soil mapping, two color-coded classification results are shown in Figures 21 and 22, which correspond respectively to the Huayllamarca and Eucaliptus quadrangles.

## Huayllamarca Area (Figure 21)

As can be seen on table 3, 10 different spectral classes related to field observations were noted after a general analysis of this sector was carried out.



TABLA No. 1

## AREA DE HUAYLLAMARCA

CODIGO DE COLOR	CARACTERISTICAS GENERALES DE LOS SUELOS
BLANCO	Suelos extremadamente salinos ubicados en la llanura con escasa vegetación muy resistente a la alta salinidad como la Khota ( <i>Azorella</i> Spp) cubiertos por tola.
ROSADO	Suelos moderadamente salinos, ubicados en la llanura, ligeramente convexos, generalmente cubiertos de tola.
CELESTE	Corresponde a suelos salinos cubiertos de pastos bajos; chiji blanco ( <i>Distichlis</i> <i>Mimilis</i> ).
CELESTE CLARO	Suelos salinos ubicados al pié de la serranía con escasa vegetación de pastos naturales y tola.
GRIS CLARO	Suelos fuertemente salinos, con escasa vegetación de pastos naturales.
VERDE OSCURO VERDE CLARO	Suelos poco salinos, constituídos por texturas arenosas, con vegetación de tola.
CAFE ROJIZO	a) Areas rocosas en las serranías de Huayllamarca y Laurani. b) Depositiones recientes de material transportados de las serranías sin cubierta vegetativa.
AMARILLO	Areas rocosas.
AZUL	Sombras en las serranías.

TABLE 1

COLOUR CODE	SUELOS
WHITE	llanura a sa por t
PINK	llanura de t
LIGHT BLUE	stos
PALE BLUE	n es
PALE GRAY	ción
DARK AN LIGHT GRE	are
REDDISH BR	narc ortad
YELLOW	
BLUE	

TABLE 1

## HUAYLLAMARCA AREA

COLOUR CODE	GENERAL CHARACTERISTICS OF SOILS
WHITE	Extremely saline soils (located) in the plains with little vegetation, highly resistant to high salinity, like khota (azorella Spp) covered by Thola.
PINK	Moderately saline soils, located on the plains, slightly convex, generally covered by Thola.
LIGHT BLUE	Saline soils covered by low grass i.e. white chiji ( <i>Distichlis humilis</i> ).
PALE BLUE	Saline soils located in the skirts of mountains with little vegetation of natural grass and Thola.
PALE GRAY	Highly saline soil, with little natural grass vegetation.
DARK AND LIGHT GREEN	Slightly saline sandy soils, with Thola.
REDDISH BROWN	a) Rocky areas in the mountainous regions of Huayllamarca and Laurani. b) Recent sediments transfered from the mountainous regions without vegetation.
YELLOW	Rocky areas.
BLUE	Shadows in the mountainous regions.



Una comparación de las figuras 21 y 24 con las tablas 1 y 2 y su significado en el campo, ilustra la gran cantidad de detalle en la cobertura que proporciona el sistema, habiéndose identificado perfectamente 10 tipos de suelos para el área de Huayllamarca y 7 para Eucaliptus (Tabla 1 y 2).

Sin embargo por el nivel de estudio, durante la generalización cartográfica se han reducido a 5 clases de suelos, puesto que la mayor diferencia se presenta solamente en el contenido salino, y para su perfecta identificación ha sido necesario realizar trabajo intensivo de campo.

### Metodología de trabajo.

En forma resumida, el estudio se realizó en seis etapas sucesivas que son las siguientes:

- 1.- La primera, consistió en la recopilación de bibliografía existente e interpretación de imágenes LANDSAT MSS a escala 1:250.000, para la confección del mapa fisiográfico, puesto que existe íntima relación entre las unidades fisiográficas y las clases de suelos. En esta etapa coadyuvan los mapas topográficos a escalas 1:250.000 y 1:50.000, que sirven como mapa base.
- 2.- Primera etapa de trabajo de campo a nivel de reconocimiento dentro del área que comprende la imagen Desaguadero bajo el siguiente orden:
  - a) Verificación de las unidades fisiográficas, identificadas en la imagen a escala 1:250.000.
  - b) Ubicación de las áreas de muestreo en la imagen que representan rasgos de identificación con los patrones de reconocimiento; estos rasgos son los que determinaron los parámetros de cada clase de suelos para su respectiva clasificación durante el análisis de computación del sistema LARSYS, que dió como resultado final los mapas de suelos digitalizados.
  - c) Descripción de perfiles típicos correspondientes a las diferentes unidades fisiográficas.
- 3.- Procesamiento de computación realizado en el "Laboratorio para la Aplicación de Percepción Remota" (LARS) de la Universidad de Purdue en Estados Unidos; efectuado en forma interactiva por el analista tomando los datos de campo (especificados en el párrafo b) de la primera etapa del trabajo de campo, lo cual dió como resultado los mapas de clasificación de suelos.

A comparison between Figures 21 and 24 with Tables 1 and 2 and their respective field information, shows the large amount of detail obtained by this system. Ten soil types for the Huayllamarca area and 7 for the Eucaliptus area were correctly identified (Tables 1 and 2).

Due to the level of the survey, however, only 4 types of soils have been identified during the mapping since the mayor difference lies only in the salinity content. Intensive field work has been carried out to accurately identify the characteristics of the soils.

### Methodology.

The study was performed in six succeeding steps:

1. The first step included the compilation of a bibliography of the area and the interpretation of LANDSAT MSS images at a 1:250.000 scale. From these images and existing topographic maps, physiographic maps at a scale of 1:250.000 and 1:50.000 were produced. These physiographic maps were very useful because of the close relationship between physiography and soil units.
2. The first field work was at a reconnaissance level and it included the verification and description of:
  - a) The physiographic units in the Desaguadero frame at a 1:250.000 scale
  - b) The description of typical soil profiles corresponding to the different physiographic units.
  - c) The location of the sample areas in the image from where identification features were obtained for each one of the soil classes. These statistical parameters were used for the computer-aided (LARSYS) classification which produced the final digitized soil maps.
3. Computer processing performed of the "Laboraty for Applications of Remote Sensing" (LARS), Purdue University U.S.A.

This was done in an interactive way by the analyst with the data stored in magnetic tape (CCT Run 72069300) and the field information mentioned in (h); which resulted in the final soil classification map.



TABLA No. 2

## AREA EUCALIPTUS (Figura No. 24)

7 clases espectrales para Eucaliptus Tabla No. 2

CODIGO DE COLOR	CARACTERISTICAS GENERALES DE LOS SUELOS
BLANCO	Suelos extremadamente salinos con escasa vegetación muy resistente a la alta salinidad como la Khota (Azorella Spp)
CELESTE	Suelos fuertemente salinos, con escasa vegetación de Khota y Pastos naturales bajos.
AMARILLO	a) En llanura corresponden a suelos profundos con moderada influencia salina cubierta de pasto y tola. b) En pie de serranía ondulada, suelos moderadamente salina cubierta de tola y pastos.
VERDE	Suelos arenosos muy escasamente afectados por salinidad y ligeramente convexos con cobertura de tola.
CAFE ROJIZO	a) Corresponde a dunas y arenales en las llanuras con paja brava y muy poca tola
AZUL CLARO	corresponde a las serranías con escasa cubierta de pastizales y tolares.
AZUL OSCURO	a) corresponde a sombras en la serranía. b) corresponde a agua.

TABLE 2

COLOUR CLASS
WHITE
LIGHT BLUE
YELLOW
GREEN
REDDISH BROWN
LIGHT BLUE
DARK BLUE

TABLE 2

## EUCALYPTUS AREA

(7 spectral classes for Eucalyptus)

COLOUR CODE	GENERAL CHARACTERISTICS OF SOILS
WHITE	Extremely saline soils with little vegetation very resistant to high degrees of salinity, i.e. Khota (Azorella Spp).
LIGHTY BLUE	Highly saline soils with little vegetation i.e. khota and low pastures.
YELLOW	a) In the plains soils are deep, moderately saline covered with pastures and Thola. b) On undulated mountains slopes soils are moderately saline with pastures and Thola.
GREEN	Sandy soils slightly affected by salinity having a slightly convex relief, covered by Thola.
REDDISH BROWN	a) Dunes and sand beaches in the plains covered with Paja brava and very little Thola. b) Rocky areas in the mountainous regions.
LIGHT BLUE	Mountainous regions with little pastures and Thola.
DARK BLUE	a) Shadows in the mountainous regions. b) Represents water.



4.- En la segunda etapa de trabajo de gabinete, se tomó como zonas experimentales las áreas de Huayllamarca (Fig. 21) y Eucaliptus (Figura 24); dividida en las siguientes fases:

- a) Agrupación en los mapas alfanuméricos de las diferentes unidades de suelos tomando como unidad mínima de mapeo cinco elementos de resolución (2.5 hectáreas).
- b) Reducción del mapa anteriormente indicado de escala 1:25.000 a 1:50.000, con el fin de sobreponer a los mapas topográficos en la misma escala, con el objeto de tener perfecta ubicación cartográfica para la consiguiente verificación de campo.

5.- Segunda etapa de trabajo de campo constituida por los siguientes puntos:

- a) Ubicación de sitios característicos, entre el mapa topográfico y el mapa de suelos identificados con rasgos naturales del terreno.
- b) Verificación de las unidades de suelos resultantes del procesamiento de computación con las características reales del terreno.
- c) Descripción de los perfiles modales o típicos en cada unidad de suelos según la "Guía de FAO para la descripción de perfiles de suelos" y utilizando en su clasificación el "Sistema Taxonómico de la Séptima Aproximación".

6.- Tercera etapa de trabajo de gabinete dividida en dos fases:

- a) Con todos los datos anteriormente indicados, se hizo una generalización cartográfica, tomando como unidades de mapeo las consociaciones y las asociaciones de suelos.
- b) Informe Final.

### Resultados Finales.

La tabla No. 3 presenta el significado de los símbolos en el mapa alfanumérico y su relación con los suelos (Mapas 1 y 2) que fueron verificados en el campo en forma intensiva.

### Leyenda del Mapa de Suelos.

Para la elaboración de la leyenda final del mapa de suelos escala 1:50.000, se tomó en consideración las unidades fisiográficas, debido a la estrecha relación existente entre suelo-paisaje. Tabla No. 4.

4. In the zone of Eucaliptus (Fig. 24) following

- a) As units of 2.5 hectares
- b) Reduction of the map previously indicated from scale 1:25,000 to 1:50,000, with the purpose of superimposing on the topographic maps at the same scale, with the object of having perfect cartographic location for the subsequent field verification.

5. The second stage of field work consisted of the following points:

- a) Location of characteristic sites, between the topographic map and the soil map identified with natural features of the terrain.
- b) Verification of the soil units resulting from the processing of computation with the real characteristics of the terrain.
- c) Description of the modal or typical profiles in each soil unit according to the "FAO Guide for the description of soil profiles" and using in its classification the "Taxonomic System of the Seventh Approximation".

6. The third stage of field work was divided into two phases:

- a) With all the data previously indicated, a generalization was made, taking as mapping units the consociations and the associations of soils.
- b) Final Report.

### Final Results.

Table No. 3 presents the meaning of the symbols in the alphanumeric map and its relation to the soils (Maps 1 and 2) which were verified in the field intensively.

### Legend of the Map of Soils.

For the elaboration of the final legend of the soil map at scale 1:50,000, the physiographic units were taken into consideration, due to the close relationship existing between soil and landscape. Table No. 4.

4. In the second step of the cabinet work, the Huayllamarca (Figure 21) and Eucaliptus (Figure 24) areas were taken as experimental zones divided in the following phases:
  - a) A grouping of the alphanumeric map-units of soils, the minimum mapping unit being a five element resolution (2.5 hectares).
  - b) Reduction of the above-mentioned map to 1:25.000 and 1:50.000 scales, to overlay it with the topographic maps of the area, in order to have a perfect cartographic location for the field checking.
5. The second field work step was comprised by the following tasks:
  - a) Location and adjustment of the characteristic sites of the topographic map, soil map, and the terrain features.
  - b) Checking the soil spectral classes obtained by the computer analysis with the actual terrain characteristics.
  - c) Description of the soil unit profiles according to the "FAO Handbook for Soil Profile Description" and using the "American Taxonomic Classification System".
6. The third cabinet work step was divided into two phases:
  - a) Cartographic generalization done with all the aforementioned data, taking as mapping units the soil consociations and asociations.
  - b) Final report.

#### **Final Results.**

Table 3 shows the meaning of the symbols in the alphanumeric map and their relation to the soil types as verified intensively in the field. (Maps 1-2).

#### **Legend of Soil map.**

For the elaboration of the final legend of the soil map, the existing physiographic units were taken into consideration, because of the close relationship between soil and land form. (See table 4).



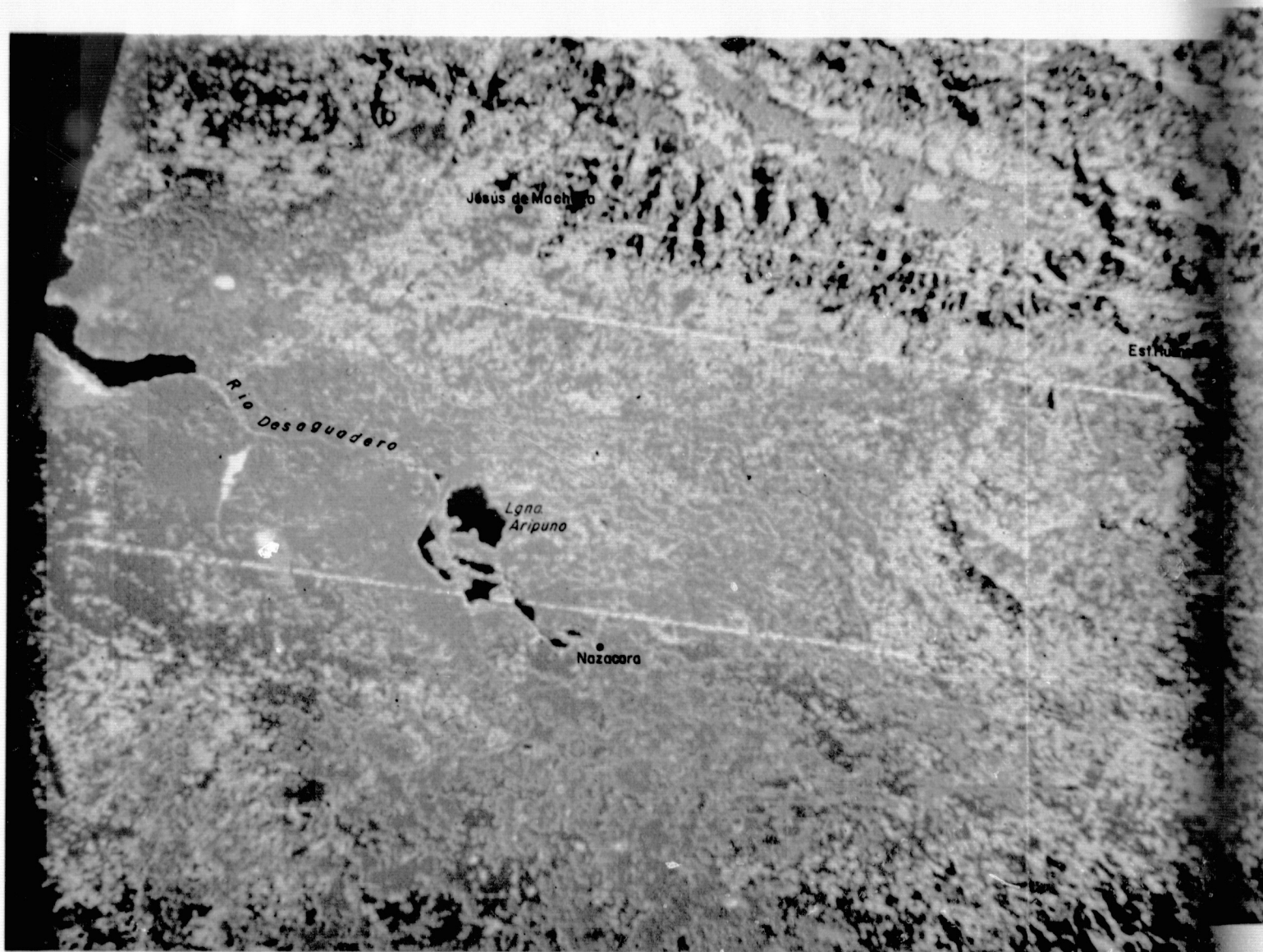


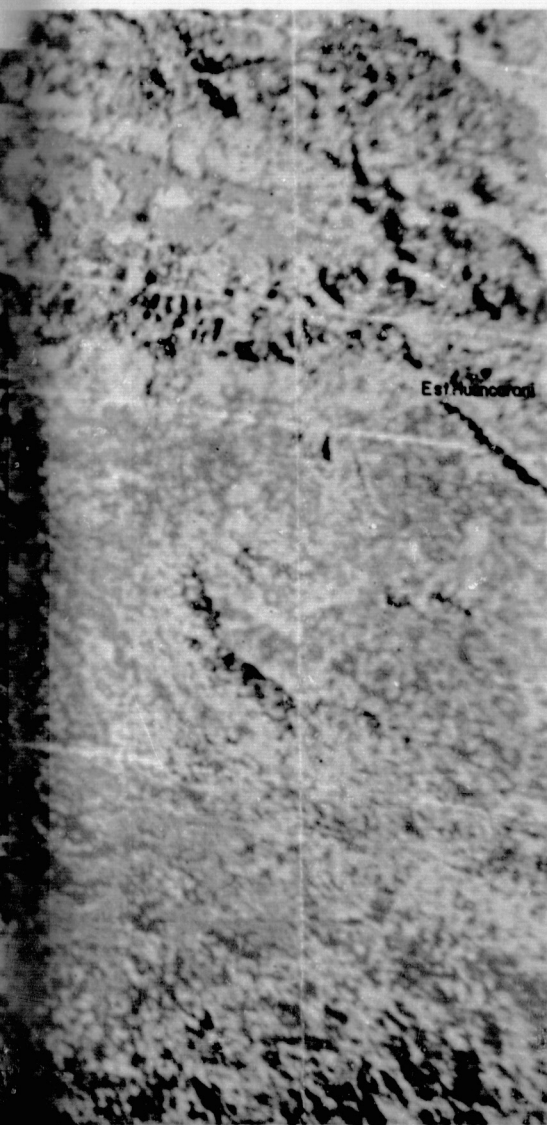
Figura 22

Mapa de clasificacion multiespectral del cuadrángulo de Jesús de Machaca.

Multispectral classification map of the Jesús de Machaca quadrangle.

Fotografía del impreso de clasificación multiespectral a color de un sector del cuadrángulo de Jesús de Machaca.

Photograph of a color-coded alphanumeric classification printout of a portion of the Machaca quadrangle.



Fotografía del impreso de clasificación alfanumérico codificado a color de un sector del cuadrángulo de Jesús de Machaca.

Photograph of a color-coded alphanumeric classification printout of a portion of the Jesús de Machaca quadrangle.

Figura 23



HOA





Mapa de clasificación multispectral del cuadrán-  
gulo de Eucaliptus.

40B

A 11

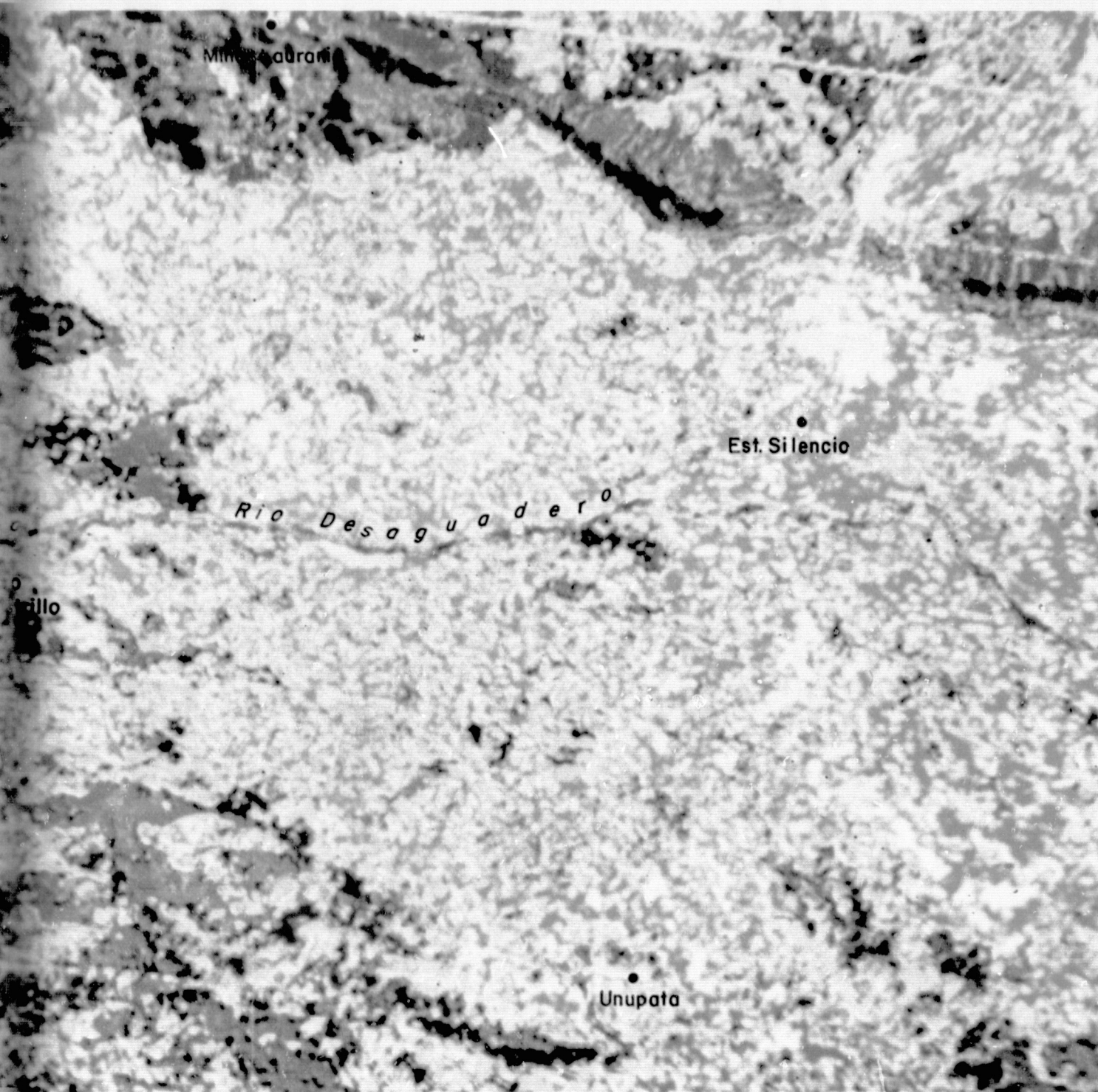


Figura 24

Multispectral classification map of the Eucaliptus quadrangle.



## Clasificación de Suelos.

### Consociación "Huayllamarca".

#### Orden.

Los suelos de la consociación Huayllamarca presentan un bajo desarrollo edáfico. En el perfil se presenta un epipedón ócrico y un horizonte cámbico; el primer identificado por el color claro y bajo contenido de materia orgánica, guardando el color una estricta similitud con el material parental. El segundo horizonte presenta una alteración substancial, en cuanto se refiere a la textura y estructura principalmente categorizado en el orden Inceptisol.

#### Sub Orden.

La presencia del epipedon ócrico fué la característica fundamental para incluir en el suborden de los Ochrepts, mostrando el desarrollo de un subhorizonte textural.

#### Gran grupo y Subgrupo.

El régimen de humedad al que pertenecen estos suelos es el ústico, considerado entre los regímenes arídico y údico; este término implica sequedad y el suelo permanece seco más de 90 días acumulativos al año; condiciones suficientes para incluirlos dentro el gran grupo de los Ustochrepts.

Por otra parte son suelos que tienen gran similitud, dentro de los 50 cm.s. de profundidad con el material parental, no habiendo sufrido el suficiente intemperismo para mostrar diferencia con los horizontes superficiales, estas condiciones indican la presencia de un contacto lítico, clasificándose como Lithic Ustochrepts.

### Consociación "Las Lomas".

#### Orden.

La consociación Las Lomas, presenta un epipedón ócrico muy claro en color, muy alto en pureza (croma) mayor a 5 y muy bajo en materia orgánica, además de ser macizo y duro a la vez en seco; como sub-horizonte presenta un argílico que es un horizonte iluvial en el cual la arcilla ha sido acumulado por traslocación.

Este horizonte se forma debajo de un horizonte eluvial, pero también puede estar en la superficie si un suelo ha sido truncado parcialmente por erosión. Las evidencias de traslocación se han evidenciado por el aumento de arcilla con la profundidad y la presencia de cutanes. Por consiguiente clasificado en el Orden Alfisol.

## Classification of

### Huayllamarca C

#### Order.

A low eda  
An ochric epipa  
is easily identif  
notoriously res  
as far as textur  
ry.

#### Sub - Order.

The presen  
sub order of t  
sub-horizon.

#### Great Group and

The moistu  
the Aridic and  
over a cumulativ  
to enable its inc

On the ot  
parent material  
with the pedon  
indicate there is

### "Las Lomas" Co

#### Order

The "Las L  
purity (chroma)  
masive and ha  
horizon where cl

## **Classification of soils**

### **Huayllamarca Consociation.**

#### **Order.**

A low edaphic development is shown by the Huayllamarca Consociation soils. An ochric epipedon and a Cambic horizon, are shown in the profile; the former is easily identifiable by its high colour and low content of organic matter; the colour notoriously resembling the original material. The latter show a substantial alteration as far as texture and structure is concerned principally within the Inceptisol category.

#### **Sub - Order.**

The presence of the ochric Epipedon was the main reason to include it in the sub order of the Ochrepts, thus showing the development of a textural cambic sub-horizon.

#### **Great Group and Sub-Group.**

The moisture regime to which this soil belongs is the Ustic, considered between the Aridic and Udic regimes; this term implies dryness and the soil remains dry for over a cumulative period of 90 days per annum; these conditions are sufficient so as to enable its inclusion in the Ustochrepts great group.

On the other hand these are very similar soils within 50 cm. depth to their parent material, which have not been weathered enough to show differences with the pedon. These are classified as Lithic Ustochrepts since the conditions indicate there is a lithic contact.

### **"Las Lomas" Consociation .**

#### **Order**

The "Las Lomas" Consociation has a light coloured ochric epipedon of high purity (chroma) above 5 and with a very low content of organic matter ; it is massive and hard when dry. As sub-horizon, it shows an argillic which is an illuvial horizon where clay has accumulated by traslocation.



TABLA No. 3

AGRUPACION DE CLASES ESPECTRALES Y SIMBOLOGIA EN LOS MAPAS FINALES

SIMBOLOS		SIMBOLO EN EL MAPA	CARACTERISTICAS GENERALES DE LOS SUELOS
AREA EUCALIPTUS	AREA HUAYLLAMARCA		
b	b	A1.1	Clase que comprende a suelos extremadamente salinos, siendo estas características limitantes para cualquier cultivo. Solo existe como vegetación natural la Khota ( <i>Azorella</i> spp) que es muy resistente a la salinidad.
		A2.1	Suelos extremadamente salinos que estan sujetos a unidades temporales, causadas por el río Desaguadero y en algunas zonas bajas. En esta área existe la Khota.
	- \$ Z	A1.2	En la llanura corresponde a suelos moderadamente salinos con cobertura de chiji blanco ( <i>Distichlis humilis</i> ) y tola.
		S2.2	En pie de serranía ondulada, corresponde a suelos moderadamente salinos cubiertos de chiji blanco y tola.
I	/ .	A1.3	Suelos ligeramente salinos, ubicados en áreas mejor drenadas con buena cobertura de tola y algunos pastos naturales.
\$ M		Agua	En áreas planas corresponden a las proximidades del río Desaguadero, reflejada así por el sedimento transportado de las serranías y a masas de agua.
0		D	Dunas y arenales cubiertos por escasa vegetación de tola y paja brava.
Z \$ M	OI*	S 1 S 2.1	Areas rocosas sobre todo en la serranía de Huayllamarca y Laurani además de algunos afloramientos rocosos presentes en la llanura.

TABLE 3

GROUPINGS OF SPECTRAL AND SYMBOLS USED IN FINAL MAPS

SYMBOLS		MAP	GENERAL CHARACTERISTICS OF SOILS
AREA EUCALIPTUS	AREA HUAYLLAMARCA		
\$ M		Agua	Desaguadero, reflejada así por el sedimento transportado de las serranías y a masas de agua.

EUCALIPTUS	\$ M	Agua	guadero, reflejada así por el sedimento transportado de las serranías y a masas de agua.
0		D	Dunas y arenales cubiertos por escasa vegetación de tola y paja brava.
Z \$ M	OI*	S 1 S 2.1	Areas rocosas sobre todo en la serranía de Huayllamarca y Laurani además de algunos afloramientos rocosos presentes en la llanura.

TABLE 3

## GROUPINGS OF SPECTRAL AND SYMBOLS USED IN FINAL MAPS

SYMBOLS		MAP SYMBOL	GENERAL CHARACTERISTICS OF SOILS
AREA EUCALIPTUS	AREA HUAYLLAMARCA		
6 —	6 —	A1.1	This class has extremely salty soils. This means limited farming. As natural vegetation there is only Khola (Azorella Spp) which is very resistant to salinity.
		A2.1	Extremely salty soils subject to temporary units caused by the Desaguadero River and in some low areas. Covered by Khola.
	— \$ Z	A1.2	Moderately salty soils in the plains, covered by white "chiji" (Distichlis humilis) and Thola.
		S2. 2	Moderately salty soils on the slopes of undulated mountainous regions covered by white "chiji" and Thola.
I	/ .	A1.3	Slightly salty soils located in areas with better drainage generously covered by Thola and some pasture.
\$M		Agua	In the low lands they are located near the Desaguadero River, it is thus reflected by the sediment carried from the mountainous regions by the flow of water.
0		D	Dunes and Sandy soils poorly covered by Thola and "paja brava".
Z \$ M	OI*	S 1 S2. 1	Rocky areas especially in the mountainous region of Huayllamarca and Laurani. Also some rock outcrops are found in the plains.



### Suborden.

Son alfisoles bajo un régimen de humedad ústico, por mantenerse los suelos secos por más de 90 días acumulativos, siendo este un factor desfavorable al desarrollo vegetativo.

### Gran grupo y Subgrupo.

Los suelos de la consociación Las Lomas están incluidos dentro del gran grupo de los Haplustalfs por presentar las siguientes características:

- Presencia de un horizonte argílico y no poseen horizonte nátrico.
- No tienen un duripan dentro el metro de profundidad.
- No tienen un horizonte petrocálcico dentro los 1.5 mt. de profundidad.

Además de las características anteriores estos suelos, están asociados o tendientes a un régimen de humedad arídico por que presentan propiedades físicas que impide la infiltración del agua; por lo cual se ha clasificado como Aridic Haplustalfs.

### Consociación "Tola Pata".

### Orden.

Pertenecen al orden de los Entisoles, por ser suelos minerales que no tienen otro horizonte diagnóstico fuera de un epipedon ócrico con texturas generalmente arenosas, formadas en pendientes fuertes donde la pérdida de suelos por erosión es mayor que la formación del mismo, o donde la acumulación de los materiales es muy alto como en las llanuras aluviales, dunas, etc.

### Suborden.

Estos suelos corresponden al suborden de los Psamments, que son Entisoles que presentan debajo del horizonte Ah o 25 cm. de profundidad, texturas de arena francosa fina o más gruesa sin presentar rasgos definidos de identificación.

### Gran Grupo y Subgrupo.

Estos suelos al igual que los anteriores, están dentro del régimen ústico categorizado dentro de los Ustipsamments y además por no tener un contacto lítico dentro de 1 mt. conserva las características típicas de los Ustipsamments; por lo cual se lo ha clasificado a nivel de subgrupo como Typic Ustipsamments.

Asociación: Kolla, La Cantera, La Oveja, Chijini.

This horizon at the surface if tene-  
tion phenomena orable  
presence of CUT

### Sub - Order

They are ceto de  
remain dry for a  
vegetative develop

### Great Group and

The "Las L  
Haplustalfs due hidad.

- Presence of
- They lack asociado
- They lack adade

Aridic  
In addition  
tend to have an  
preclude water in

### "Tola Pata" Cons

Order. que n  
general

They belong eros  
lack a diagnostic riales  
res formed in st  
formation; or wh  
plains, dunes, etc

### Sub - Order e son textu

They are Gació  
texture of fine l  
below the Ah hor

### Great Group and el ré

These soils un c  
turn is classified nment  
1 m. they have s-  
been classified in  
Association: Koll

This horizon is formed under an eluvial horizon, however, it can also be found at the surface if a soil has been partially truncated due to erosion. The translocation phenomena have become evident due to the increase of clay with depth and the presence of CUTANES. Hence, it is classified under the Alfisol order.

#### **Sub - Order**

They are considered under a ustic moisture regime due to the fact that the soils remain dry for a cumulative period of over 90 days. Such fact does not favour a vegetative development.

#### **Great Group and Sub - Group**

The "Las Lomas" Consociation soils are included under the great group of the Haplustalfs due to the following characteristics.

- a) Presence of an argillic horizon and lack of a natric horizon.
- b) They lack a duripan within a depth of one meter.
- c) They lack a petrocalcic horizon within a depth of 1.5 m.

In addition to the aforementioned characteristics, these soils are related to or tend to have an Aridic moisture regime since they show physical properties which preclude water infiltration. Hence, they have been classified as Aridic Haplustalfs.

#### **"Tola Pata" Consociation**

##### **Order.**

They belong to the order of the entisols because they are mineral soils which lack a diagnostic horizon other than an ochric epipedon with generally sandy textures formed in steep slopes where the loss of soil due to erosion is higher than its formation; or where accumulation of material is very high as in the case of alluvial plains, dunes, etc.

##### **Sub - Order**

They are clasified under the Psamnents sub-order which are Entisols with a texture of fine loamy sand or coarser with no defined features to identify them below the Ah horizon or at 25 cm. depth.

#### **Great Group and Sub-Group**

These soils are similar to the above; they belong to the ustic regime which in turn is classified under the Ustipsamnents and since they lack a lithic contac within 1 m. they have the typical characteristics of the Ustipsamnents. Hence, these have been classified in the sub-group of the Typic Ustipsamnents.

Association: Kolla, La Cantera, La Oveja, Chijini.



## Orden.

Estos suelos pertenecen al orden de los Aridisoles por estar asociados con climas áridos y semi-áridos, con vegetación desértica o de condiciones edáficas muy secas.

La evapotranspiración es mayor que las precipitaciones sin percolación significativa de agua en los suelos. Los perfiles de los Aridisoles son bien oxidados, los cuales se evidencian por el bajo contenido de materia orgánica y la falta de movimiento de óxidos de hierro libre.

## Suborden.

Tomando en consideración que esta unidad corresponde a una asociación de suelos, es de suponer que corresponden a diferentes subórdenes, de los cuales se consideran las siguientes series:

Las series "Kolla, La Oveja y Chijini, pertenecen al suborden Orthids que son aridisoles que carecen de un horizonte argílico o nátrico a menos que el horizonte este sepultado.

La serie La Cantera pertenece a los aridisoles que tienen un horizonte argílico, por cuya característica está incluida dentro del suborden de los Argids.

## Gran Grupo y Subgrupo.

La serie Kolla tiene un horizonte sálico a un mt. de profundidad característica por la cual se lo ha incluido dentro del gran grupo de los Salorthids y se lo considera como un perfil típico, en consecuencia su clasificación a nivel de subgrupo corresponde a Typic Salorthids.

La serie La Cantera está clasificada como un Typic Haplargids; que representa a un aridisol con un mínimo horizonte argílico (hapl del griego haplous-simple) y es el más típico dentro de este subgrupo.

Las series La Oveja y Chijini, están incluidos dentro del gran grupo de los Camborthids, porque ambos tienen un horizonte cámbico y no poseen horizonte argílico y a nivel del subgrupo los de la serie La Oveja al presentar una ligera cementación por sílice sin llegar a ser un duripan, está clasificado como un Duric Camborthids; y la serie Chijini, se ha considerado dentro del subgrupo de los Vertic, por presentar grietas en la superficie hasta un metro de profundidad, en consecuencia son suelos que estan intergradando el orden de los aridisoles hacia los vertisoles; por lo cual ha clasificado como Vertic Camborthids.

Asociación: Hornillos - La Joya.

## Order

These soils are associated with arid and semiarid climates, with desert vegetation or edaphic conditions too dry.

There is more evapotranspiration than precipitation without significant percolation of water in the soils. The profiles of the Aridisols are well oxidized, which is evidenced by the low content of organic matter and the lack of movement of free iron oxides.

## Sub - Order

If we take into consideration that this unit corresponds to an association of soils, it is reasonable to suppose that they correspond to different suborders, of which the following series are considered:

The series "Kolla, La Oveja and Chijini, belong to the suborder Orthids which are aridisols that lack an argillic or natric horizon unless the horizon is buried. The series La Cantera belongs to the aridisols which have an argillic horizon, and is included within the suborder Argids.

The series Kolla has a salic horizon at a characteristic depth of one meter, for which it is included within the large group of the Salorthids and is considered as a typical profile, in consequence its classification at the subgroup level corresponds to Typic Salorthids. The series La Cantera is classified as a Typic Haplargid; which represents an aridisol with a minimum argillic horizon (hapl from the Greek haplous-simple) and is the most typical within this subgroup. The series La Oveja and Chijini, are included within the large group of the Camborthids, because both have a cambic horizon and do not possess an argillic horizon and at the subgroup level the series La Oveja, in presenting a slight siliceous cementation without reaching the stage of a duripan, is classified as a Duric Camborthid; and the series Chijini, is considered within the subgroup of the Vertics, for presenting cracks on the surface to a depth of one meter, in consequence these are soils which are intergrading the order of the aridisols towards the vertisols; for which it is classified as a Vertic Camborthid.

The series La Oveja and Chijini, are included within the large group of the Camborthids, because both have a cambic horizon and do not possess an argillic horizon and at the subgroup level the series La Oveja, in presenting a slight siliceous cementation without reaching the stage of a duripan, is classified as a Duric Camborthid; and the series Chijini, is considered within the subgroup of the Vertics, for presenting cracks on the surface to a depth of one meter, in consequence these are soils which are intergrading the order of the aridisols towards the vertisols; for which it is classified as a Vertic Camborthid.

## Order

These soils belong to the order of the Aridisols because of their association with arid and semiarid climates with desert vegetation or with edaphic conditions which are too dry.

The evapotranspiration is higher than the precipitation without significant water percolation in the soils. The features of the Aridiols are strongly oxidized and become evident due to their low organic matter content and the lack of free iron oxides movement.

## Sub - Order

If we consider that this unit belongs to a soil association it is assumed that they belong to different sub-orders among which the following series can be considered.

The series Killa, La Oveja and Chijini belong to the order of the Orthids which are aridisols lacking a natric or argillic horizon unless the horizon is below ground.

La Cantera series belongs to the aridisols with an argillic horizon; hence it is included in the Argids sub-order.

## Great Group and sub Group

The Kolla series has a salic horizon of 1m. depth. That is why it has been included within the great group of the Solorthids and is considered a typical feature. Thus it is classified in the sub-order of the Typic Salorthids.

The series La Cantera is classified as a Typic Haplargids which represents an Aridisol with a reduced argillic horizon (Hapl from the Greek haplous-meaning simple) and is the most representative within this sub-group.

The series La Oveja and Chijini are comprised within the great group of the Camborthids since both have a cambic horizon and lack an argillic horizon.

The series La Oveja are also included at a sub-group level under the Duric Camborthids since they show a slight cementation by silica, however without becoming a duripan.

The series Chijini are classified under the Vertic sub-group for their surface cracks down to 1. depth. Therefore these are soils which are gradually changing from the order of the Aridisols to the order of the Vertisols, hence these have been classified as Vertic Camborthids

Association: Hornillos, La Joya.



## Orden.

Estas dos clases de suelos están asociadas bajo el orden de los aridisoles, que al igual que los anteriores suelos, están ubicados bajo climas áridos donde las precipitaciones no pasan de los 400 mm. y las estaciones secas sobrepasan los 8 meses por consiguiente los suelos se conservan secos la mayor parte del año; razones por demás claras para considerarlas dentro este orden.

## Suborden.

Ambos suelos de esta asociación, tienen un horizonte cámbico (del latín cambiare-alteración); que se refiere a un horizonte Bt, no presenta semejanza al material parental, ocurriendo fenómenos de alteración significativas. Por estas razones han sido clasificados bajo el suborden de los Camborthids.

## Gran grupo y Subgrupo.

La serie Hornillos tiene características vérticas, razón por la cual también está intergradando el orden Aridisol, por lo cual se da el nombre de Vertic Camborthids, a nivel de subgrupo.

En cambio, la serie La Joya presenta un horizonte cámbico, régimen de humedad ústico, y características mínimas de desarrollo del suelo, por lo cual está intergradando del orden Entisol hacia Aridisol clasificado como Ustentic Camborthids.

Asociación Tolar A - Tolar B.

## Orden.

En este caso se han asociado dos órdenes de suelos; la serie Tolar A., es considerado como un Aridisol cuyas características son ya bastantes conocidas: La serie Tolar B, está clasificada en el orden de los Inceptisoles ya que estos no tienen características diagnósticas para tomarlos en otros órdenes.

La razón fundamental para asociar a estos dos órdenes es que pertenecen a una misma unidad fisiográfica, presentando características de salinidad casi normales.

## Suborden.

La serie Tolar A, también está clasificada dentro del suborden de los Camborthids cuyas características ya se han mencionado anteriormente.

En cambio la serie Tolar B tiene un Epipedon ócrico razón por la cual se la ha incluido en el subgrupo de los Ochrepts que quiere decir un Inceptisol con epipedon ócrico.

## Order

These two aridisols as the aforementioned exceed 400 mm of precipitation most of the year.

## Sub - Order

Both soils are - change) (de the parent material they have been

## Great Group and

The series change from the Camborthids

On the other and minimal from the Entisols.

Association: T

## Order

Two types of which is considered classified under these characteristics.

The fundamental belong to the same

## Sub - Order

The series characteristics of w

The series or la included under the Ochric epipedon

## Order

These two types of soils are classified under the order of the Aridisols which as the aforementioned soils are located in arid climates where rainfall does not exceed 400 mm. and the dry season lasts over 8 months, thus the soils remain dry most of the year.

## Sub - Order

Both soils under this association have a cambic horizon (from the latin cambiare – change) which is related to a Bt. horizon It does not show any similarity with the parent material, with a significative alteration phenomena taking place. Hence they have been classified under the Camborthids sub-order.

## Great Group and Sub - Group

The series Hornillos has vertic characteristics thus it is gradually undergoing a change from the aridisols to the Vertisols. Hence it is classified under the Vertic Camborthids sub-group.

On the other hand the series La Joya shows a cambic horizon, Ustic moisture regime and minimal soil development characteristics. Therefore it is gradually changing from the Entisol order to the Aridisols. Hence it is classified as Ustentic Camborthids.

Association: Tolar A, Tolar B.

## Order

Two types of soils have been grouped together in this case: Tolar A series which is considered an Aridisol with already know characteristics, and Tolar B series classified under the order of the Inceptisols due to their lack of diagnostical characteristics.

The fundamental reason for grouping together these two orders is that both belong to the same physiographic unit with almost normal salinity characteristics.

## Sub - Order

The series Tolar A is also classified under the Camborthids sub-order, the characteristics of which have been mentioned earlier.

The series Tolar B however, has an ochric epipedon and therefore it has been included under the Ochrepts sub-group which means that it is an Inceptisol with an Ochric epipedon.



### Gran Grupo y Subgrupo.

La serie Tolar A, clasificada en el orden Aridisol, muestra tendencia a presentar grietas por el alto contenido de arcilla, intergradándose por consiguiente corresponden al régimen de humedad ústica, clasificándose como Ustochrepts a nivel de gran grupo. Finalmente la distribución irregular del contenido de materia orgánica en los diferentes horizontes ha dado lugar para clasificar como Fluventic Ustochrepts.

La serie Tolar B., presenta las siguientes características : son Ochrepts que estan secos por 90 días acumulativos o más en la mayoría de los años, por consiguiente corresponden al régimen de humedad ústica, clasificándose como Ustochrepts a nivel de gran grupo. Finalmente la distribución irregular del contenido de materia orgánica en los diferentes horizontes ha dado lugar para clasificar como Fluventic Ustochrepts.

### Consociacion castrillo .

#### Orden.

Estos suelos estan circunscritos a las constantes y recientes inundaciones causadas por el río Desaguadero; son de características arenosas con eflorescencias salinas. La formación de horizontes de suelos es mínima a causa de las frecuentes deposiciones del río, además de estar permanentemente húmedos, siendo clasificados dentro el orden de los entisoles.

#### Suborden.

Corresponden al suborden de los Psamments, que son Entisoles cuyas texturas son livianas a arenosas en toda su profundidad, no presentando otras características de importancia a este nivel.

### Gran Grupo y Subgrupo.

El régimen de humedad al que estan sometidos los suelos de esta consociación es el ácuico, que implica principalmente condiciones de reducción debido a la saturación por agua freática superficial.

La duración del período en el cual el suelo está saturado no se conoce, pero es muy común que el nivel freático fluctúe con las estaciones; donde los niveles altos se presentan en épocas lluviosas y los más bajos durante las estaciones secas. Las condiciones que presentan estos suelos durante la observación del perfil demuestran características típicas para considerarlas como Typic Psammaquents.

### Great Gro

The iden  
to the forguic  
graduallypts  
Cambortheria

Usto  
The series Och  
s, po

The Usto  
de m  
therefore lo F  
group level  
distribution

### Castrillo co

#### Order

mun  
lores  
Thesecu  
Rio Desagio cl  
they are p  
frequent se  
Entisols.

### Sub - Order

They b  
to sandy te  
level.

### Great Group

These se  
tion condit  
es se

The pe den  
level fluctua  
season and  
during the p  
quents.

### **Great Group and Sub - Group**

The series Tolar A classified under the order of the Aridisols shows a tendency to the formation of cracks due to the high content of clay. Therefore this series is gradually changing into Vertisols of Ustic regime, hence it is classified as Ustertic Camborthids.

The series Tolar B has the following characteristics:

They are dry Ochrepts for 90 cumulative days or more most of the years, therefore they are classified under the Ustic moisture regime as Ustochrepts at great group level. Finally they are classified as Fluventic Ustochrepts due to the irregular distribution of the organic matter content in the different horizons.

### **Castrillo consociation.**

#### **Order**

These soils are to be found in the areas where constant floodings caused by the Rio Desaguadero have taken place. They are sandy with some saline efflorescence, they are permanently wet, there is a minimal formation of horizons due to the frequent sedimentation of the river. These soils are classified under the order of the Entisols.

#### **Sub - Order**

They belong to the order of the Psamments which in fact are entisols of a light to sandy texture in all their depth. No other relevant characteristics are found at this level.

### **Great Group and Sub - Group**

These soils are subject to the Aquic moisture regime. It implies mainly reduction conditions due to saturation by superficial freatic water.

The period during which the soils are saturated is not unusual that the freatic level fluctuates with the seasons. The highest levels are registered during the rainy season and the lowest during the dry season. The conditions shown by these soils during the profile observations show the typical characteristics of the Typic Psammaquents.



## CONCLUSIONES

- La aplicación de la clasificación digital en el mapeo de suelos comparados con los métodos tradicionales, permite preparar mapas cualicuantitativos de suelos en lapsos de tiempos reducidos.
- Es posible llegar mediante este procesamiento, a un mapeo de suelos más detallado con relación al sistema de interpretación en imágenes.
- La utilización de las PRINTRESULTS, facilita de gran manera en la elaboración de mapas de suelos.

## RECOMENDACIONES.

- Que para un país en vías de desarrollo de escasa información de sus recursos naturales como Bolivia, los datos LANDSAT son de innegable valor en el estudio y cuantificación de las áreas agrícolas.
- Se recomienda que es necesario realizar verificaciones de campo en dos etapas, una antes de efectuar el procesamiento digital, el cual proporciona los datos requeridos para la computación y otra inmediatamente después de haber obtenido los resultados de clasificación para su respectiva comprobación.
- Es importante que los mapas digitalizados (PRINTRESULTS), sean combinados con los mapas de suelos obtenidos mediante la interpretación visual de imágenes en los que se identifican además unidades fisiográficas que están altamente correlacionadas con las diferentes clases de suelos.
- Es necesario que el analista edafólogo tenga la suficiente capacidad y experiencia, especialmente en la fase de proporcionar los datos a la computadora, lo cual incide lógicamente en la exactitud de los productos requeridos.
- Otros factores que deben tomarse en consideración para el procesamiento digital en levantamientos de suelos son: conocimientos específicos de fotointerpretación, geomorfología de la zona, características edafológicas locales, técnicas sobre percepción remota y las nuevas reglas de clasificación taxonómica de los suelos.

- The application of digital classification methods, altitudinal maps, of time.

- Using this method, a more detailed soil map can be prepared, opposed to the traditional method.

- The use of PRINTRESULTS, facilitates the elaboration of soil maps.

- One of the main advantages of this method is the mapping of agricultural areas, the computerized method.

## RECOMENDACIONES.

- For a developing country such as Bolivia, LANDSAT data is of great value in the study and quantification of agricultural areas. It is recommended that field verifications be carried out in two stages, one before the digital processing, which provides the data required for the computation, and another immediately after the results of the classification have been obtained for their respective verification.

- It is important that the digitalized maps (PRINTRESULTS) be combined with the maps of soils obtained by visual interpretation of images, in which, in addition, physiographic units are identified, which are highly correlated with the different soil classes.

- It is necessary that the edaphologist have the sufficient capacity and experience, especially in the phase of providing the data to the computer, which influences logically in the exactness of the required products.

- Other factors that must be taken into consideration for the digital processing in soil surveys are: specific knowledge of photointerpretation, geomorphology of the area, local edaphological characteristics, techniques on remote perception and the new taxonomic classification rules of the soils.

## CONCLUSIONS

- The application of digital clasification to soil mapping, compared with traditional methods, allows, the preparation of quali-quantitative soil maps in a shorter period of time.
- Using this approach it is possible to obtain a more detailed soil mapping level as opposed to the visual interpretation of images.
- The use of LARSYS PRINTRESULTS helps greatly in the generation of accurate soil maps..
- One of the most important factors to be considered in order to obtain optimum mapping results is to have good knowledge of the study area, to correctly train the computer.

## RECOMENDATIONS

- For a developing country with a lack of information about its natural resources, such as Bolivia, LANDSAT data are valuable for quantitative evaluation of areas of agricultural potential. It is necessary to do field work during two different phases of the study: (1) before the digital processes in order to provide the required information to train the computer, and (2) immediately after the classification results have been obtained by visual interpretation of the LANDSAT images in which physiographic units are identified.
- The soil analyst should have the necessary ability and experience to carry out his work, especially when it comes to feeding the computer since this is important for the accurate outcome of the required products.
- Other factors that should be taken into account for the digital processing of soil mapping are: specific knowledge, skills on photointerpretation, geomorphology of the area, local edafologic characteristics, techniques on remote sensing and the new regulations laid down for the Taxonomic Classification of soils.



TABLA No. 4

## LEYENDA DE MAPA DE SUELOS

G.P.	PAISAJE	UNIDAD FISIOGRAFICA	UNIDAD DE MAPEO	CLASIFICACION TAXONOMICA	SIMBOLOS EN EL MAPA
SERRANIA  S	Serranía de Huayllamarca y Laurani S1	Colinas del terciario sedimentario, formado por areniscas rojas y blanquecinas intercalas con lutitas arenosas. Conglomerados gruesos con estratificaciones de areniscas rojas.	Consociación Huayllamarca	Lithic Ustochrepts	S1  21.474.6 Has.
	Pie de Serranía	Areas fuertemente onduladas S2.1	Consociación: Las Lomas	Aridic Haplustalfs	S2.1 11.832.05 Has.
	S2	Areas ligeramente onduladas S2.2	Consociación Tola Pata	Typic Ustipsaments	S2.2 12.424.6 Has.
LLANURA  LACUSTRE ALUVIAL  A	Llanura Sub	Plano Salino A1.1	Asociación: Kolla La Cantera La Oveja Chijini	Typic Salorthids Typic Haplargids Duric Camborthids Vertic Camborthids	A1.1  51.293.35 Has.
	Reciente	Planos moderadamente salinos A1.2	Asociación: Hornillos La Joya	Vertic Camborthids Ustentic Camborthids	A1.2  53.112.10 Has.
	A1	Conexos Escasamente Salinos a normales A1.3	Asociación: Tolar A Tolar B	Ustertic Camborthids Ustentic Camborthids	A1.3 64.742.55 Has.
	Llanura Reciente A2	Planos Salinos A2.1	Consociación Castrillo	Typic Psammaquents	A2.2 957.05 Has.

TABLE 4.

## LEGEND OF SOILS MAP

GREAT	LANDS	PHYSIOGRAPHIC UNIT	MAPPING	
-------	-------	--------------------	---------	--

A	A1	Conexos Escasamente Salinos a normales A1.3	Asociación: Tolar A Tolar B	Ustertic Camborthids Ustentic Camborthids	A1.3 64.742.55 Has.
	Llanura Reciente A2	Planos Salinos A2.1	Consociación Castrillo	Typic Psammaquents	A2.2 957.05 Has.

TABLE 4.

LEGEND OF SOILS MAP

GREAT LANDSCAPE	LANDS CAPE	PHYSIOGRAPHIC UNIT	MAPPING		
HILLS "S"	Huayllamarca and Laurani Hills S 1	Sedimentary hills composed of red an white sandstones interbedded with sandy shales and coarse conglomerates with red stratified sandstones.	Huayllamarca Consociation	Lithic Ustochrepts	S 1 21.474,6 Ha
	Foot slope S 2	Strongly ondulated areas S2. 1	Las Lomas Consociation	Aridic HaplustalFs	S2. 1 11.832,05 Has
		Slightly ondulated areas S2. 2	Tola Pata Consociation	Typic Ustipsamments	S2. 2 12.424,6 Has
ALLUVIAL LACUSTRIAN A	Sub-Recent Plain A 1	Saline plains A1. 1	Kolla La Cantera La Oveja Chijini Association	Typic Salorthids Typic Haplargids Duric Camborthids Vertic Camborthids	A1. 1 51.293,35 Has
		Moderately saline plains A1. 2	Hornillos La Joya Association	Vertic Camborthids Ustentic Camborthids	A1. 2 53.112,10 Has.
		Scarcely saline plains A1. 3	Tolar A Tolar B	Ustertic Camborthids Fluventic Ustochrepts	A1. 3 64.742,55 Has.
	Recent Plain	Saline plains. A2. 1	Castrillo Consociation	Typic Psammaquents	A2. 2 957,05 Has.



# APLICACIONES EN EL MAPEO DE USO ACTUAL DE LA TIERRA

## Generalidades.

El presente estudio, es el resultado de la primera experiencia encaminada a determinar la utilidad del sistema de análisis por computación para el mapeo de las unidades de Uso Actual de la Tierra. Convenientemente aplicada, permite obtener información que a través de los métodos convencionales de interpretación resultan imposibles de realizar.

## Objetivos.

Se trata de establecer la utilidad del uso de las técnicas de análisis en computadoras, para realizar mapas de Uso Actual de la Tierra a nivel III. Con este fin se utilizó la clasificación digital y los mapas de suelos codificados a color de los cuadrángulos de Huayllamarca y Eucaliptus (Figura 21 y 24 respectivamente).

## Resultados.

Cuadrángulo de Huayllamarca (Sector Este Figura No. 21).

Se observa la siguiente relación de las clases espectrales codificadas a color con unidades de Uso Actual de la Tierra.

Realizando un análisis en los dos cuadrángulos, se observa la relación existente entre el mapa codificado a color y las unidades de Uso Actual de la Tierra, habiéndose identificado cinco unidades para el cuadrángulo de Huayllamarca y seis para Eucaliptus; existiendo además unidades mixtas (113-311), (63-113), en ambos cuadrángulos.

## Metodología de trabajo.

La metodología aplicada en el presente estudio de Uso Actual de la Tierra, se basó en tres fases fundamentales que son las siguientes:

- La primera fase se abocó a la agrupación de símbolos en los mapas alfanuméricos, que constituyen los parámetros de cada unidad de Uso Actual de la Tierra, tomándose en cuenta como unidad mínima de mapeo cinco elementos de resolución (5 pixel — 2.5 hectáreas) aproximadamente.

# APPLIC

## General.

The present computer analysis was carried out to determine the utility of the system of analysis for mapping the actual use of the land.

Such a system could not be obtained by conventional methods of interpretation.

## Objectives

The attention was directed to establishing the utility of the use of the techniques of analysis in computers, for making maps of actual use of the land at level III. For this purpose the digital classification and the maps of soils coded by color of the quadrangles of Huayllamarca and Eucaliptus (Figures 21 and 24 respectively) were used.

## Results

In the Huayllamarca quadrangle (Sector Este Figure No. 21) the following relationship of the spectral classes coded by color with actual use of the land was observed in Table I.

Relations observed in Table I.

In analyzing the maps and the types of land use in the Huayllamarca and Eucaliptus quadrangles there are mixed units (113-311), (63-113).

## Methodology

The methodology applied in the present study of actual use of the land, was based on three fundamental phases, as follows:

- 1.- In the first phase the symbols in the alphanumeric maps, which constitute the parameters of each unit of actual use of the land, were grouped, taking into account as minimum mapping unit five elements of resolution (5 pixels, which is 2.5 hectares) approximately.

## APPLICATIONS IN THE MAPPING OF ACTUAL LAND USE

**General.**

The present study is the result of the first attempt to determine the utility of a computer analysis system for mapping units of actual land use.

Such a system, judiciously applied, permits information to be obtained that could not be gotten by conventional methods of interpretation.

**Objectives**

The attempt is made to establish the utility of the techniques of computer analysis for making maps of actual land use at level III. For this purpose, the digital classification and soils maps coded in color, of the Huayllamarca and Eucaliptus quadrangles have been used (Fig. 21 and 24, respectively).

**Results**

Huayllamarca quadrangle (eastern sector of Fig. 21).

Relations between spectral classes coded in color and land use types can be observed in Table 5.

Eucaliptus quadrangle (western sector of Fig. 24).

Relations between spectral classes coded in color and land use types can be observed in Table 6.

In analyzing the two quadrangle, the relation between the maps coded in color and the types of land use can be observed. Five distinct types have been identified in the Huayllamarca quadrangle and six on the Eucaliptus quadrangle in addition there are mixed types (such as 113-311 and 63-113) on both quadrangles.

**Methodology**

The methodology applied in the present study was carried out in three fundamental phases, as follows:

- 1.- In the first phase the alphanumeric symbols on the maps, were brought together into groups which formed the parameters of each type of land use, taking into account as minimum mapping units five image resolution elements (five pixels, which equal approximately 2.5 hectares).



- Durante la segunda fase, se realizó la reducción del mapa anteriormente indicado de la escala 1:25.000 a 1:50.000, con el objeto de obtener la posición a la misma escala con las cartas topográficas existentes a fin de lograr una perfecta ubicación cartográfica para las verificaciones de campo.
- La tercera fase, consistió en efectuar la comprobación de campo de las unidades de Uso Actual de la Tierra en zonas representativas, trabajo que permitió relacionar las características de cada unidad con los tipos de suelos; habiéndose obtenido de esta manera un concepto cabal para cada unidad dentro del área de estudio.

### Resultados finales.

La Tabla No. 7 presenta la relación de símbolos del mapa alfanumérico con tipos de suelos y unidades de Uso Actual de la Tierra.

2.- During the second phase, the map previously indicated was reduced from the scale 1:25,000 to 1:50,000, with the object of obtaining the position at the same scale with the topographic maps existing in order to achieve a perfect cartographic location for the field verifications.

3.- The third phase, consisted in carrying out the field verification of the units of Actual Use of the Land in representative zones, work that allowed relating the characteristics of each unit with the types of soils; having been obtained in this way a clear concept for each unit within the study area.

In this way, the study

Final Results

Table No. 7 presents the relationship of symbols of the alphanumeric map with types of soils and units of Actual Use of the Land.

- 2.- During the second phase, the maps prepared in phase 1 were reduced from a scale of 1:25.000 to 1:50.000, so that they were at the same scale as the available topographic maps and thereby determined accurate cartographic locations for verification in the field.
- 3.- The third phase consisted of making the field checks of the land use types in representative zones, a task that permitted the characteristics of each land use unit to be related to soil types.

In this way a precise concept of this relationship for each land use unit within the study areas was obtained.

### **Final Results.**

Table 7 present the relations between the alphanumeric soil type symbols of the maps with units of land use.



TABLA No. 5

CODIGO DE COLOR	SIMBOLO	UNIDADES DE USO ACTUAL DE LA TIERRA
Blanco	65	Tierras Salinas
Gris claro	65	Tierras Salinas
Rosado	113	Pastizales de altura secos.
Celeste en llanura	114	Pastizales de altura secos, afectados por salinidad
Celeste en pie de serranías	113	Pastizales de altura secos.
Verde	113-311	Pastizales de altura secos y áreas con una cosecha anual.
Amarillo y café rojizo en serranías	113-63	Pastizales de altura secos y afloramientos rocosos.
Amarillo en llanura	113	Pastizales de altura secos.
Azul en serranías	63-113	Afloramientos rocosos y pastizales de altura.

TABLA No. 6

Cuadrángulo de Eucaliptus (Sector Oeste figura No. 24)

CODIGO DE COLOR	SIMBOLO	UNIDADES DE USO ACTUAL DE LA TIERRA
Blanco	65	Tierras salinas
Amarillo en llanura	113	Pastizales de altura secos
Amarillo en pie de serranías	113-311	Pastizales de altura secos y áreas de una cosecha anual.
Celeste	114	Pastizales de altura secos afectados por salinidad.
Verde	113-311	Pastizales de altura secos y áreas con una cosecha anual.
Café rojizo en llanura	62	Dunas y arenales.
Café rojizo en serranía	113	Pastizales de altura secos.
Azul claro y café rojizo en serranía	63-113	Afloramientos rocosos y pastizales de altura.
Azul oscuro en serranía	63	Afloramientos rocosos.
Azul oscuro en llanura	531	Ríos.

TABLE 5

## COLOR CODE

White	SO ACTU
Light grey	RA
Rose	
Sky blue (in plain)	
Sky blue (at the)	secos.
Green	secos, a
Yellow and redd	secos.
(in mountain are)	ra secos
Yellow (on plain)	secha an
Blue (in mounta)	secos.
	secos.
Eucaliptus quad	secos y pa
Relations betwe	
observed in Ta	

TABLE 6

## COLOR CODE

White	SO ACTU
Yellow (on plain)	RA
Yellow (at the f)	
	secos
Sky blue	ra secos
	na anual.
Green	secos af
Reddish brown	ra secos
Reddish brown	echa an
Light blue and	secos.
brown (in mou)	secos y pa
Dark blue (in m	
areas)	
Dark blue (on)	secos.

TABLE 5

COLOR CODE	LAND USE TYPES	
	SYMBOL	DESCRIPTION
White	65	Saline lands.
Light grey	65	Saline lands.
Rose	113	High dry grazing lands.
Sky blue (in plains)	114	High dry grazing lands. affected by salinity.
Sky blue (at the foot of mountains)	113	High dry grazing lands.
Green	113-311	High dry grazing lands with some areas of annual crops.
Yellow and reddish brown (in mountain areas)	113-63	High dry grazing lands some sparsely vegetated and rocky areas
Yellow (on plains)	113	High dry grazing lands.
Blue (in mountain areas)	63-113	Rocky sparsely vegetated areas with some high grazing lands.

Eucaliptus quadrangle (westerns sector of Fig. 24).

Relations between spectral classes color codes and land use types can be observed in Table 6.

TABLE 6

COLOR CODE	LAND USE TYPES	
	SYMBOL	DESCRIPTION
White	65	Saline lands.
Yellow (on plains)	113	High dry grazing lands.
Yellow (at the foot of mountains)	113-311	High dry grazing lands with some areas of annual crops.
Sky blue	114	High dry grazing lands affected by salinity.
Green	113-311	High dry grazing lands with some areas of annual crops.
Reddish brown (on plains)	62	Dunes and other land deposits.
Reddish brown (in mountain areas)	113	High dry grazing lands.
Light blue and reddish brown (in mountain areas)	63-113	Sparsely vegetated rocky areas with some high grazing lands.
Dark blue (in mountain areas)	63	Sparsely vegetated rocky areas
Dark blue (on plains)	531	Rivers



RELACION ENTRE SIMBOLOS ALFANUMERICOS DE TIPOS DE SUELOS Y UNIDADES  
TABLA No. 7 USO ACTUAL DE LA TIERRA

SIMBOLO MAPA ALFANUMERICO		SIMBOLO EN EL MAPA DE SUELOS	TIPOS DE SUELOS	SIMBOLO MAPA USO ACTUAL DE LA TIERRA	UNIDADES DE USO ACTUAL DE LA TIERRA
EUCALIP-TOS	HUAYLLA-MARCA				
b	b	A 1.1	Suelos extremadamente salinos en llanuras subreciente	65	Tierras salinas
		A 2.1	Suelos extremadamente salinos en llanura reciente	65	Tierras Salinas
	- \$ Z	A 1.2	Suelos planos moderadamente salinos en llanura reciente subreciente.	114	Pastizales de altura secos efectuados por salinidad.
		S 2.2	Suelos ligeramente ondulados en pie de serranía.	113-311	Pastizales de altura secos y áreas con una cosecha anual.
I	/ .	A 1.3	Suelos ligeramente salinos en llanura subreciente	113	Pastizales de altura de secos.
\$ M		Agua		531 532	Rios permanentes. Rios temporales.
0		D	Dunas	62	Dunas y arenales
Z\$M	OI*	S 1	Serranías	63	Afloramientos rocosas
		S 2.1	Suelos fuertemente ondulados en pie de serranía	113-311	Pastizales de altura secos y áreas con una cosecha anual.

RELATION BETWEEN THE ALPHANUMERIC SYMBOLS OF SOILS TYPES AND TYPES OF LAND USE  
TABLE 7

ALPHANUMERIC		SYMBOL ON	SYMBOL ON	Rios permanentes. Rios temporales.
\$ M				
0		D	Dunas	62 Dunas y arenales

ALPHANUMERIC \$ M		Agua		SYMBOL ON 532	Rios permanentes. Rios temporales.
0		D	Dunas	62	Dunas y arenales
Z\$M	0I*	S 1 S 2.1	Serranías Suelos fuertemente ondulados en pie de serranía	63 113-311	Afloramientos rocosas Pastizales de altura secos y áreas con una cosecha anual.

RELATION BETWEEN THE ALPHANUMERIC SYMBOLS OF SOILS TYPES AND TYPES OF LAND USE

TABLE 7

ALPHANUMERIC MAP SYMBOL		SYMBOL ON THE SOIL MAP	SOIL TYPES	SYMBOL ON THE LAND USE MAP	LAND USE TYPE
EUCALIP- TUS	HUAYLLA- MARCA				
b	b	A 1.1	Extremely saline soils on older plains	65	Saline lands.
		A 2.1	Extremely saline soils on recent plains	65	Saline lands
..	- \$ Z	A. 1.2	Moderately saline soils on older plains	114	High dry grazing lands affected by salinity.
		S 2.2	Slightly undulating soils at the foot of mountains	113-311	High dry grazing lands and areas of annual crops
I	/	A 1.3	Slightly saline soils on older plains	113	High dry grazing lands.
S m		Water		531 532	Permanente streams. Intermittent streams.
0		D	Dunes	62	Dunes and sandy areas.
Z\$M	0 I -	S 1	Mountainous Areas	63	Sparsely vegetated rocky areas.
		S 2.1	Strongly undulating	113-311	High dry grazing lands and areas of annual crops.



## Desarrollo de la Leyenda de Uso Actual de la Tierra.

La Leyenda desarrollada en el presente estudio, se basa en el trabajo realizado por James R. Anderson, del Servicio Geológico de los Estados Unidos, siendo aplicable en sus niveles más generalizados (Nivel I y II) en Bolivia.

La leyenda consta de 9 unidades básicas de clasificación de Uso Actual de la Tierra, que se enumeran a continuación:

1. Tierras con pastizales
2. Tierras con bosque
3. Tierras cultivadas
4. Tierras húmedas
5. Agua
6. Tierras eriales,
7. Nieve y hielo permanente
8. Tundra
9. Area urbana

## Descripción de las Unidades de Uso Actual de la Tierra

La Cobertura y Uso de la Tierra en los cuadrángulos de Eucaliptus y Huayllamarca se halla formada por las siguientes unidades

### 1 Tierras con pastizales - Nivel I

Areas donde predominan la vegetación natural compuesta por gramíneas y otras especies forrajeras; su clasificación está de acuerdo a la altitud con respecto al nivel del mar.

#### 1 1 Pastizales de altura - Nivel II

Desarrolladas a más de 3.800 m.s.n.m., dentro la cuenca endorreica del Altiplano, su subdivisión se debe a las condiciones de humedad edáficas.

#### 1 1 3 Pastizales de altura secos - Nivel III

Para la mejor comprensión en la descripción de esta unidad, se tomó en cuenta características climáticas, fisiográficas, edáficas y geológicas bien definidas.

## Development of

The legend developed in the present study, is based on the work of James R. Anderson of the Geological Service of the United States, being applicable in its most generalized levels (Level I and II) in Bolivia.

The legend follows:

1. Grazing lands
2. Forest
3. Cultivated
4. Wet
5. Water
6. Barren
7. Permanent snow and ice
8. Tundra
9. Urban

## Description of the

The land cover and use in the quadrangles of Eucaliptus and Huayllamarca is composed of the following units

### I. Grazing lands

Areas where natural vegetation predominates, composed of grasses and other forage species; its classification is according to the altitude with respect to sea level.

#### 11. High altitude pastures

Developed at more than 3,800 m.s.n.m., within the endorheic basin of the Altiplano, its subdivision is due to edaphic humidity conditions.

#### 113. High dry grasslands

For a better understanding in the description of this unit, well-defined climatic, physiographic, edaphic and geological characteristics were included.

## **Development of the actual land use legend**

The legend developed in the present study is based on the work done by James R. Anderson of the U.S. Geological Survey, and others, and is being applied in its most generalized levels (Levels I and II) and occasionally in more detail (Level III), in Bolivia.

The legend consists of nine basic classification types of actual land use, as follows:

1. Grazing lands.
2. Forest lands.
3. Cultivated lands.
4. Wet lands.
5. Water.
6. Barren lands.
7. Permanent ice and snow.
8. Tundra.
9. Urban areas.

## **Description of the Actual Land Use Types.**

The land cover and land use in the Eucaliptus and Huayllamarca quadrangles is composed of the following types:

### **I. Grazing lands - Level I.**

Areas where the dominant natural vegetation is composed of gramineous and other forage species.

Its classification is in accord with its altitude above sea level.

### **II. High altitude grazing lands - Level II.**

Found at more than 3,800 meters above sea level in the basin of interior drainage of the Altiplano; its subdivision is due to conditions of soil moisture.

### **III. High dry grazing lands. Level III.**

For a better understanding of the description of this type unit, consideration of well-defined climatic, physiographic, edaphic, and geological characteristics, were included.



Estos pastizales se hallan desarrollados en una topografía plana a ligeramente ondulada, formada sobre sedimentos cuaternarios y terciarios. El clima es frío semiseco, los parámetros que lo determinan están dados por una precipitación anual menor de 400 mm., la temperatura media anual es de 10°C y alturas comprendidas entre 3.810 a 4.000 m.s.n.m. Los suelos son poco desarrollados, textura areno-arcillosa, corresponden al orden de los Aridisoles e Inceptisoles.

La vegetación presenta asociaciones naturales de Thola (*Lepidophyllum quadrangulare*), variedades de Festuca (paja brava) y otras especies arbustivas de bajo porte.

La falta de orientación en el uso adecuado de estos pastos naturales, facilita la acción erosiva del viento y aguas pluviales, que dan lugar a la formación de cárcavas.

Estos suelos presentan limitaciones para la agricultura a causa de las heladas que azotan las partes planas y bajas con cultivos de papa amarga, cebada quínu, etc.

#### 114 Pastizales de altura afectados por salinidad - Nivel III

Estos pastizales ocupan áreas planas a ligeramente cóncavas, con salinidad visible superficialmente.

Los suelos son en general de escaso desarrollo, mal drenados, moderadamente salinos y de textura arcillo-arenosa, corresponden al orden de los Aridisoles con características de Vertisoles y Entisoles integrando a Aridisoles.

La vegetación desarrollada se halla constituida por comunidades vegetales de aspecto almohadillado, yareta (*Azorella Glabra*) intercalada con asociaciones naturales en menor densidad que la unidad anterior de Thola (*Lepidophyllum quadrangulare*).

Estos pastos son escasamente aprovechados en pastoreo por el ganado ovino, por lo que constituye la única actividad desarrollada en esta unidad.

#### 113-311 Pastizales de altura secos intercalados con áreas de una cosecha anual.

Se desarrollan en áreas con una topografía ondulada, con limitaciones para el desarrollo de la agricultura donde existen bajas temperaturas, pedregosidad, pendientes (20°-40 %) y la intensa erosión debido al sobre pastoreo.

grafía plana a ligera-  
rios y terciarios. El  
nan están dados por  
ratura media anual es  
m.s.n.m. Los suelos  
ponden al orden de

la (*Lepidophyllum*  
tras especies arbusti-

os pastos naturales,  
que dan lugar a la

a causa de las hela-  
os de papa amarga,

cavas, con salinidad

enados, moderada-  
den al orden de los  
integrando a Aridi-

comunidades vegetales  
mercalada con asocia-  
anterior de Thola

oreo por el ganado  
olla en esta unidad.

cosecha anual.

on limitaciones para  
eraturas, pedregosi-  
bido al sobre pasto-

These grazing lands are found developed on a flat to slightly undulating topography, formed on tertiary and quaternary sediments. The climate is semiarid and cold, the annual precipitation averaging less than 400 mm. and the average annual temperature less than 10°C. Altitudes are between 3,810 and 4,000 meters. The soils are poorly developed and their texture is sandy clay, corresponding to the orders of Aridisols and Inceptisols.

The vegetation consists of natural associations of thola (*Lepidophyllum quadrangulare*), varieties of festuce (straw), and other low strubby species.

The poor patterns of use these natural pastures accentuates the erosive action of wind and water, which result in the creation of gullies and badlands.

These soils are of limited agricultural use because of the frosts that hit the flat and low areas where small fields of potatoes, barley, quinoa, etc. are grown.

#### 114. High grazing lands affected by salinity - Level III.

These grazing lands cover lands that range from flat to broad shallow basins, with superficially visible salinity.

The soils are in general poorly developed, poorly drained. Moderately saline, and have a clayey-sandy texture, corresponding to the order or Aridisols, with added characteristics of vertisols and entisols.

The natural vegetation is composed of cushiony-looking plant communities, yareta (*Azorella Glabra*) interspersed with natural associations of less density of thola (*lepidophyllum quadrangulare*).

These pastures are sparsely used for grazing sheep, which is the only activity on this land cover type.

#### 113-311. High dry grazing lands interspersed with areas of annual crops.

This mixed type is developed in areas with an undulating topography, with agricultural development limits where there are low temperatures, stoniness, steep slopes (20-40 %) and intense erosion due to overgrazing.



Los productos agrícolas que tienen mayor ocurrencia en esta unidad, están representados por gran variedad de especies de papa, cebada, quínua, trigo, avena, oca, papaliza, etc.

El problema ocasionado por la falta de una adecuada dirección técnica sobre uso y manejo de suelos, hace que en estas áreas se realicen las prácticas de rotación de tierras.

## 5. Agua - Nivel I.

Ocupan extensiones reducidas, en esta categoría se incluyen lagos, lagunas, ríos y reservorios.

### 53 Ríos - Nivel II

Los principales ríos existentes en la zona son los ríos Desaguadero y Chuquichambi, que constituyen parte de la cuenca endorreica del Altiplano. Las subcategorías al nivel III incluyen ríos permanentes (531) y ríos temporales (532).

## 6. Tierras Eriales - Nivel I.

Son tierras no aptas para la agricultura, cubiertas algunas veces con pocas especies nativas. Las subcategorías al nivel II incluyen:

### 62 Arenales - Nivel II

#### A-621 Playas y otros arenales planos - Nivel III

Áreas cubiertas de arena, localizados en las cercanías de los ríos intermitentes de la llanura aluvial subcreciente.

#### B-62 Dunas - Nivel III

Se hallan ubicadas localmente cerca del río Desaguadero; en general son dunas jóvenes con escasa vegetación de asociación de Thola (*Lepidophyllum quadrangulare*).

### 63-113 Zonas Rocosas y Pastizales de altura secos - Nivel II y III.

Esta unidad se caracteriza por su posición elevada y topografía abrupta, intercalados con pastizales de altura secos.

Las principales limitaciones para la agricultura constituyen el clima, pendientes abruptas y pedregosidad.

The ad, es  
a gua, tri  
papa

The tée  
in a lícen

## 5. Water - Le

Water occ  
and reserv

### 53 Rivers

The princ  
are part of

The subca Chu  
streams (5 Las

## 6. Barren Lands (5

These are  
few native  
The subcat con P

### 62 Sandy

#### 621, Playa

Areas cover  
subrecent mit

#### 622. Dunes

They are f  
dunes with son  
drandulare llum

### 63-113 Rocky

This unit is  
with high d upta

The princip  
ness. ppend

The agricultural products which are found most often in this type include a great variety of species of potatoes, barley, quinoa, wheat, rye, oca, papaliza, etc.

The lack of adequate technical direction in land use in these areas results in a destructive practice of field rotation.

5. Water - Level I.

Water occupies a reduced extent in this area, and includes lakes, ponds, rivers, and reservoirs.

5.3 Rivers - Level II.

The principal rivers in this zone are the Desaguadero and Chuquichambi, which are part of the interior drainage basin of the Altiplano.

The subcategories at level III include permanent streams (531) and intermittent streams (532).

6. Barren Lands - Level I.

These are lands not suitable for agriculture. Sometimes they are covered with few native species of vegetation.

The subcategories at level II include:

62 Sandy Areas - Level II.

621, Playas and other flat sandy areas - Level III

Areas covered with sand, localized in the vicinity of intermittent streams on the subrecent alluvial plains.

622. Dunes - Level III.

They are found locally near the Desaguadero River. In general they are young dunes with a sparse vegetation of associations of thola (*Lepidophyllum quadrangulare*).

63-113 Rocky zones with high dry grazing lands - Level II and III.

This unit is characterized by its high altitude and steep topography, interspersed with high dry pastures.

The principal limitations to agriculture are the climate, steep slopes, and stoniness.



La principal actividad de esta unidad es el pastoreo extensivo de ovinos o auquénidos, además de la extracción de rocas.

#### 65. Tierras Salinas - Nivel II

Se presentan en áreas planas a ligeramente cóncavas de la llanura, formando en la superficie acumulaciones de sales minerales con comunidades vegetales en menor densidad de Khota (Azorella spp), que es muy resistente a la salinidad.

#### 9. Areas Urbanas - Nivel I.

Fueron identificadas en base a los mapas topográficos del Instituto Geográfico Militar (I.G.M.) en escala 1:50.000, que fué imposible identificar en el mapeo digital, debido a que estas áreas urbanas son pequeñas comunidades.

Las subcategorías al nivel I: incluye, ciudad (91) y pueblo (92).

The principal  
sheep an

65. Sal  
as de  
on co  
They are  
accumu  
of Khot

9. Urban A  
del In  
They wear  
Geográfico M  
digital (comp  
subcategorías

extensivo de ovinos o

The principal activities in this type of land cover are the extensive grazing of sheep and llamas and the quarrying of rock.

#### 65. Saline lands - Level II.

as de la llanura, forman-  
on comunidades vegeta-  
es muy resistente a la

They are found in flat lands or broad shallow basins of the plains Forming accumulations of mineral salts on the surface. Low density plant communities of Khota (Azorella app), which is very resistant to salinity are found.

#### 9. Urban Areas - Level I.

del Instituto Geográfico  
vear en el mapeo digital,

They were identified on the basis of the topographic maps of the Instituto Geográfico Militar (IGM), scale 1:50.000. They were impossible to identify on the digital (computer-prepared) map, because these areas are very small settlements. The subcategories at Level I include city (91) and town (92).



## CONCLUSIONES

Se ha llegado a las siguientes conclusiones generales y específicas que tienen incidencia en los estudios de Uso Actual de la Tierra.

- La aplicación de la clasificación digital para el mapeo de Uso Actual de la Tierra, permite la separación de unidades a niveles más específicos, (Nivel III) en lapsos de tiempo menor.
- Una correcta clasificación de datos en la computadora, incide en forma positiva en la exactitud de los productos finales.
- La comparación de unidades de Uso Actual de la Tierra, con tipos de suelos y los colores del mapa codificado guardan estrecha relación.
- Los tipos de suelo en relación con la cobertura y uso de la tierra demuestran que el elemento vegetación, es un factor positivo para la clasificación de suelos.
- Las agrupaciones de las unidades de resolución (pixels), permiten realizar estudios de Uso Actual de la Tierra a diferentes niveles, constituyendo además parámetros para clasificación de suelos.

## RECOMENDACIONES.

Selección de áreas más representativas en el campo antes de la realización del procesamiento digital, para una mayor exactitud en los productos finales.

Conformar equipos multidisciplinarios que efectúen estudios integrados de mayor detalle, aplicando las técnicas de computación electrónica.

Realizar una evaluación de esta moderna metodología, con los sistemas tradicionales de interpretación visual de imágenes.

The following conclusions related to the specific

- The application of digital classification for the mapping of Actual Use of the Land, allows the separation of units to more specific levels, (Level III) in shorter periods of time.
- A correct classification of data in the computer, has a positive effect on the accuracy of the final products.
- Comparison of units of Actual Use of the Land, with soil types and the coded colors of the map maintain a close relationship.
- Soil types in relation to land cover and use of the land demonstrate that the vegetation element is a positive factor for soil classification.
- The grouping of the resolution units (pixels), allows the study of Actual Use of the Land at different levels, constituting parameters for soil classification.

## RECOMMENDATIONS

Select more representative areas in the field before the realization of the digital processing, for a greater accuracy in the final products.

Form multidisciplinary teams that carry out integrated studies of greater detail, applying electronic computing techniques.

Form multidisciplinary teams that carry out integrated studies of greater detail, applying electronic computing techniques.

Make an evaluation of this modern methodology, with traditional systems of visual interpretation of images.

## CONCLUSIONS

The following general and specific conclusions have been reached; they are related to the studies of actual land use.

- The application of digital classification for mapping land use permits the separation of units at more specific levels (Level III) in less time.
- A correct classification of data in the computer has a positive effect on the accuracy of the final products.
- Comparison of land use units with types of soils as represented by the colors of the coded map show a close relation.
- Soils types in relation to land cover and land use demonstrate that vegetation is a positive factor in soils classification.
- The groupings of image resolution elements (pixels) permit studies of land use at made at different levels, thereby forming parameters for the classification of soils.

## RECOMMENDATIONS

Select more representative areas in the field before digital computer processing is carried out in order to have more precision in the final products.

Form multidisciplinary teams that can make more detailed integrated studies, applying electronic computer techniques.

Make an evaluation of this modern methodology in comparison with the traditional system of visual image interpretation.



## DEFINICIONES DE LA LEYENDA DE COBERTURA

### Y USO ACTUAL DE LA TIERRA

~~FOLIO 11~~ /

#### 1.- Tierras con Pastos y Arbustos

Areas naturales o influenciadas por el hombre, donde predominan gramíneas y otras especies herbáceas forrajeras, incluye los pastizales de tierras altas (Altiplano), tierras de alturas intermedias y tierras bajas (sabanas y praderas).

#### 2.- TIERRAS CON BOSQUES

Tierras cubiertas con bosques naturales y/o artificiales, que proporcionan productos forestales y que cumplen funciones intangibles para la conservación, investigación y protección del medio ambiente.

#### 3.- TIERRAS CULTIVADAS

Areas comunmente empleadas en agricultura, incluye cultivos, plantaciones, huertas, tierras en descanso y/o barbecho.

#### 4.- TIERRAS HUMEDAS Y ANEGADAS

Comprenden áreas húmedas y/o cubiertas por agua temporal o permanente con deficiencia en drenaje, generalmente con vegetación hidrolítica (curiches, bañador y bajios).

#### 5.- CUERPOS DE AGUA

Cuerpos de agua naturales o artificiales; incluye lagos, lagunas, ríos y reservorios.

#### 6.- TIERRAS ERIALES

Tierras muy limitadas o inaptas para agricultura, cubiertas algunas veces con pocas especies vegetales nativas, sin embargo pueden tener otros usos.

#### 7.- NIEVE Y HIELO PERMANENTE

Acumulaciones naturales de nieve en la alta montaña, que por razones de temperatura y presión se transforman en hielo permanente.

#### 8.- RASGOS CULTURALES

Corresponde a todas las manifestaciones construidas por la actividad humana, excluyendo cultivos y reservorios.

DISTRIBUCION CORRELATIVA DE IMAGENES

- |                          |                       |
|--------------------------|-----------------------|
| 1.- Laguna Mandioré      | 34.- Río Chapare      |
| 2.- Mutún                | 35.- Cochabamba       |
| 3.- San Matías           | 36.- Sucre            |
| 4.- Puerto Quijarro      | 37.- Potosí           |
| 5.- Tucavaca             | 38.- Tupiza           |
| 6.- Puerto Busch         | 39.- Laguna Arenal    |
| 7.- Sierra Aguapei       | 40.- Guayaramerín     |
| 8.- Norte Roboré         | 41.- Riberalta        |
| 9.- Roboré               | 42.- Rogaguado        |
| 10.- Cerro San Miguel    | 43.- San Borja        |
| 11.- Nacientes Río Verde | 44.- Covendo          |
| 12.- San Ignacio         | 45.- Oruro            |
| 13.- Lago Concepción     | 46.- Lago Poopó       |
| 14.- Izozog              | 47.- Salar de Uyuni   |
| 15.- Fortín Mendoza      | 48.- Laguna Colorada  |
| 16.- Cañada Oruro        | 49.- Salar de Atacama |
| 17.- Río Guaporé         | 50.- Río Acre         |
| 18.- San Simón           | 51.- Madre de Dios    |
| 19.- Concepción          | 52.- Río Madidi       |
| 20.- Santa Cruz          | 53.- Rurrenabaque     |
| 21.- Cabezas             | 54.- La Paz           |
| 22.- Camiri              | 55.- Desaguadero      |
| 23.- Villamontes         | 56.- Salar de Coipasa |
| 11.- Nacientes Río Verde | 44.- Covendo          |

BOLEIN RAMA

2



11.- Nacientes Río Verde

12.- San Ignacio

13.- Lago Concepción

14.- Izozog

15.- Fortín Mendoza

16.- Cañada Oruro

17.- Río Guaporé

18.- San Simón

19.- Concepción

20.- Santa Cruz

21.- Cabezas

22.- Camiri

23.- Villamontes

24.- Bermejo

25.- Versalles

26.- Perseverancia

27.- Ascención

28.- Buena Vista

29.- Vallegrande

30.- Monteagudo

31.- Tarija

32.- Magdalena

33.- Trinidad

44.- Covendo

45.- Oruro

46.- Lago Poopó

47.- Salar de Uyuni

48.- Laguna Colorada

49.- Salar de Atacama

50.- Río Acre

51.- Madre de Dios

52.- Río Madidi

53.- Rurrenabaque

54.- La Paz

55.- Desaguadero

56.- Salar de Coipasa

57.- Salar de Empexa

58.- Río Abuná

59.- Cobija

60.- Río Heath

61.- Apolo

62.- Lago Titicaca

63.- Charaña

64.- Payachata

65.- Bolpebra



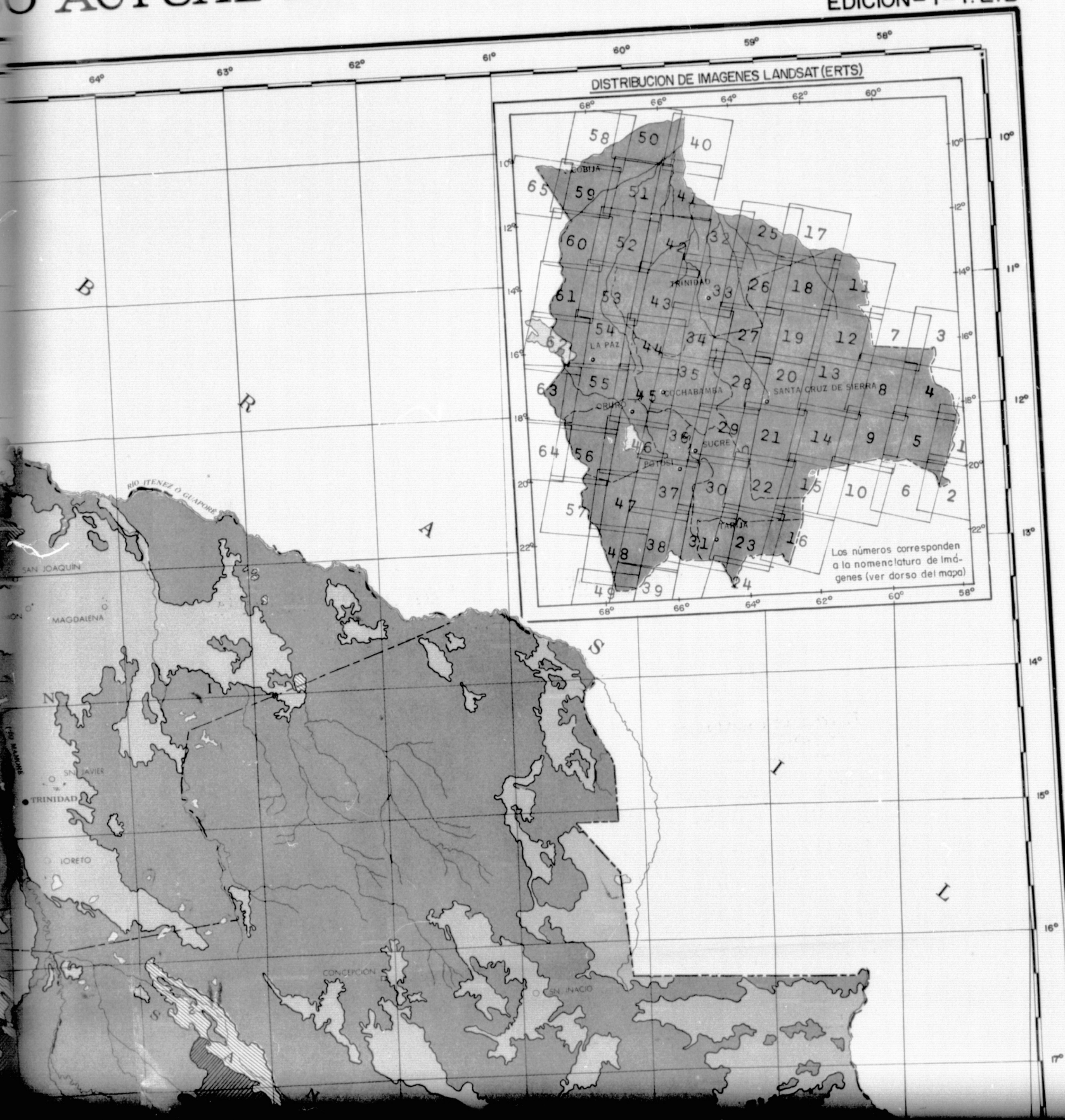


FOLDOUT FRAME 2

REPRODUCIBILITY OF THE  
ORIGINAL PAGE IS POOR

# MAPA ACTUAL DE LA TIERRA, BOLIVIA

EDICION-1-P.E.B





REPRODUCIBILITY OF THE  
ORIGINAL PAGE IS POOR

FOLDOUT FRAME 3



EDICION - 1 - P.E.B. (PRELIMINAR)

LEYENDA DE COBERTURA Y USO ACTUAL DE LA TIERRA

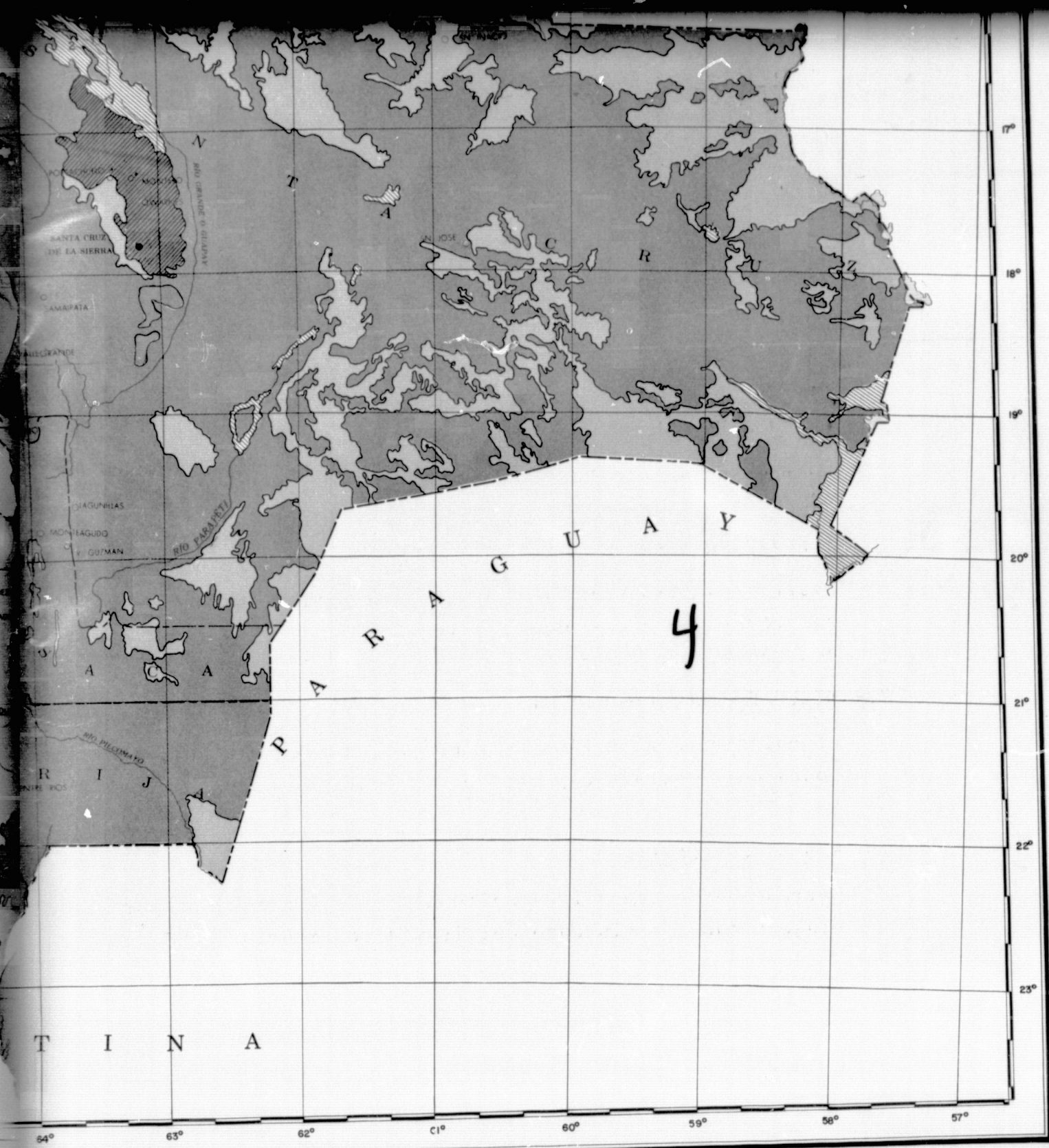
NIVEL UNO (1) DE INFORMACION

- 1 Tierras con Pastos y Arbustos
- 2 Tierras con Bosques



100 SIGNO  
PROYEC Nacion  
Depar





COCHABAMBA-XI -77 IMPRESO POR LA EDITORIAL "UNIVERSO"  
 MAPA DE UBICACION

Escala 1:4 000 000

0 100 200 Kilómetros

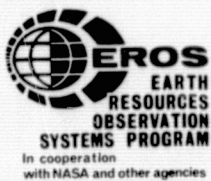
CON CONICA CONFORME DE LAMBERT

Meridiano Central 64°  
 Paralelos Comunes 12°y21°

SIGNOS CONVENCIONALES

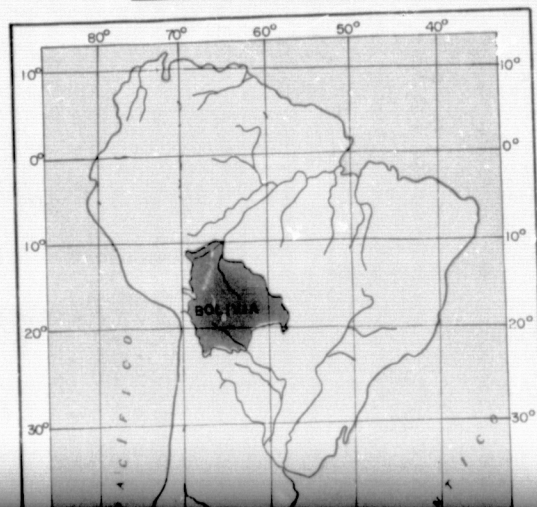
Nacional

Departamental

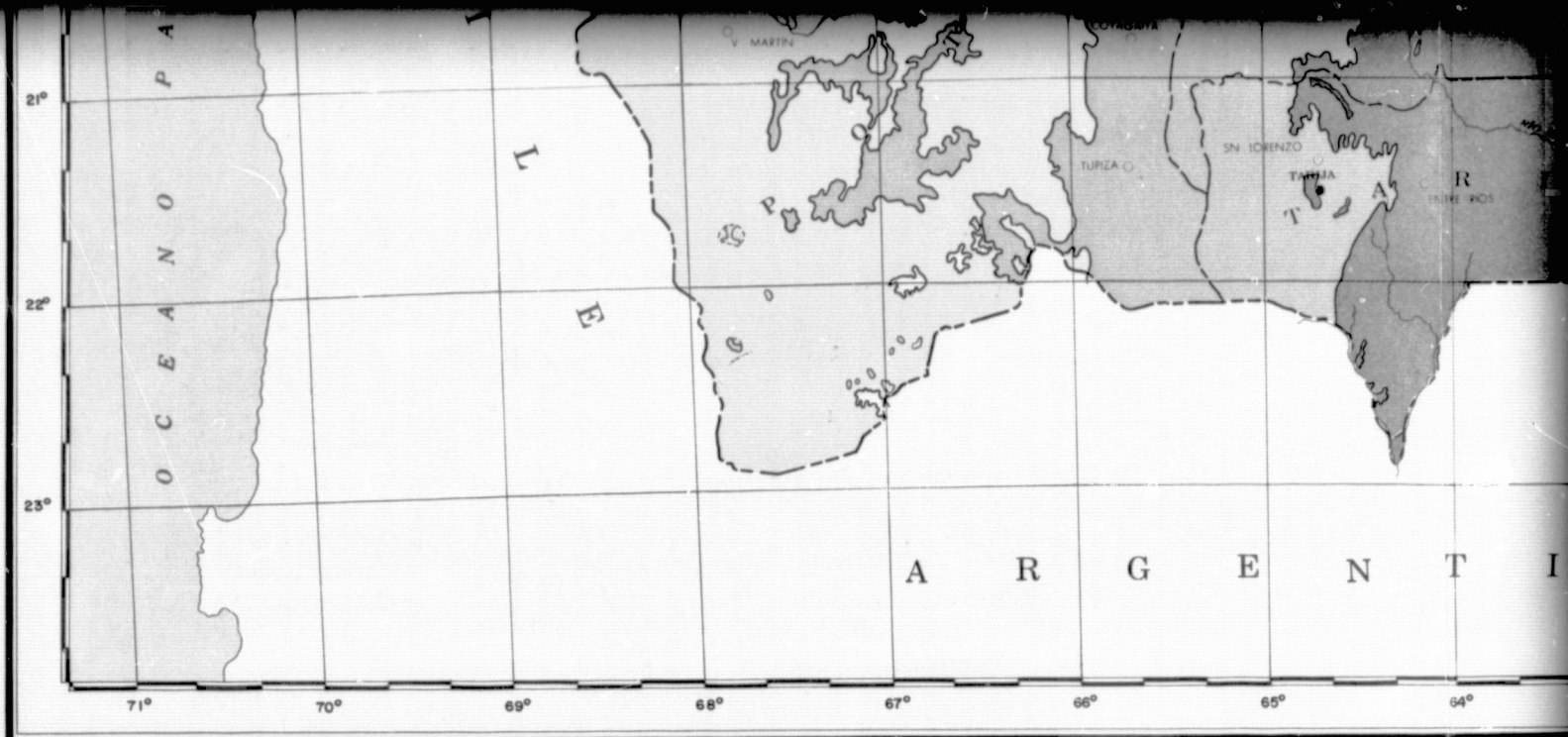


In cooperation with NASA and other agencies

SE SOLICITA A LOS LECTORES QUE EN-  
 CUENTREN ERRORES U OMISIONES EN ES-  
 TE MAPA, MARCAR LAS CORRECCIONES  
 EN EL MISMO Y ENVIARLO AL DIRECTOR  
 DEL PROGRAMA ERTS, LA PAZ - BOLIVIA







EDICION - 1 - P.E.B. (PRELIMINAR)

# LEYENDA DE COBERTURA Y USO ACTUAL DE LA TIERRA

NIVEL UNO (1) DE INFORMACION

- |   |                               |  |
|---|-------------------------------|--|
| 1 | Tierras con Pastos y Arbustos |  |
| 2 | Tierras con Bosques           |  |
| 3 | Tierras Cultivadas            |  |
| 4 | Tierras Húmedas y Anegadas    |  |
| 5 | Cuerpos de Agua               |  |
| 6 | Tierras Eriales               |  |
| 7 | Nieve y Hielo Permanente      |  |

Referencia Cartográfica Básica de la reducción del mapa 1:1.000.000 del Instituto Geográfico Militar.

LA DELINEACION DE FRONTERAS INTERNACIONALES DEL PRESENTE MAPA NO DEBE CONSIDERARSE AUTORITARIA



Escala 1:1.000.000

PROYECCION CONICA CON Meridiano Central y Paralelos Conformes

SIGNOS CONVENCIONALES

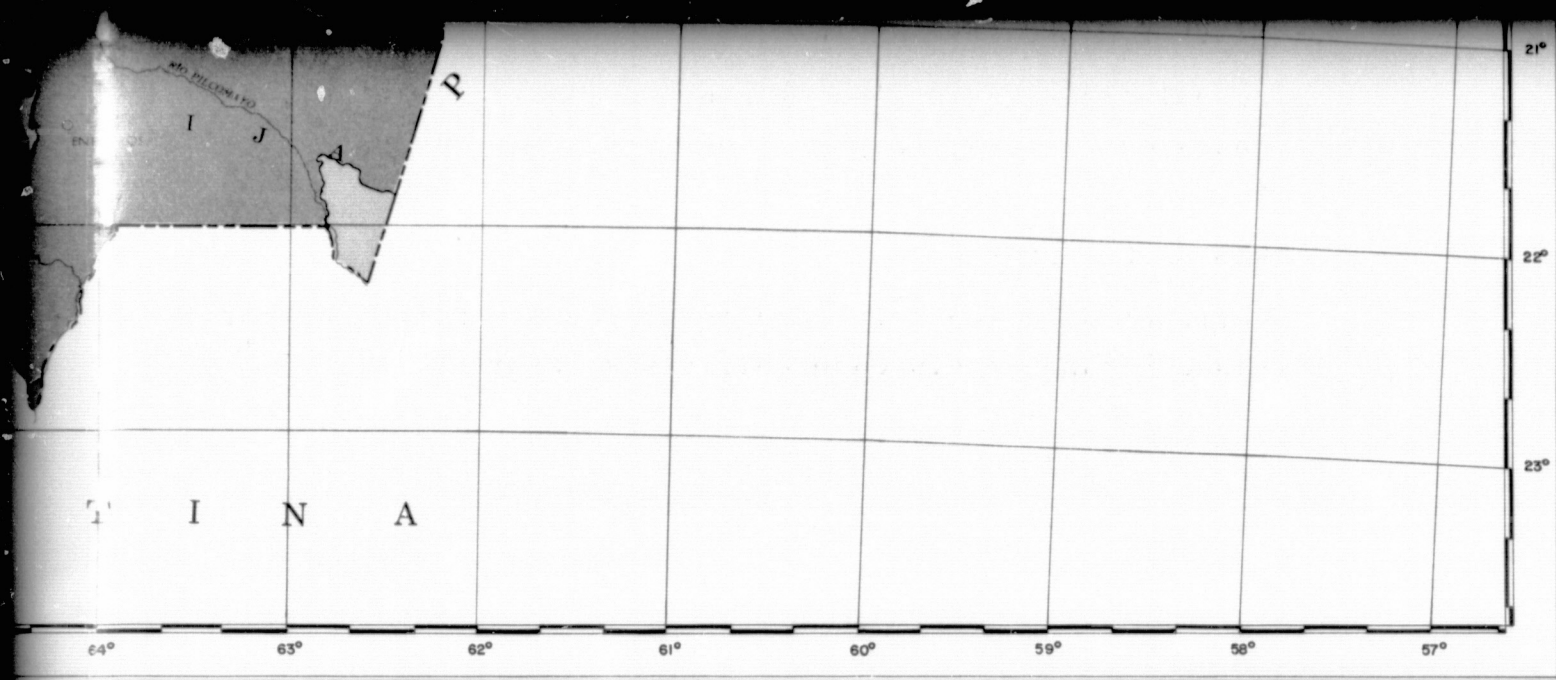
Límite Nacional  
Límite Departamental  
Sede de Gobierno  
Capital de Departamento  
Capital de Sección  
Rios perennes

Preparado por el Programa del Satélite Tecnológico de Recursos Naturales (ERTS) La Paz - Bolivia. Extractado del Mapa de Cobertura y Uso Actual de la Tierra, Escala 1:1.000.000. Elaborado en 1977 en base a fotointerpretación de imágenes LANDSAT MSS. y comprobación de campo.

ES PROPIEDAD INTELECTUAL

FOLDOUT FRAME 5





COCHABAMBA-XI-77 IMPRESO POR LA EDITORIAL "UNIVERSO"  
**MAPA DE UBICACION**

Escala 1:4 000 000

0 100 200 Kilómetros

ION CONICA CONFORME DE LAMBERT

Meridiano Central 64°  
 Paralelos Comunes 12°y21°

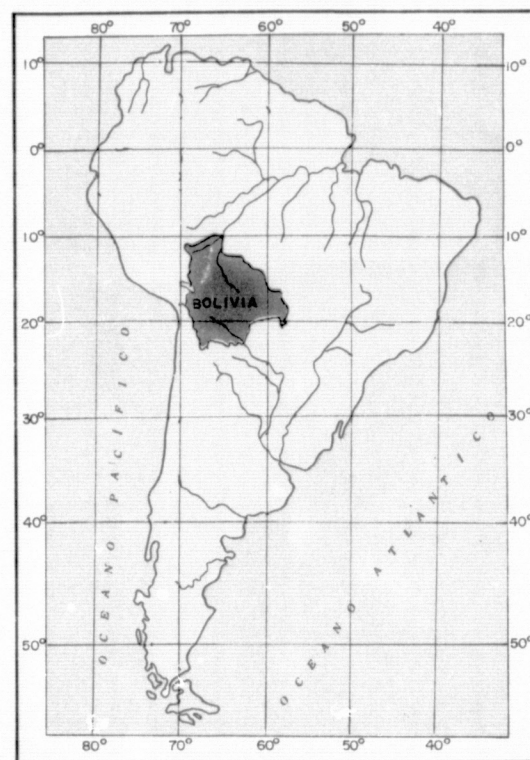


SIGNOS CONVENCIONALES

- Nacional
- Departamental
- de Gobierno
- al de Departamento
- al de Sección
- perennes

SE SOLICITA A LOS LECTORES QUE EN-  
 CUENTREN ERRORES U OMISIONES EN ES-  
 TE MAPA, MARCAR LAS CORRECCIONES  
 EN EL MISMO Y ENVIARLO AL DIRECTOR  
 DEL PROGRAMA ERTS, LA PAZ - BOLIVIA  
 ESTOS MAPAS SERAN DEVUELTOS O SUS-  
 TITUIDOS, SI ASI SE DESEA.

PROGRAMA ERTS-BOLIVIA, CASILLA 2729

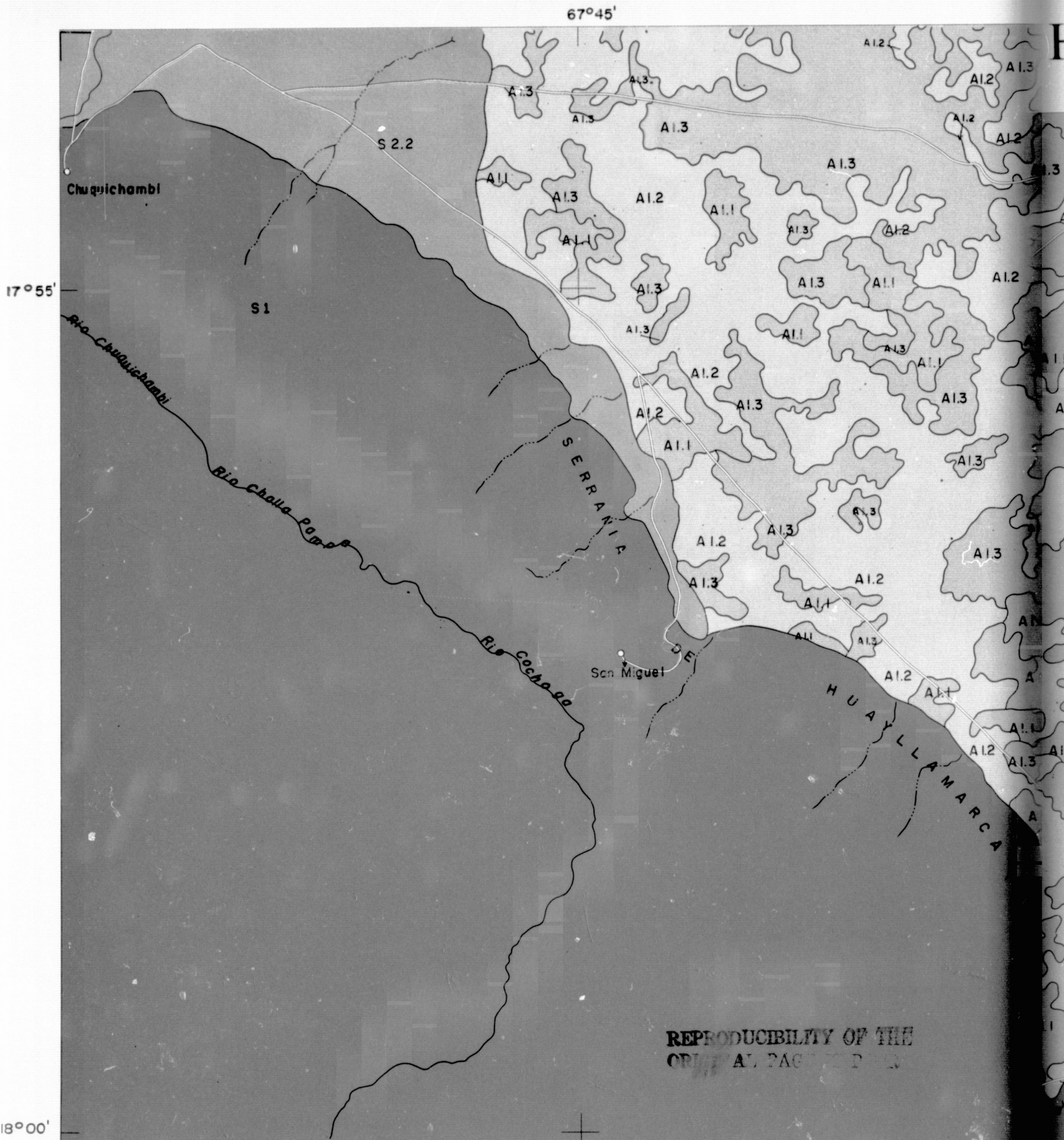


PIEDAD INTELECTUAL DEL PROGRAMA "ERTS" SERVICIO GEOLOGICO DE BOLIVIA (GEOBOL)

PROHIBIDA SU REPRODUCCION PARCIAL O TOTAL

FOLDOUT FRAME







# FOLDOUT FRAME<sup>2</sup> HUAYLLAMARCA SUR

REPRODUCIBILITY OF THE  
ORIGINAL, [illegible]

FOLDOUT A1

67°40'

67°35'





SUR

REPRODUCIBILITY OF THE  
ORIGINAL

FOLDOUT FRAME

3

MAPA DIGITAL  
EXPERIMENTAL

67°35'



17°55'

18°00'



EDICION 1-RE.B.

SE SOLICITA A LOS LECTORES QUE ENCUENTREN ERRORES U OMISIONES EN ESTE MAPA, MARCAR LAS CORRECCIONES EN EL MISMO Y ENVIARLO AL DIRECTOR DEL PROGRAMA ERTS, CASILLA 2729 LA PAZ-BOLIVIA. ESTOS MAPAS SERAN DEVUELTOS O SUBSTITUIDOS SI ASI SE DESEA

## LEYENDA, SUELOS

REPRODUCIBILITY OF T

REPRODU

GRAN PAISAJE	PAISAJE	UNIDAD FISIOGRAFICA	UNIDAD DE MAPEO	CLASIFICACION TAXONOMICA	SIMBOLO EN EL MAPA	CLASIFICACION TAXONOMICA
SERRANIA	Serranía de Huayllamarca y Laurani S 1	Colinas del Terciario Sedimentario, formado por areniscas rojas y blanquesinas intercaladas con lutitas arenosas. Conglomerados gruesos con estratificaciones de areniscas rojas.	Consociación: Huayllamarca	Lithic Ustochrepts	S 1	Lithic Ustochrepts
	Pie de Serranía S 2	Zonas fuertemente onduladas S 2.1	Consociación Las Lomas	Aridic Haplustalfs	S 2.1	Aridic Haplustalfs
		Zonas fuertemente onduladas S 2.2	Consociación: Tola Pata	Typic Ustipsamments	S 2.2	Typic Ustipsamments
LLANURA LACUSTRE ALUVIAL	Llanura Sub-reciente A 1	Planos Salinos A 1.1	Asociación: Kolla La Cantera La Oveja Chijini	Typic Salorthids Typic Natrargids Duric Camborthids Vertic Camborthids	A 1.1	Typic Salorthids Typic Natrargids Duric Camborthids Vertic Camborthids
		Planos Moderadamente Salinos	Asociación: Hornillos La Joya	Vertic Camborthids Ustentric Camborthids	A 1.2	Vertic Camborthids Ustentric Camborthids
		Convexos Escasamente Salinosos o Normales A 1.3	Asociación: Tolar A Tolar B	Ustentric Camborthids Fluventic Ustochrepts	A 1.3	Ustentric Camborthids Fluventic Ustochrepts
	Llanura Reciente A 2	Planos Salinos A 2.1	Consociación: Castrillo	Typic Psammaquents	A 2.1	Typic Psammaquents

FOLDOUT FRAME 4

# REPRODUCIBILITY OF THE

CLASIFICACION TAXONOMICA	SIMBOLO EN EL MAPA
hic Ustochrepts	S 1
idic Haplustalfs	S 2.1
ic Ustipsamments	S 2.2
ic Salorthids	A 1.1
ic Natrargids	
ic Camborthids	
rtic Camborthids	
rtic Camborthids	A 1.2
enric Camborthids	
entic Camborthids	A 1.3
ventic Ustochrepts	
ic Psammaquents	A 2.1

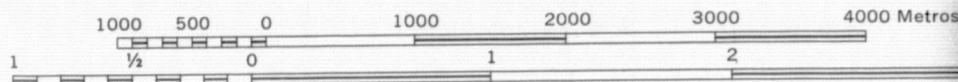


FOLDOUT FRAME 5



67°40'

Escala 1:50,000



PROYECCION TRANSVERSA DE MERCATOR

## SIGNOS CONVENCIONALES

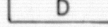
Poblaciones importantes



Caminos



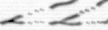
Dunas



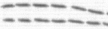
Rios permanentes



Rios intermitentes



Aluvión



Preparado por el Programa del Satélite Tecnológico de Recursos Naturales, ERTS-Bolivia. Elaborado en base a cintas magnéticas del Satélite LANDSAT; procesamiento digital por computadora. Comprobación de campo realizada en 1977  
Base cartográfica: Mapas topográficos escala 1:50.000  
Instituto Geográfico Militar.





Escala 1:50,000

1000 2000 3000 4000 Metros

3 Millas Terrestres Inglesas

67°35'

IMPRESA EN LOS TALLERES DE INDUSTRIAS OFFSET COLOR S.R.L.  
INDABURO 1184 - TEL.: 53258 - LA PAZ - BOLIVIA

PROYECCION TRANSVERSA DE MERCATOR

# SIGNOS CONVENCIONALES

Poblaciones importantes

Camino

Dunas

Rios permanentes

Rios intermitentes

Aluvión

REPRODUCTION OF THE  
ORIGINAL PAGE IS POOR

FOLDOUT FRAME

## UBICACION IMAGEN DESAGUADERO



REPRODUCTION OF THE  
ORIGINAL PAGE IS POOR

HUAYLLAMARCA SUR



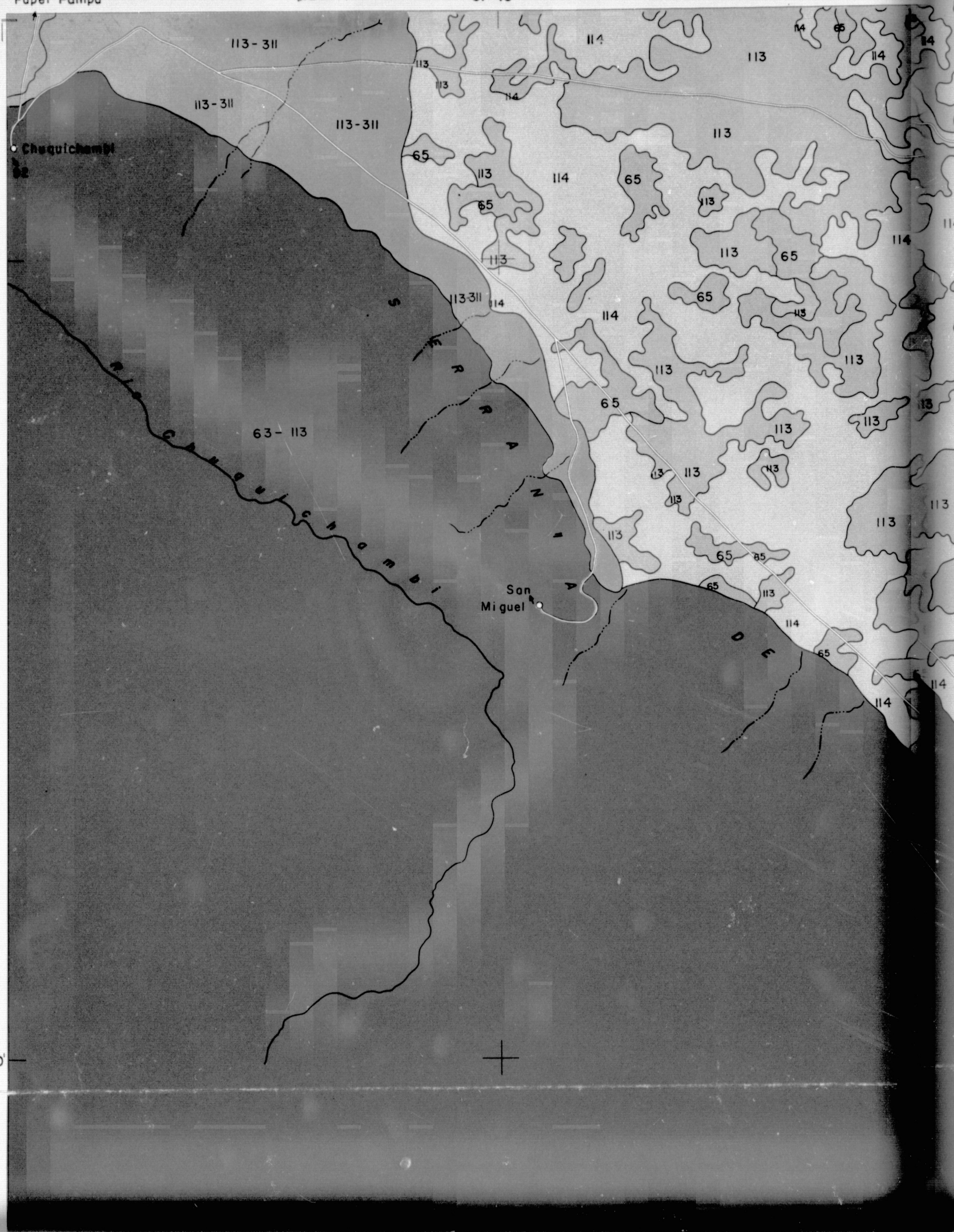
FOLDOUT FRAME

67°45'

Papel Pampa

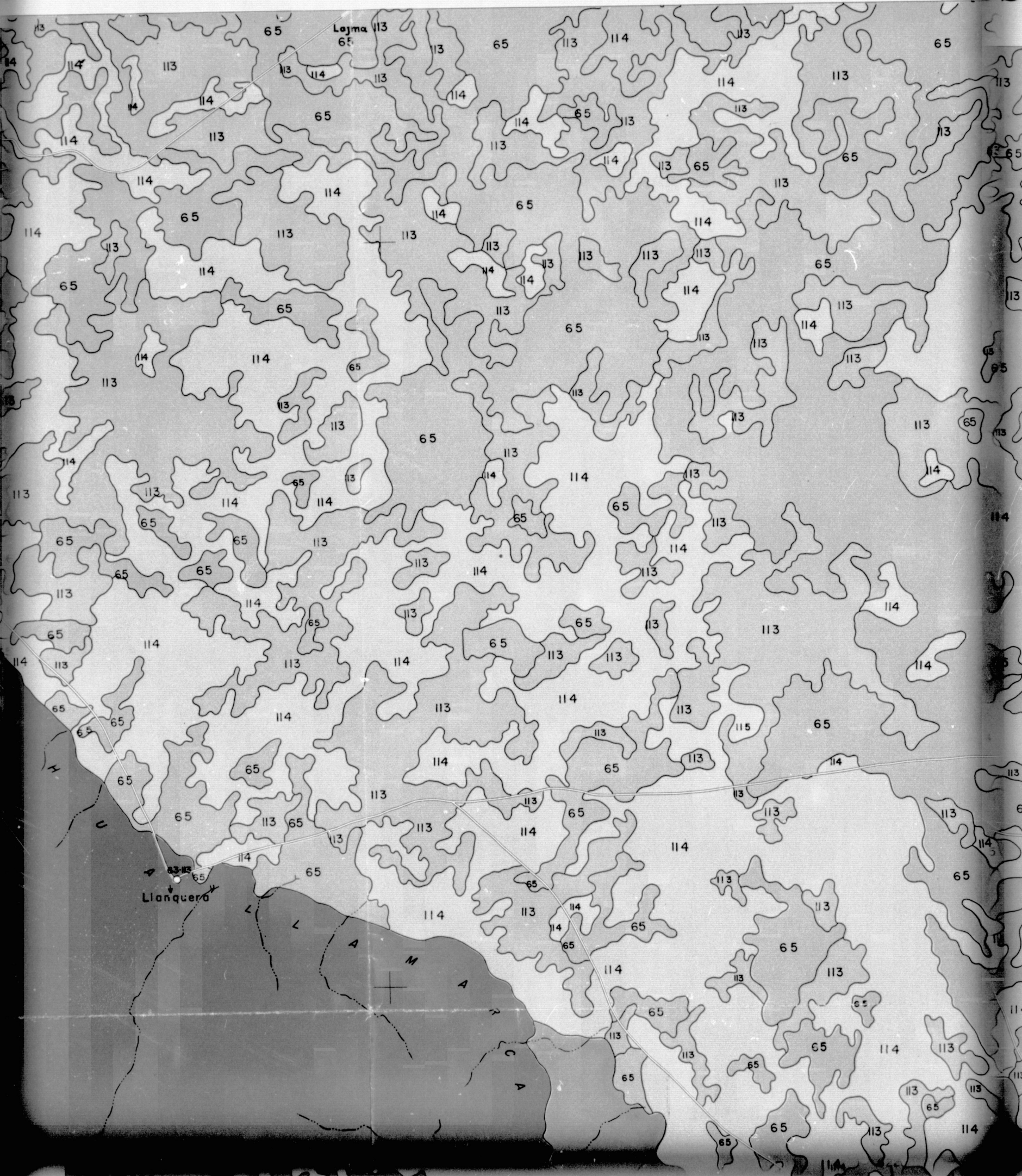
17°55'

18°00'





67°40'





SUR

FOLDOUT FRAME 2

FOLDOUT FRAME 3

MAPA DIGITAL  
EXPERIMENTAL

67°35'



Burguillos



EDICION 1-RE.B.

Preparado por el Programa del Satélite Tecnológico de Recursos Naturales, ERTS-Bolivia. Elaborado en base a cintas magnéticas del Satélite LANDSAT; procesamiento digital por computadora. Comprobación de campo realizada en 1977  
Base cartográfica: Mapas topográficos escala 1:50.000  
Instituto Geográfico Militar.

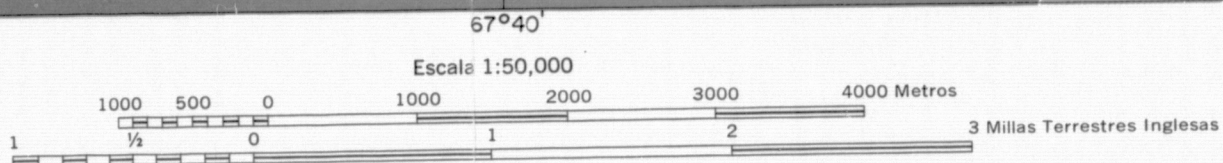
## LEYENDA, USO ACTUAL DE LA TIERRA

1	Tierras con pastizales
11	Pastizales de altura
113	Pastizales de altura secos
113-311	Pastizales de altura secos y cultivos con una cosecha anual
114	Pastizales de altura secos afectados por salinidad
5	Agua
53	Rios
531	Rios permanentes
532	Rios temporales
6	Tierras eriales
63-113	Afloramientos rocosos y pastizales de altura secos
65	Tierras salinas
9	Areas urbanas
92	Pueblos
93	Transportes y comunicaciones
932	Carreteras y caminos

REPRODUCIBILITY OF THE  
ORIGINAL PAGE IS POOR.



FOLDOUT FRAME 4



PROYECCION TRANSVERSA DE MERCATOR

SIGNOS CONVENCIONALES

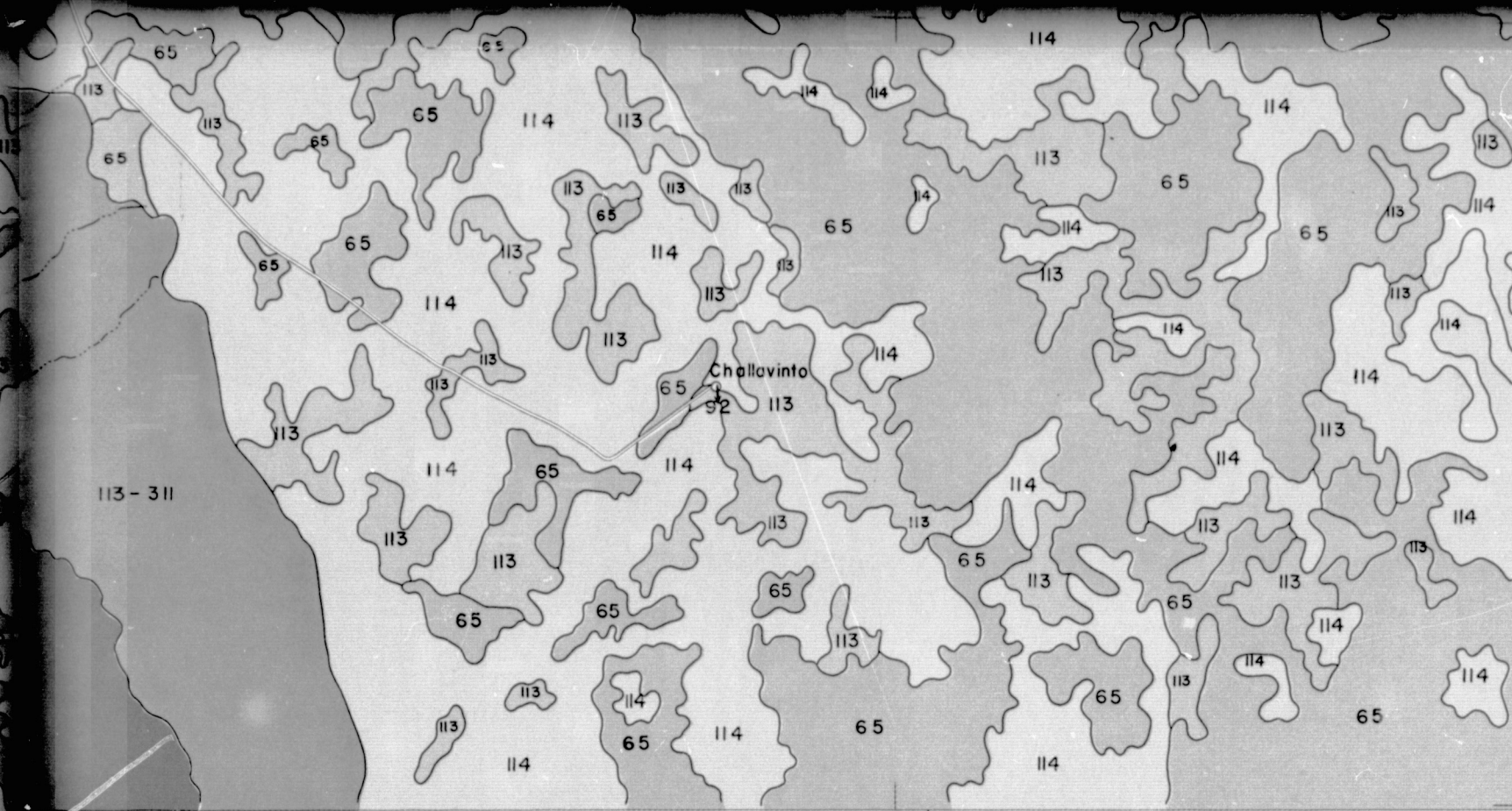
Poblaciones importantes	o
Caminos	==
Dunas	D
Rios permanentes	~~~~
Rios intermitentes	~~~~~
Aluvión	-----

REPRODUCIBILITY OF THE  
ORIGINAL PAGE IS POOR

FOLDOUT FRAME 5

SE SOLICITA A LOS LECTORES QUE ENCUENTREN ERRORES U OMISIONES EN ESTE MAPA, MARCAR LAS CORRECCIONES EN EL MISMO Y ENVIARLO AL DIRECTOR DEL PROGRAMA ERTS, CASILLA 2729 LA PAZ-BOLIVIA. ESTOS MAPAS SERAN DEVUELTOS O SUBSTITUIDOS SI ASI SE DESEA





67°35'

IMPRESA EN LOS TALLERES DE INDUSTRIAS OFFSET COLOR S.R.L.  
INDABURO 1184 - TEL.: 53258 - LA PAZ - BOLIVIA

# UBICACION IMAGEN DESAGUADERO



REPRODUCIBILITY OF THE  
ORIGINAL PAGE IS POOR

FOLDOUT FRAME 5

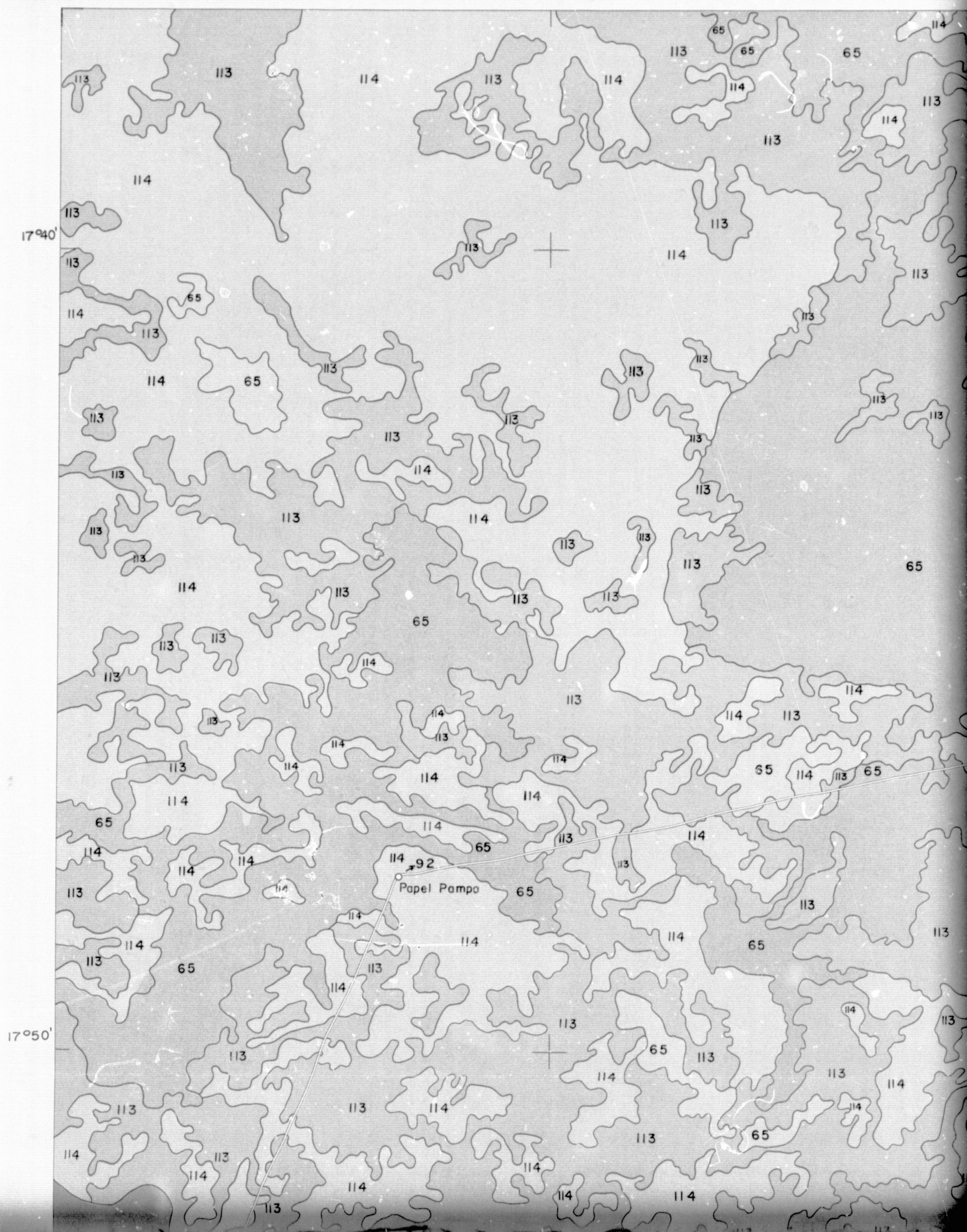
FOLDOUT FRAME 9

HUAYLLAMARCA SUR

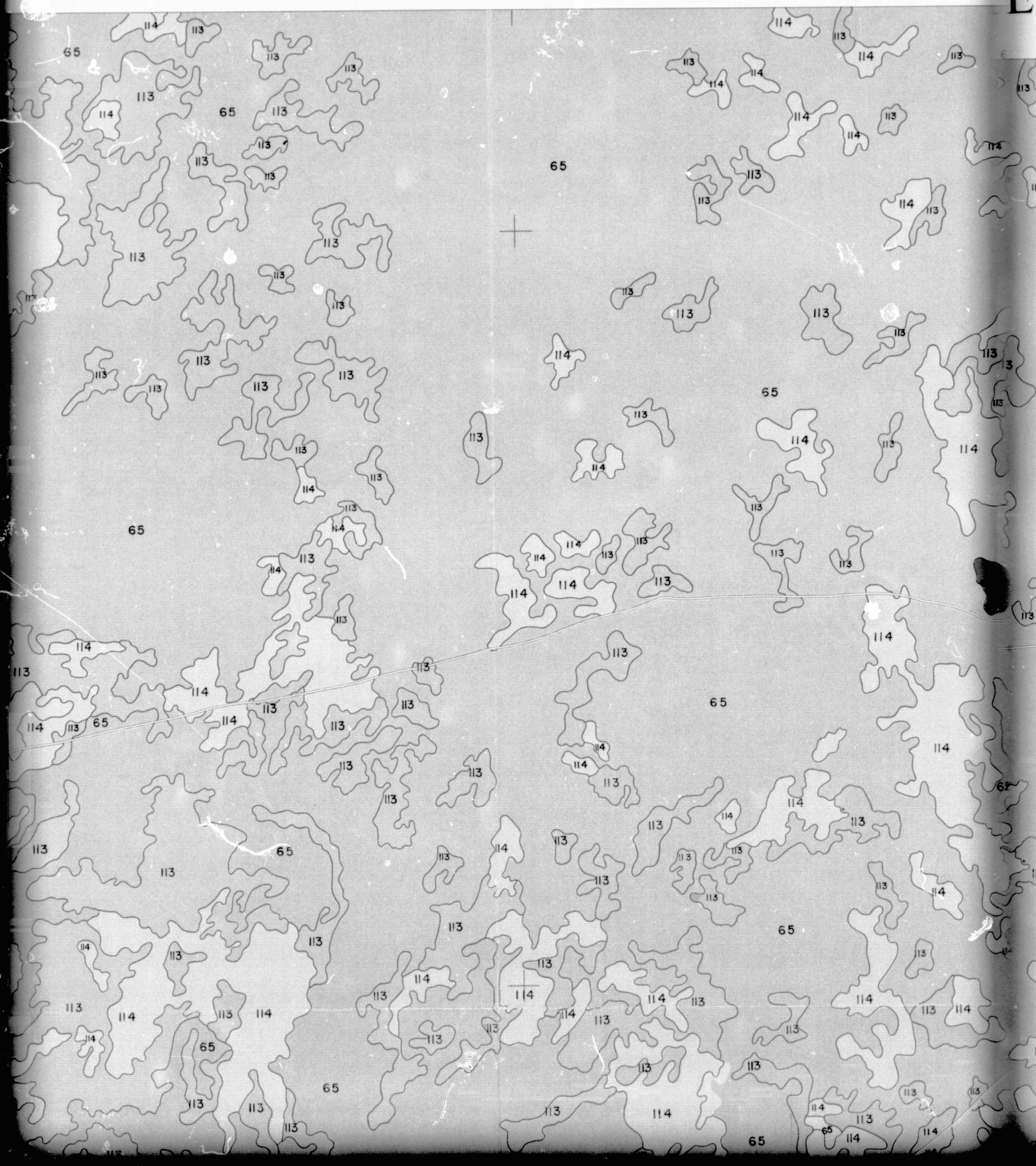


FOLDOUT. FRAME 1

67°45'







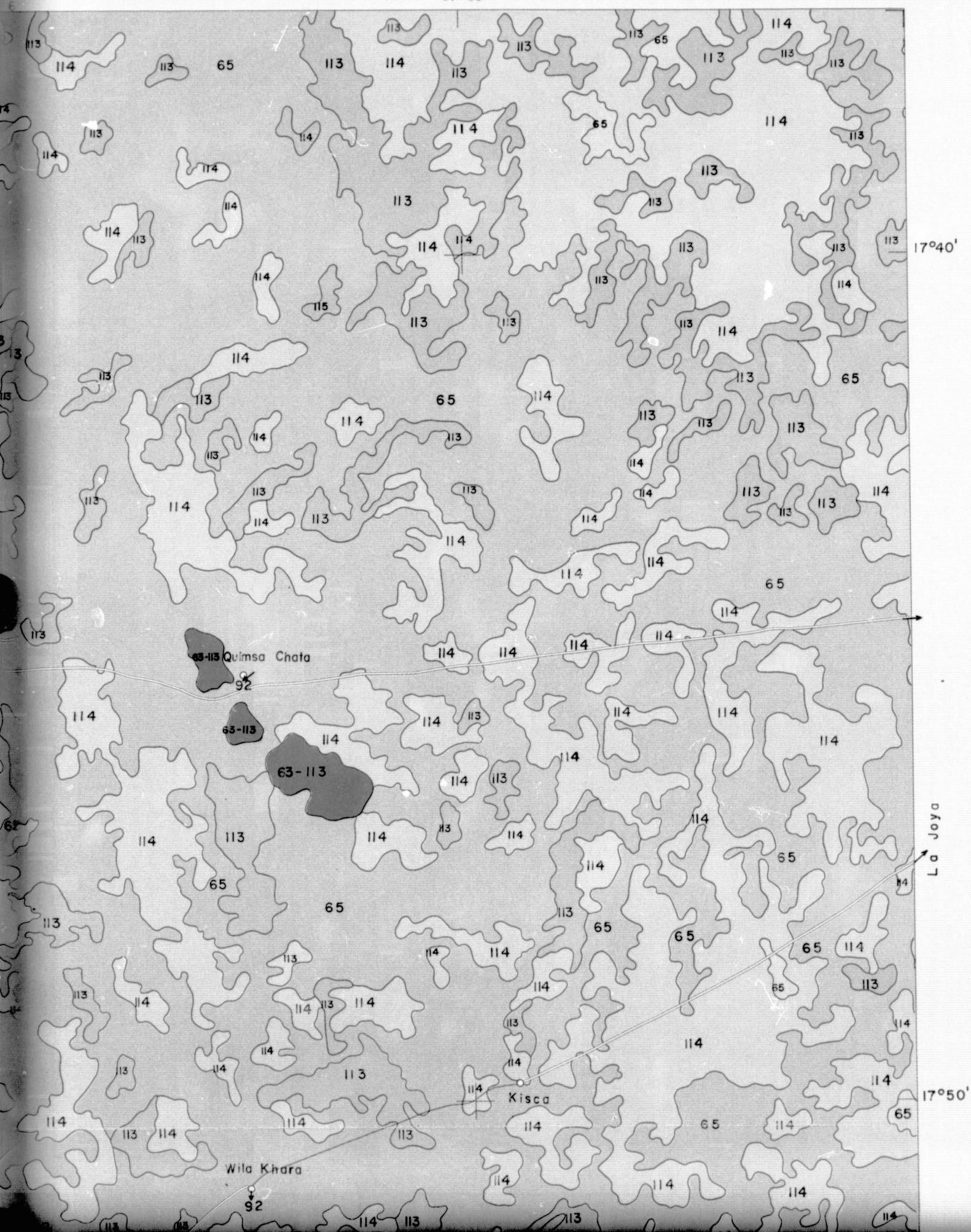


E<sup>2</sup>

FOLDOUT FRAME 3

MAPA DIGITAL  
EXPERIMENTAL

67°35'







Chuquichambi  
EDICION 1-RE.B.

Preparado por el Programa del Satélite Tecnológico de Recursos Naturales, ERTS-Bolivia. Elaborado en base a cintas magnéticas del Satélite LANDSAT; procesamiento digital por computadora. Comprobación de campo realizada en 1977  
Base cartográfica: Mapas topográficos escala 1:50.000  
Instituto Geográfico Militar.

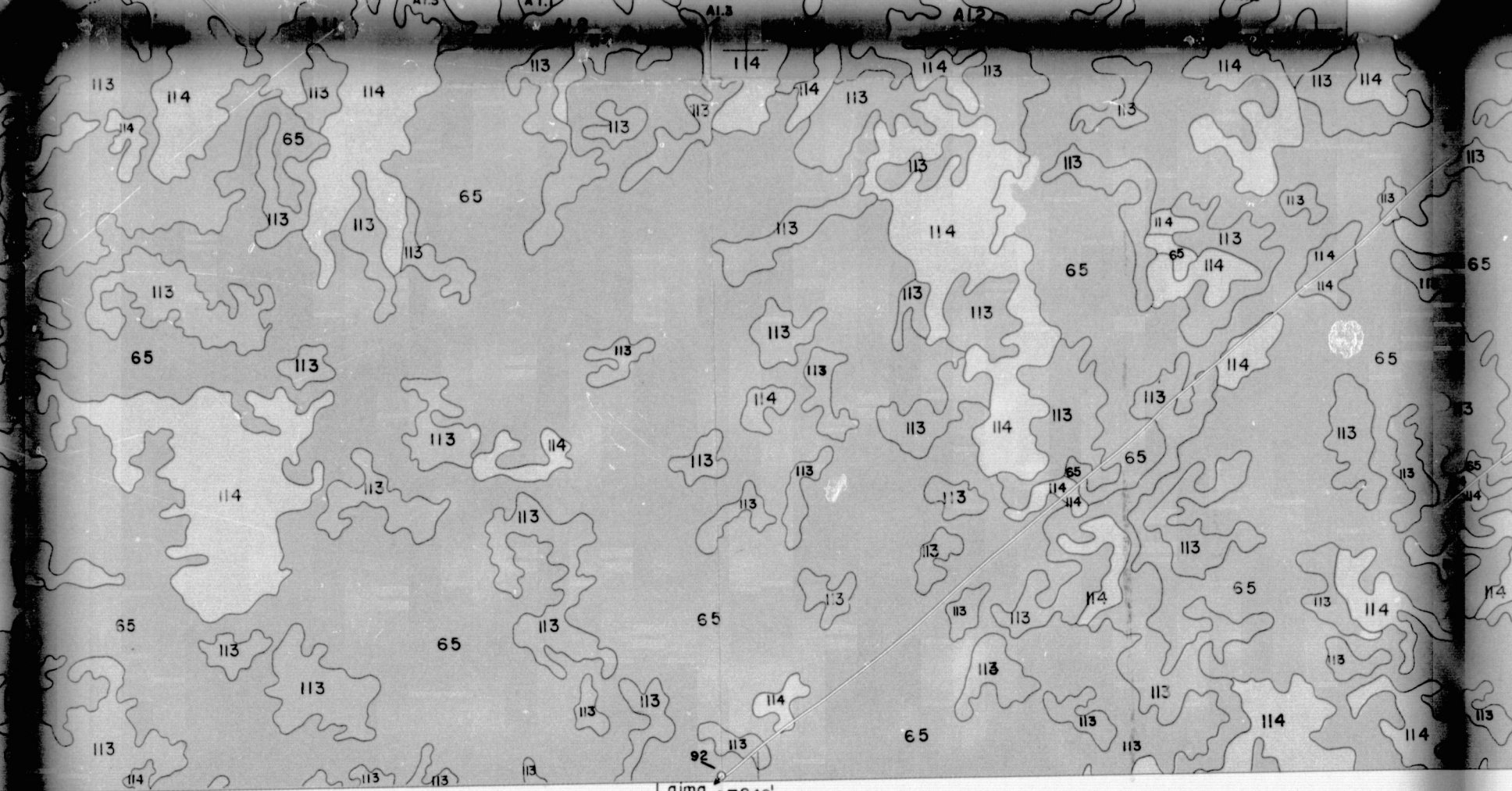
#### LEYENDA, USO ACTUAL DE LA TIERRA

1	Tierras con pastizales
11	Pastizales de altura
113	Pastizales de altura secos
113-311	Pastizales de altura secos y cultivos con una cosecha anual
114	Pastizales de altura secos afectados por salinidad
5	Agua
53	Rios
531	Rios permanentes
532	Rios temporales
6	Tierras eriales
63-113	Afloramientos rocosos y pastizales de altura secos
65	Tierras salinas
9	Areas urbanas
92	Pueblos
93	Transportes y comunicaciones
932	Carreteras y caminos



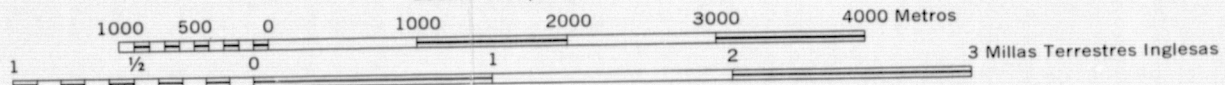
FOLDOUT FRAME 4





Lajma 67°40'

Escala 1:50,000



PROYECCION TRANSVERSA DE MERCATOR

### SIGNOS CONVENCIONALES

Pob'aciones importantes o

Caminos

Dunas, Arenales

Rios permanentes

Rios intermitentes

Aluvión

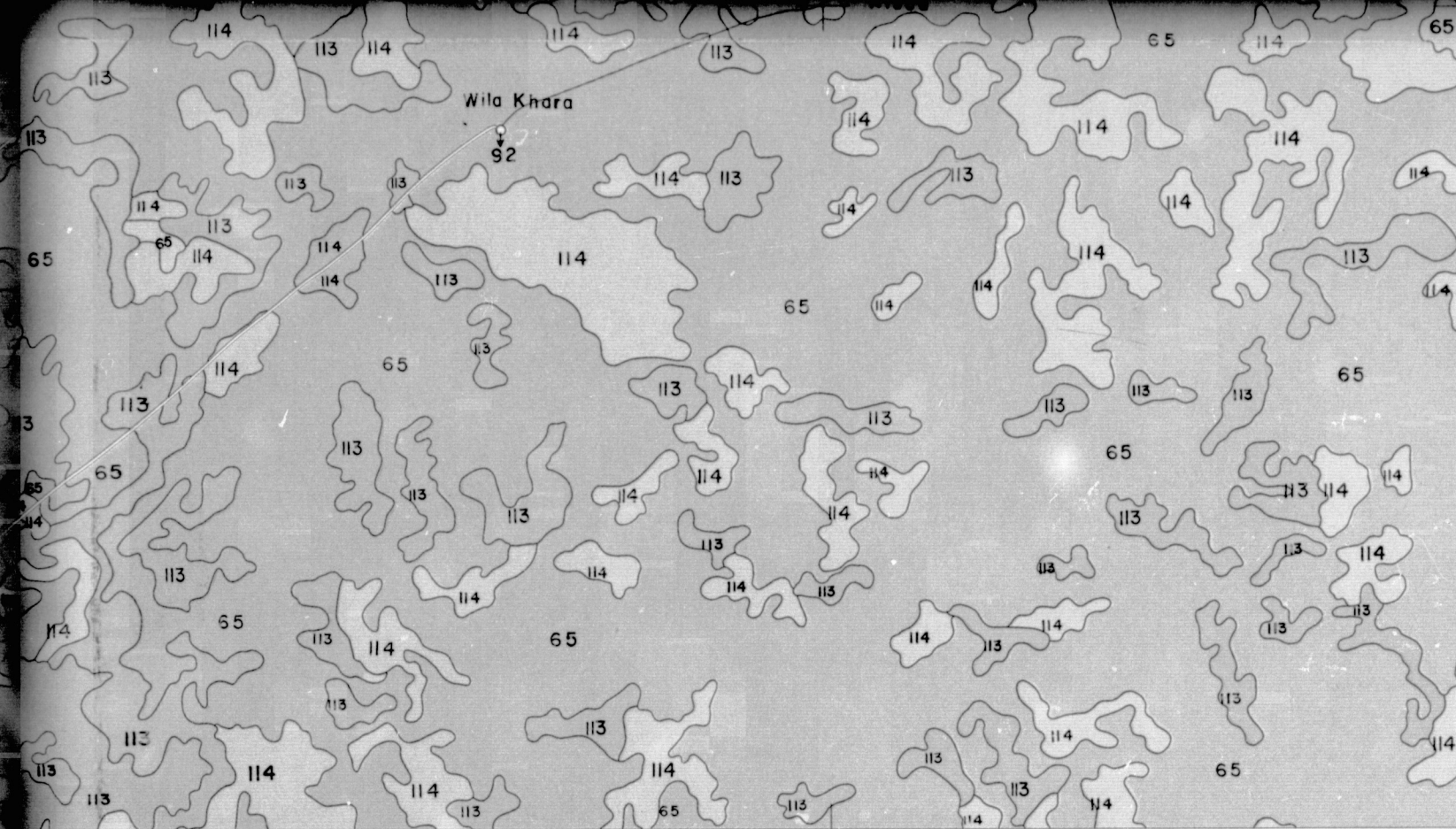
622 621

FOLDOUT FRAME 5

SE SOLICITA A LOS LECTORES QUE ENCUENTREN ERRORES U OMISIONES EN ESTE MAPA, MARCAR LAS CORRECCIONES EN EL MISMO Y ENVIARLO AL DIRECTOR DEL PROGRAMA ERTS, CASILLA 2729 LA PAZ-BOLIVIA. ESTOS MAPAS SERAN DEVUELTOS O SUBSTITUIDOS SI ASI SE DESEA





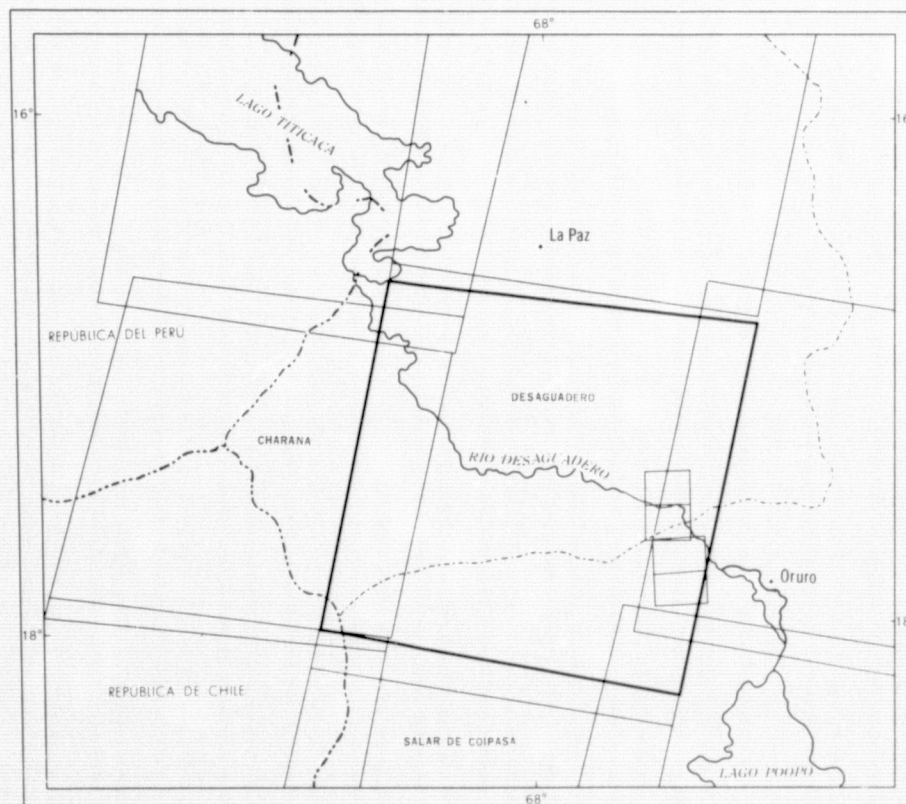


67°35' LA PAZ - XI-77 IMPRESO POR EDITORIAL "OFFSET COLOR"

Metros

3 Millas Terrestres Inglesas

# UBICACION IMAGEN DESAGUADERO



**SOLIDONT FRAME 6**  
HUAYLLAMARCA NORTE



Umala

68°00'

REPRODUCIBILITY OF THE  
ORIGINAL PAGE IS POOR

FOLDOUT FRAME /

67°55'

17° 25'



17°30'

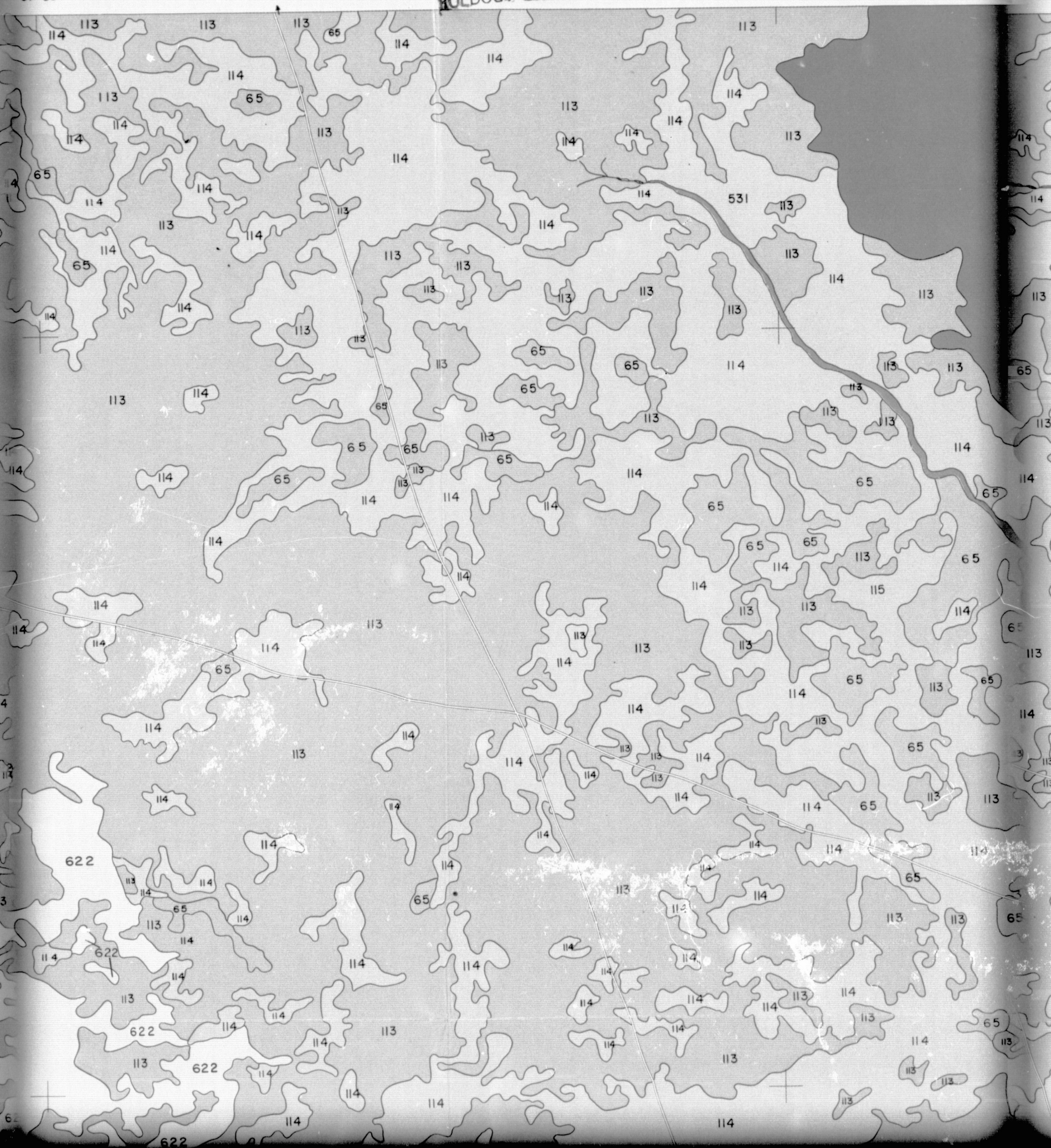


## EUCALIPTUS NORTE

67°55'

FOLDOUT FRAME 2

67°50'





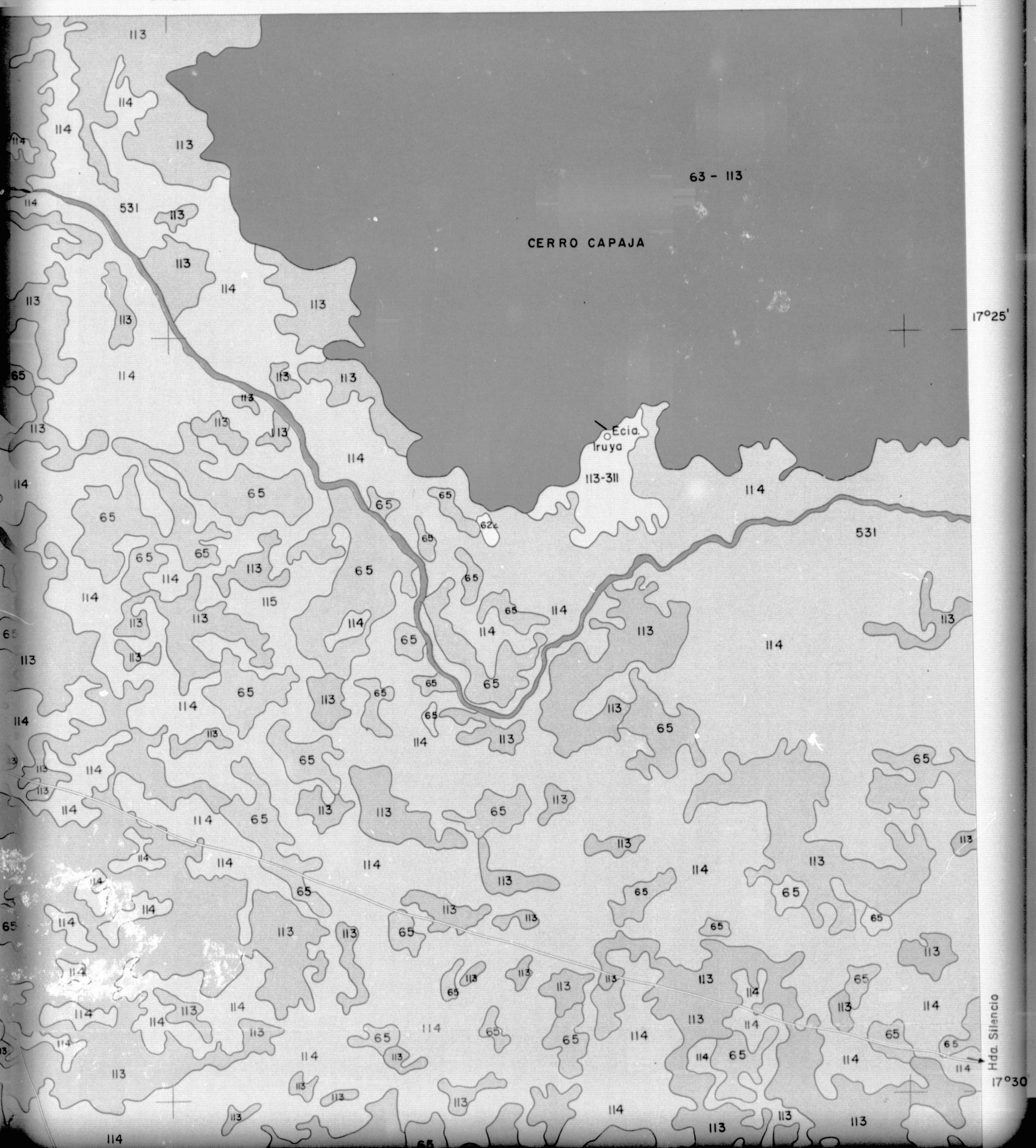
NORTE

FOLDOUT FRAME 3

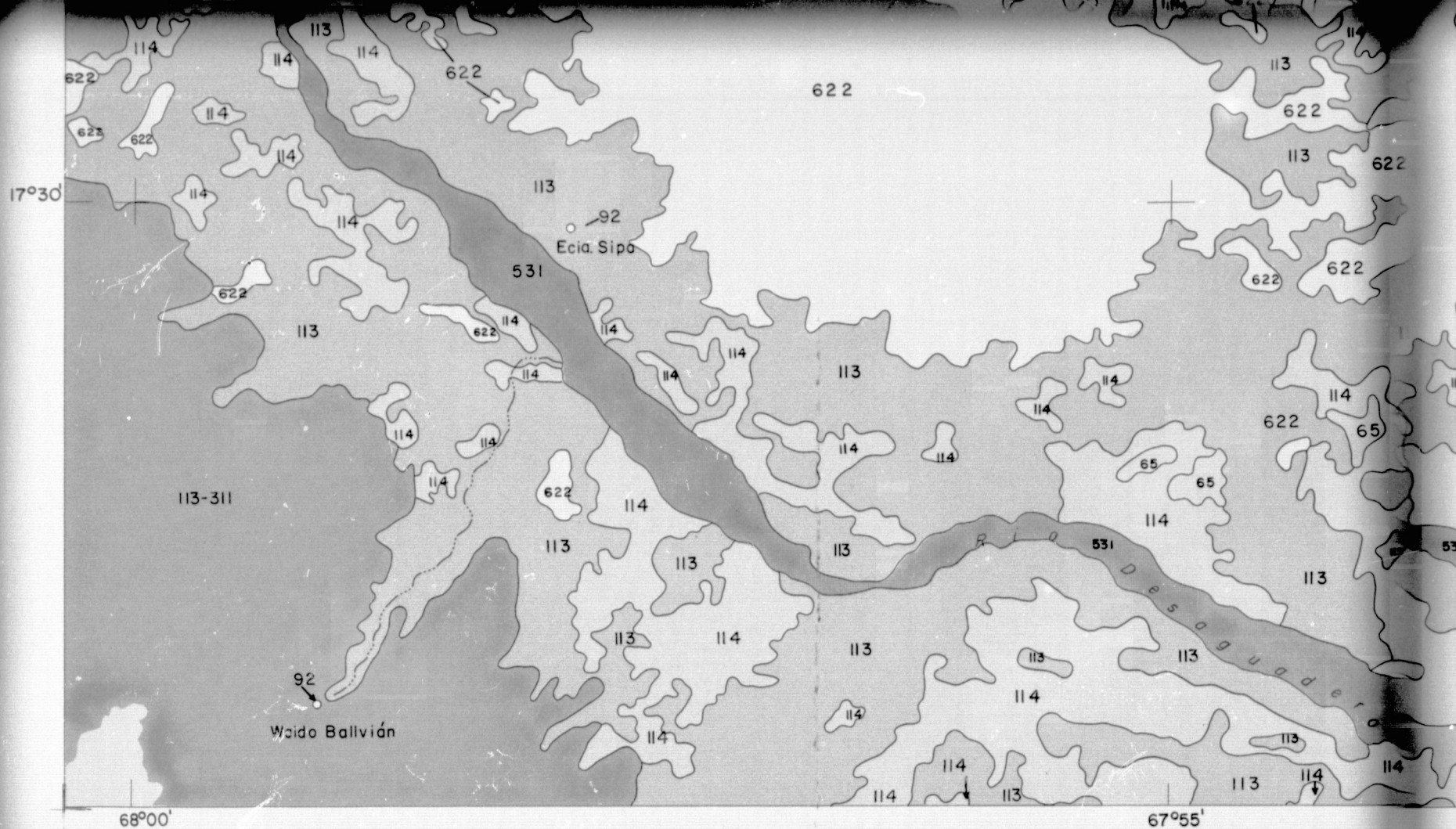
MAPA DIGITAL  
EXPERIMENTAL

67°50'

67°45'





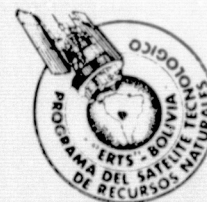


EDICION 1-RE.B.

Preparado por el Programa del Satélite Tecnológico de Recursos Naturales, ERTS-Bolivia. Elaborado en base a cintas magnéticas del Satélite LANDSAT; procesamiento digital por computadora. Comprobación de campo realizada en 1977  
Base cartográfica: Mapas topográficos escala 1:50.000  
Instituto Geográfico Militar.

#### LEYENDA, USO ACTUAL DE LA TIERRA

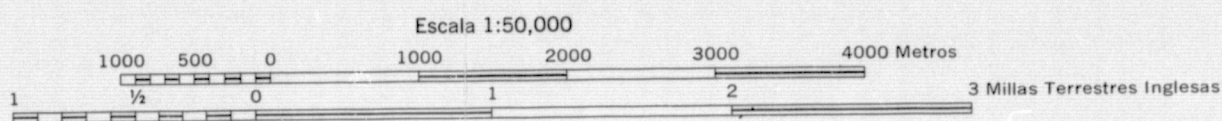
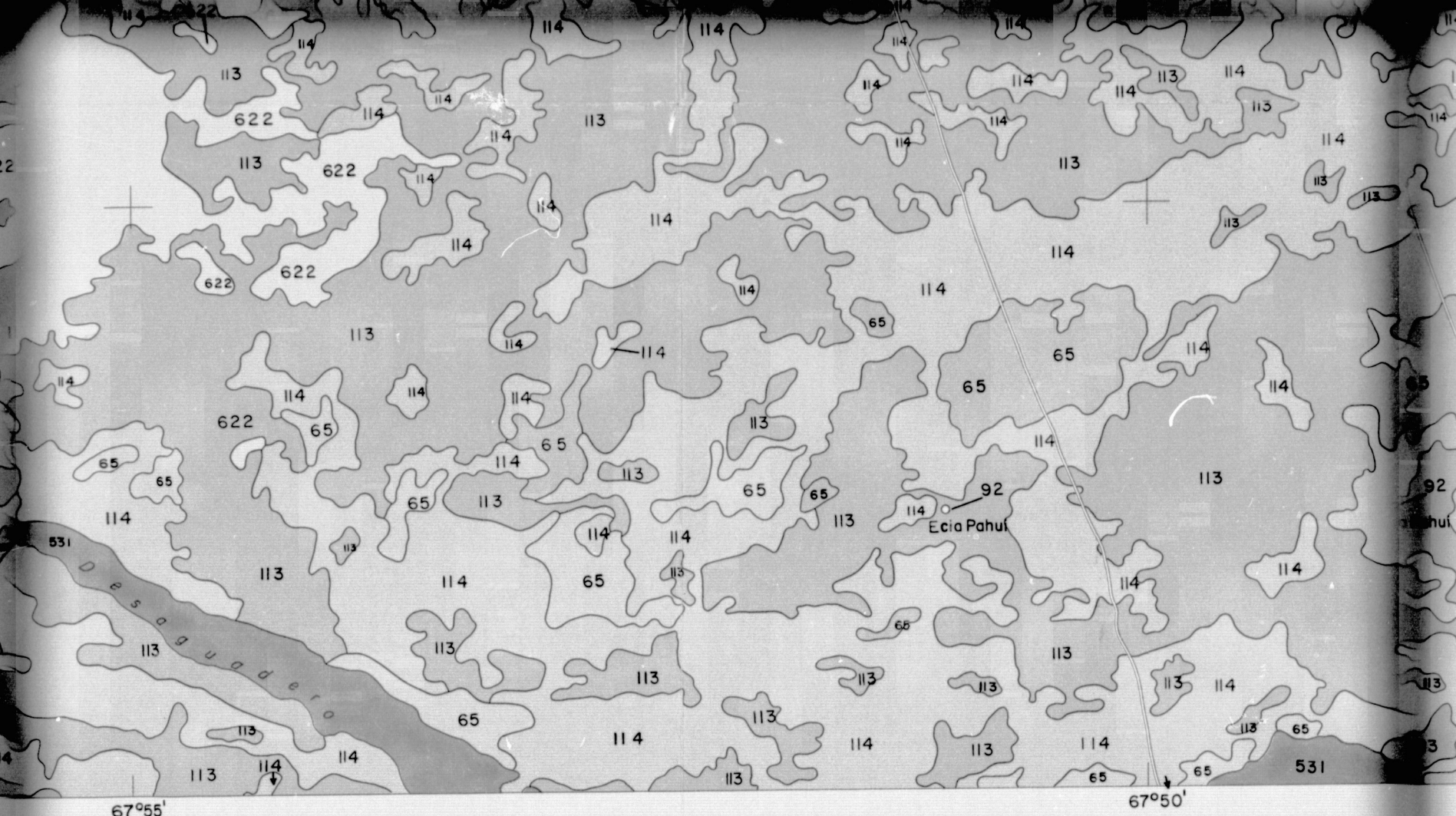
1	Tierras con pastizales
11	Pastizales de altura
113	Pastizales de altura secos
113-311	Pastizales de altura secos y cultivos con una cosecha anual
114	Pastizales de altura secos afectados por salinidad
5	Agua
53	Rios
531	Rios permanentes
532	Rios temporales
6	Tierras eriales
63-113	Afloramientos rocosos y pastizales de altura secos
65	Tierras salinas
9	Areas urbanas
92	Pueblos
93	Transportes y comunicaciones
932	Carreteras y caminos



FOUR OUT FRAME 4

SE  
LA  
CA





PROYECCION TRANSVERSA DE MERCATOR

SIGNOS CONVENCIONALES

- Poblaciones importantes o
- Caminos
- Dunas, Arenales 622 621
- Rios permanentes
- Rios intermitentes

~~FONDOUT~~ FRAME 5

SE SOLICITA A LOS LECTORES QUE ENCUENTREN ERRORES U OMISIONES EN ESTE MAPA, MARCAR LAS CORRECCIONES EN EL MISMO Y ENVIARLO AL DIRECTOR DEL PROGRAMA ERTS, CASILLA 2729 LA PAZ-BOLIVIA. ESTOS MAPAS SERAN DEVUELTOS O SUBSTITUIDOS SI ASI SE DESEA









REPRODUCIBILITY OF THE  
ORIGINAL PAGE IS POOR

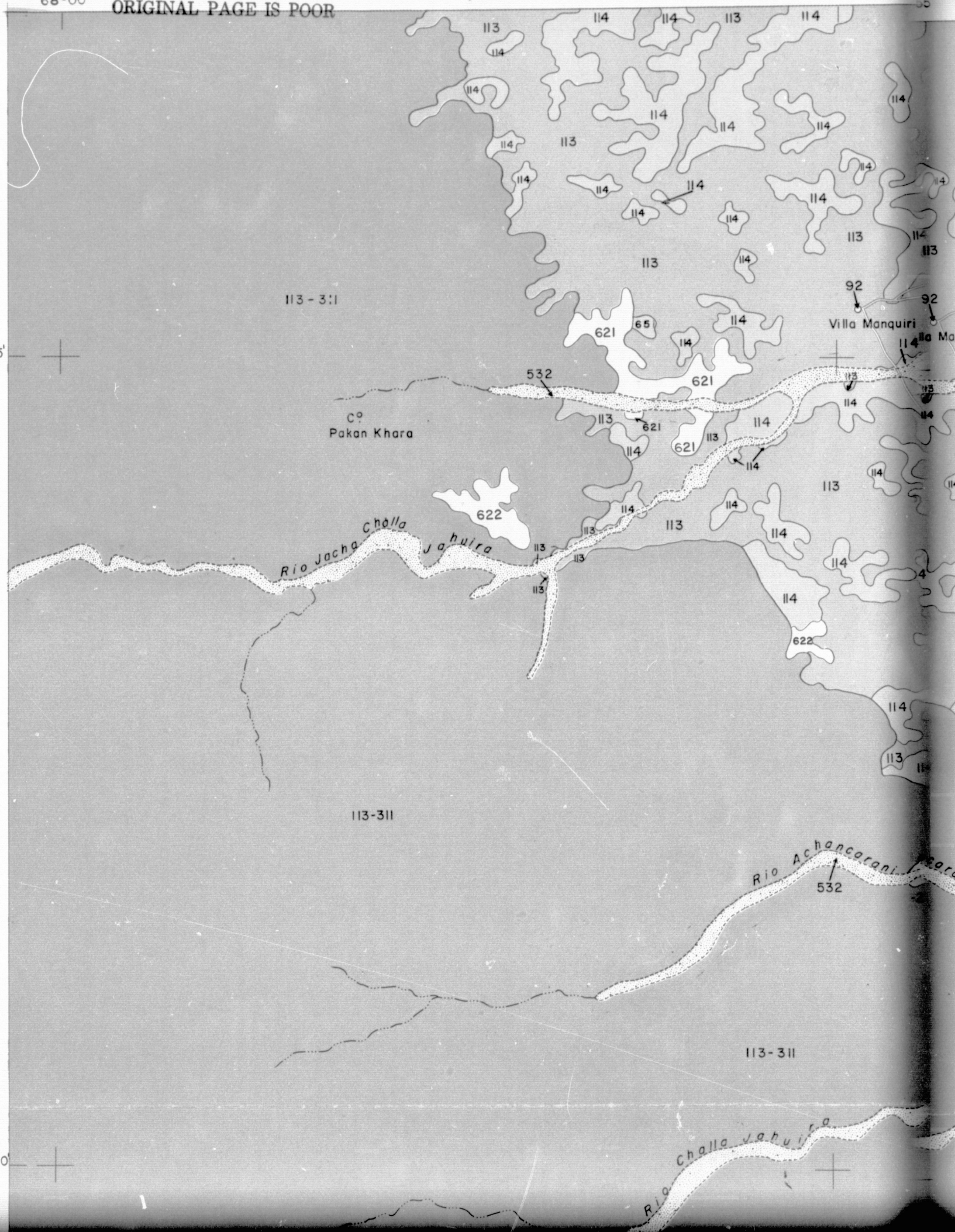
FOLDOUT FRAME /

68°00'

67°55'

55'

17°35'



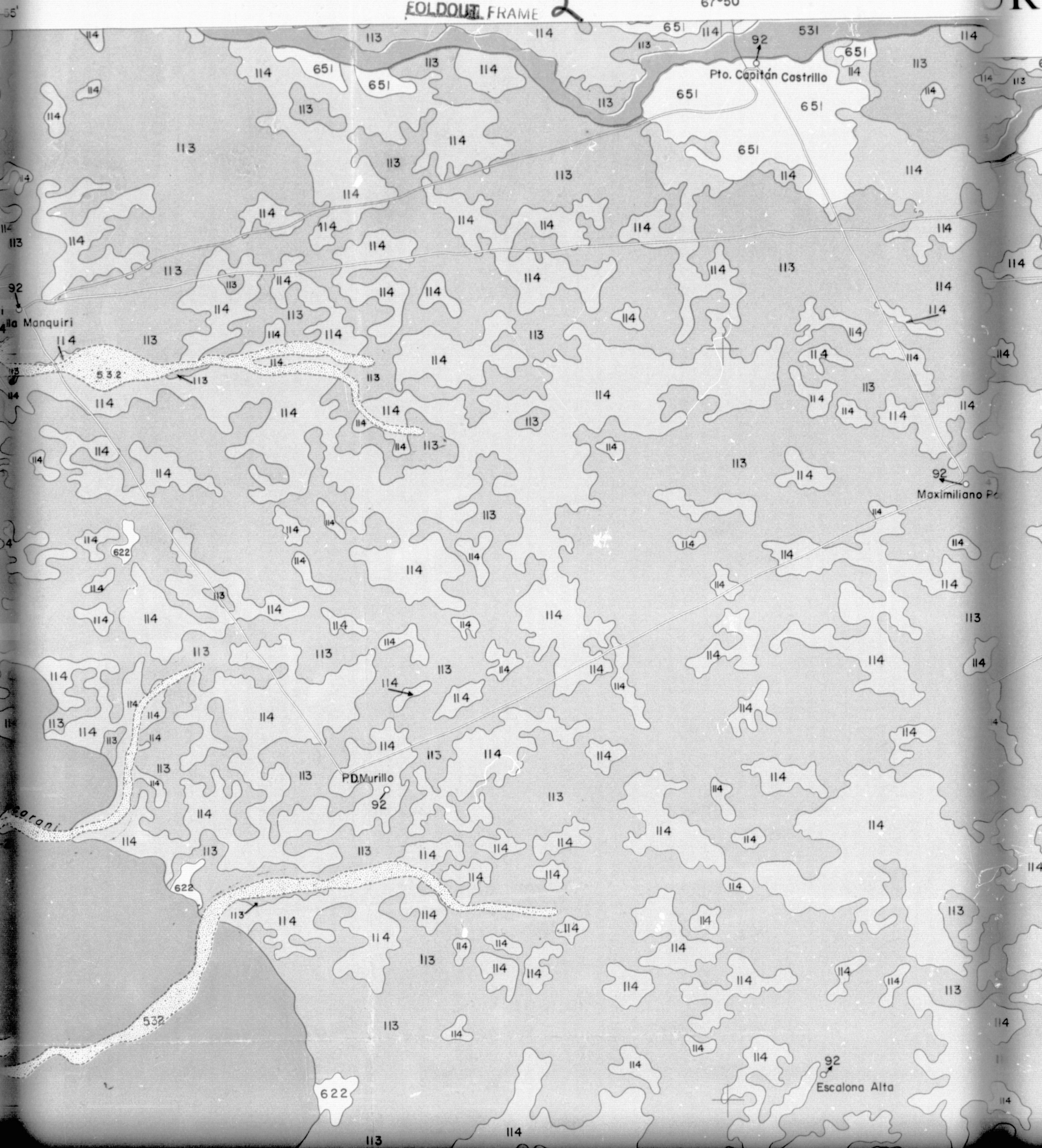
17°40'



# EUCALIPTUS SUR

FOLDOUT FRAME 2

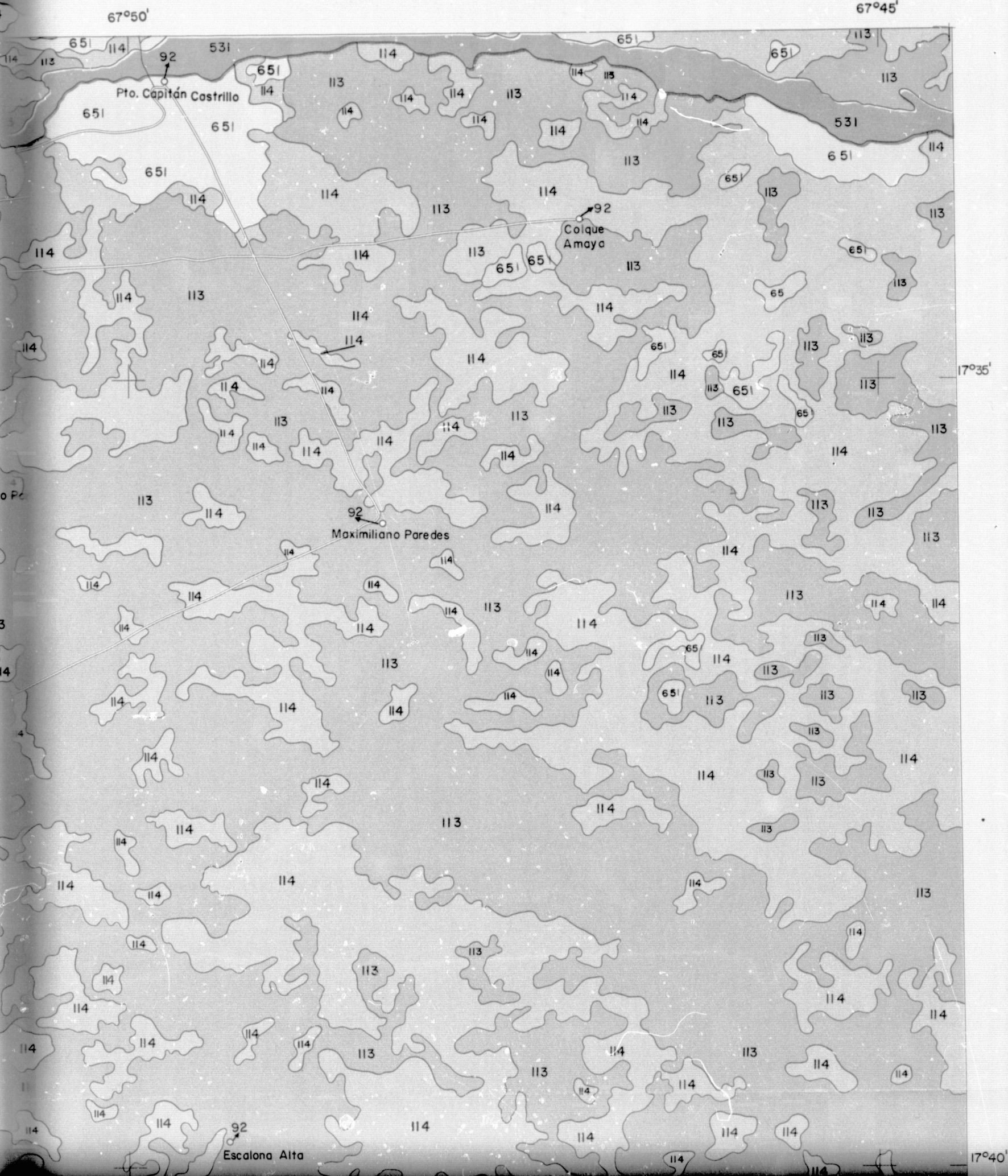
67°50'





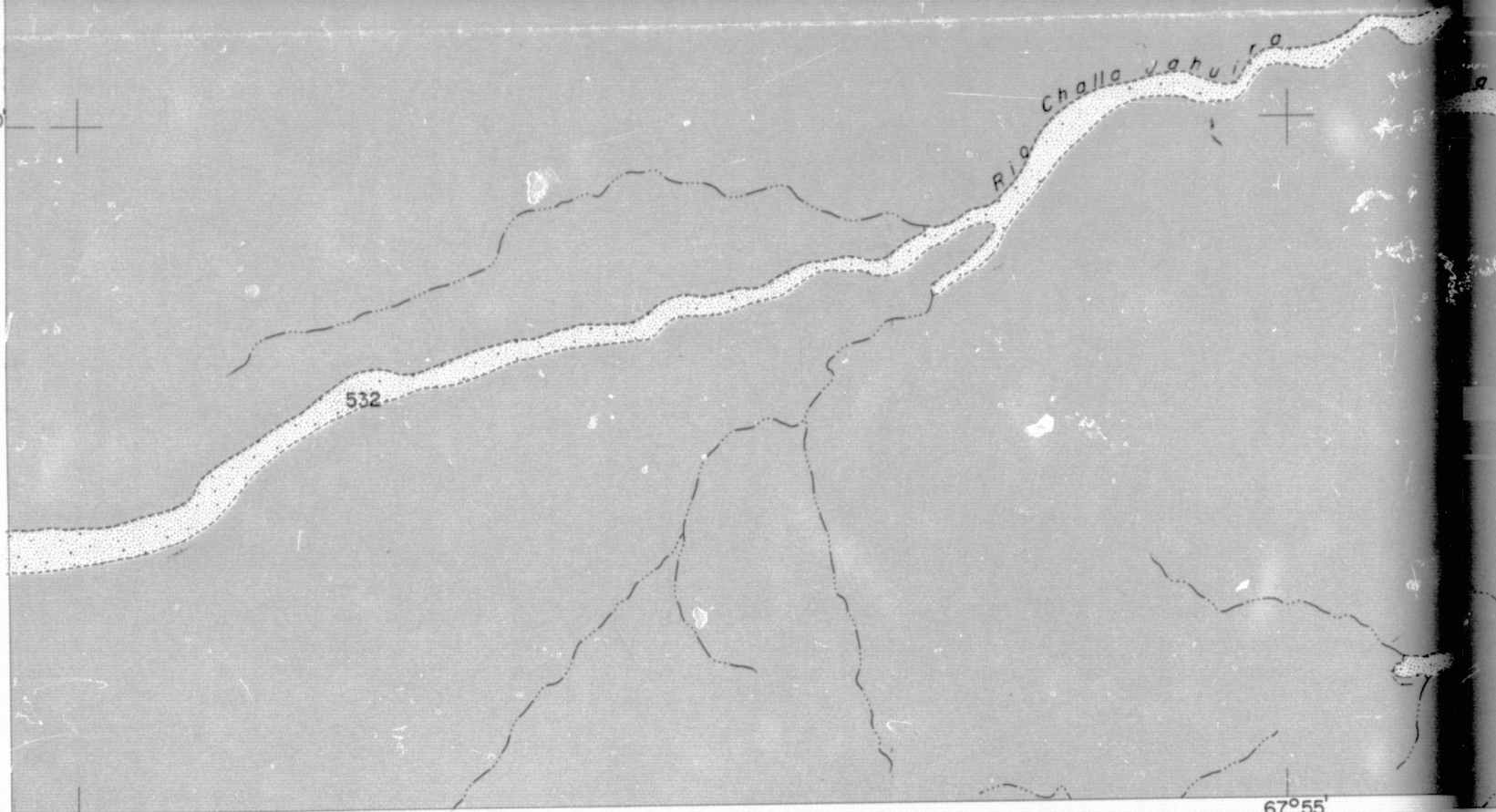
UR

FOLDOUT ERAML 3

MAPA DIGITAL  
EXPERIMENTAL



17°40'



68°00'  
EDICION 1- P.E.B.

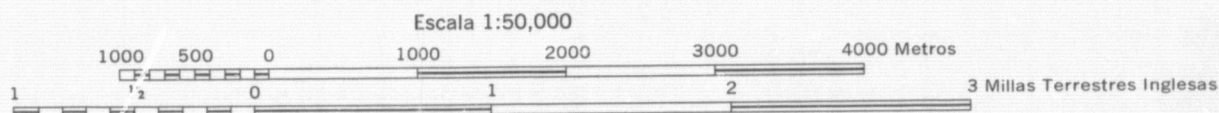
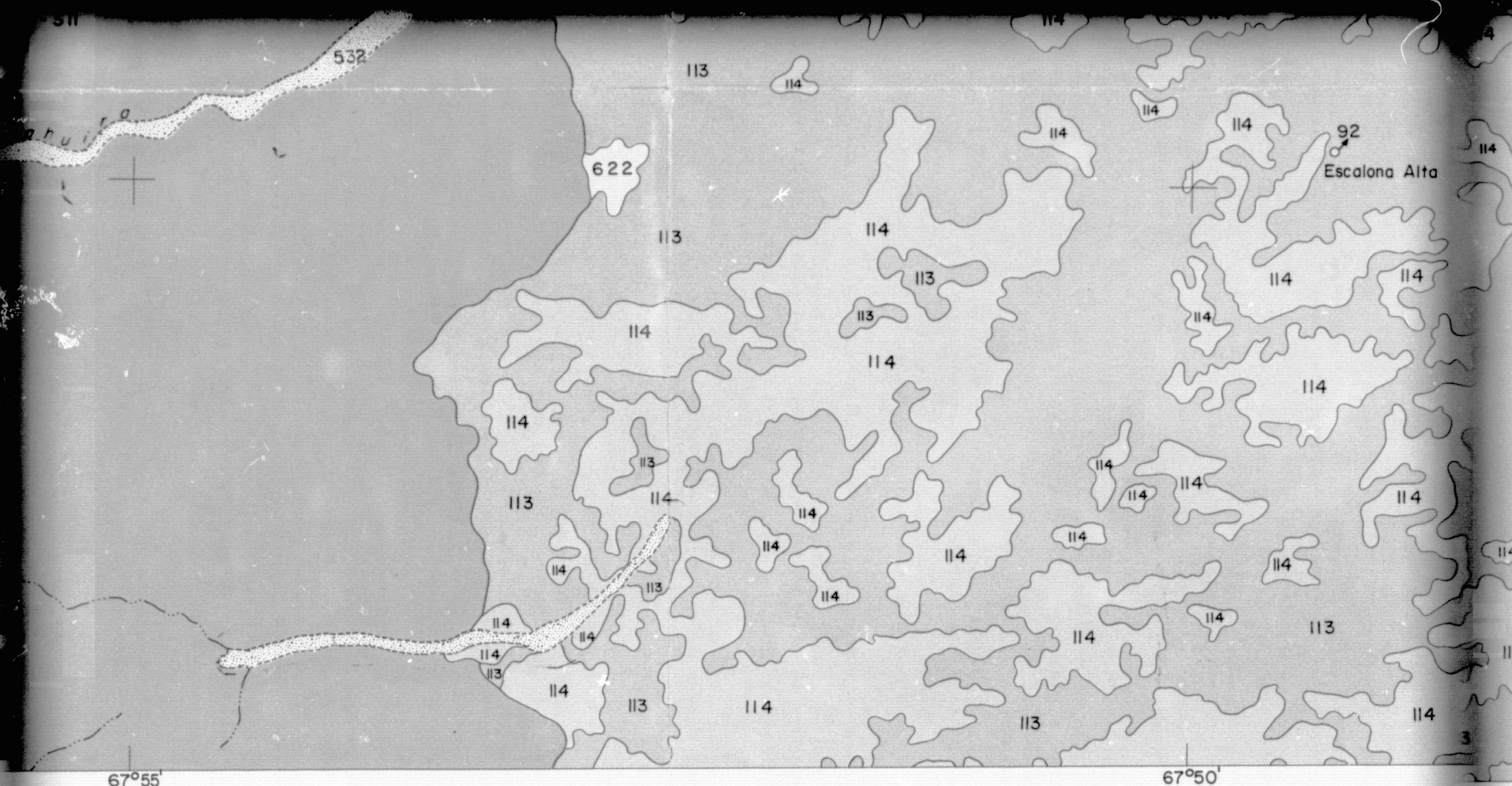
Preparado por el Programa del Satélite Tecnológico de Recursos Naturales, ERTS-Bolivia. Elaborado en base a cintas magnéticas del Satélite LANDSAT; procesamiento digital por computadora. Comprobación de campo realizada en 1977  
Base cartográfica: Mapas topográficos escala 1:50.000  
Instituto Geográfico Militar.

#### LEYENDA, USO ACTUAL DE LA TIERRA

1	Tierras con pastizales
11	Pastizales de altura
113	Pastizales de altura secos
113-311	Pastizales de altura secos y cultivos con una cosecha anual
114	Pastizales de altura secos afectados por salinidad
5	Agua
53	Rios
531	Rios permanentes
532	Rios temporales
6	Tierras eriales
63-113	Afloramientos rocosos y pastizales de altura secos
651	Tierras salinas
9	Areas urbanas
92	Pueblos
93	Transportes y comunicaciones
932	Carreteras y caminos



EOLDOUT ERAME 4



PROYECCION TRANSVERSA DE MERCATOR

SIGNOS CONVENCIONALES

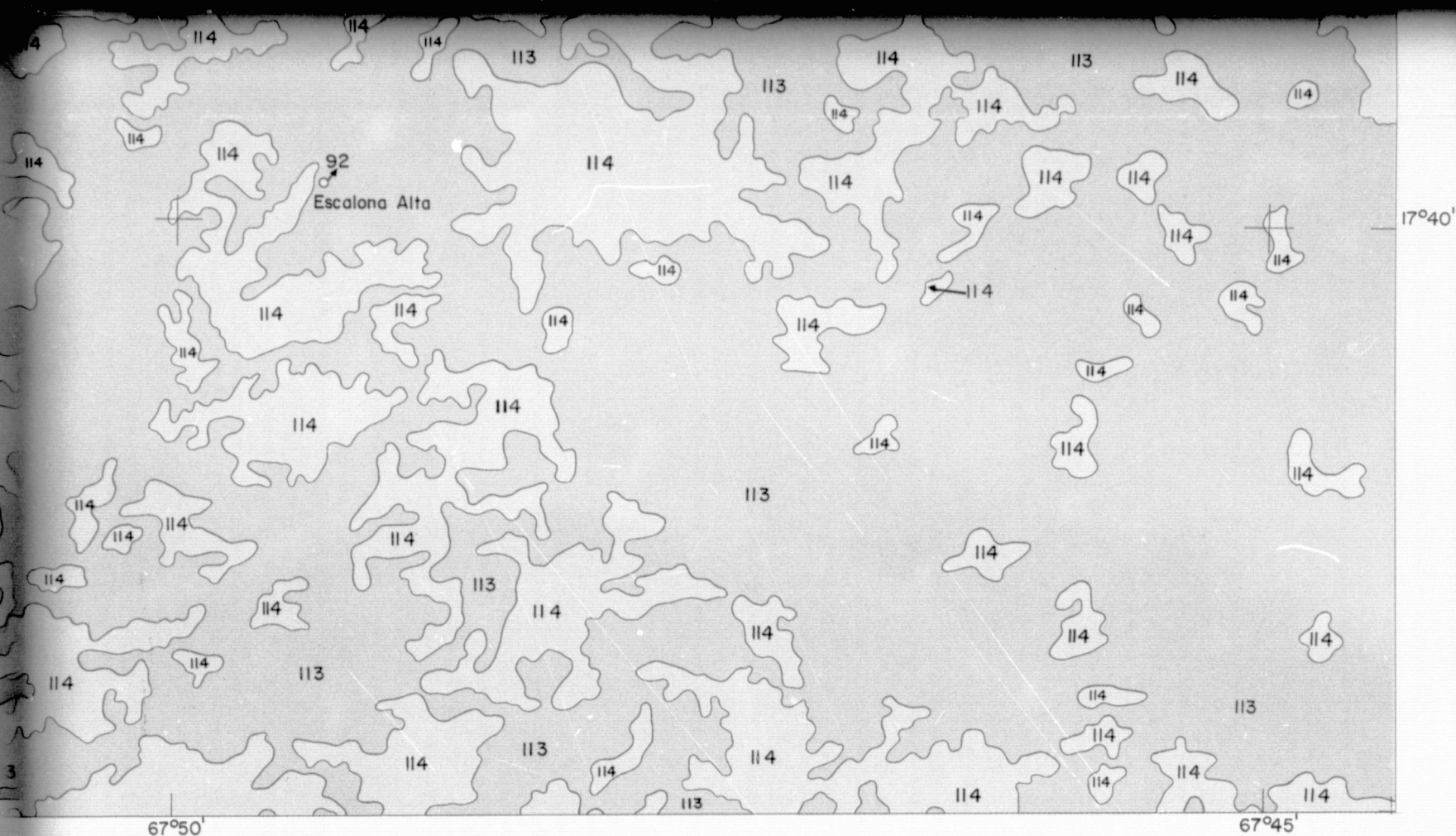
- Poblaciones importantes o
- Caminos ———
- Dunas, Arenales 622 621
- Rios permanentes ———
- Rios intermitentes - - - - -
- Aluvión - - - - -

**OLDOUT FRAME 5**

SE SOLICITA A LOS LECTORES QUE ENCUENTREN ERRORES U OMISIONES EN ESTE MAPA, MARCAR LAS CORRECCIONES EN EL MISMO Y ENVIARLO AL DIRECTOR DEL PROGRAMA ERTS, CASILLA 2729 LA PAZ-BOLIVIA. ESTOS MAPAS SERAN DEVUELTOS O SUBSTITUIDOS SI ASI SE DESEA







LA PAZ - XI-77 IMPRESO POR EDITORIAL "OFFSET COLOR"

00 Metros

3 Millas Terrestres Inglesas

# UBICACION IMAGEN DESAGUADERO



MARCAR  
DESEA

EUCALIPTUS SUR

FOLDOUT FRAME 6



REPRODUCIBILITY OF THE ORIGINAL PAGE IS POOR

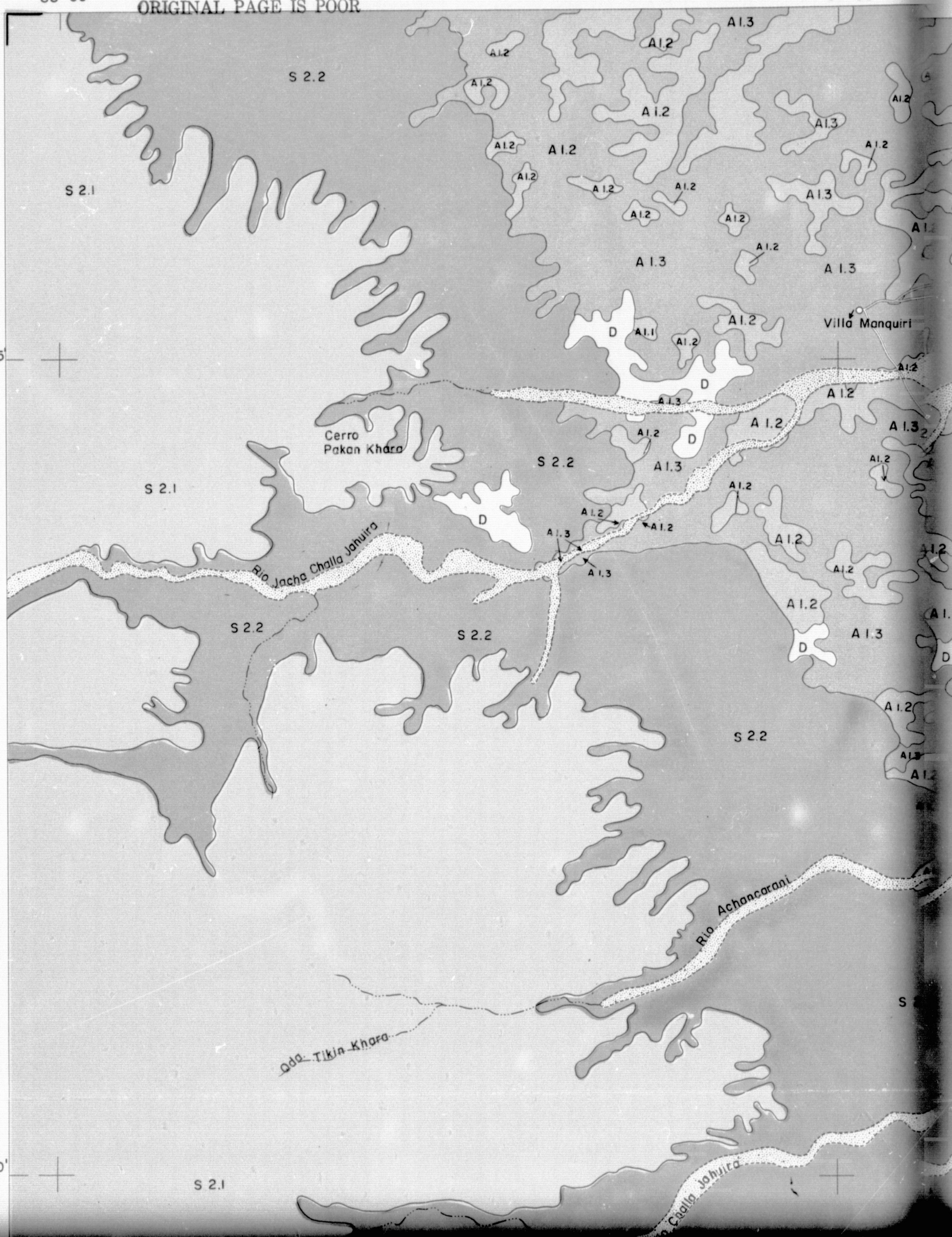
FOLDOUT FRAME

68°00'

 $67^{\circ}55'$ 

17°35'

17°40'





## EUCALIPTUS SUR

67°55'

OLDOUT FRAME 2

67°50'





SUR

FOLDOUT FRAME 3

MAPA DIGITAL  
EXPERIMENTAL

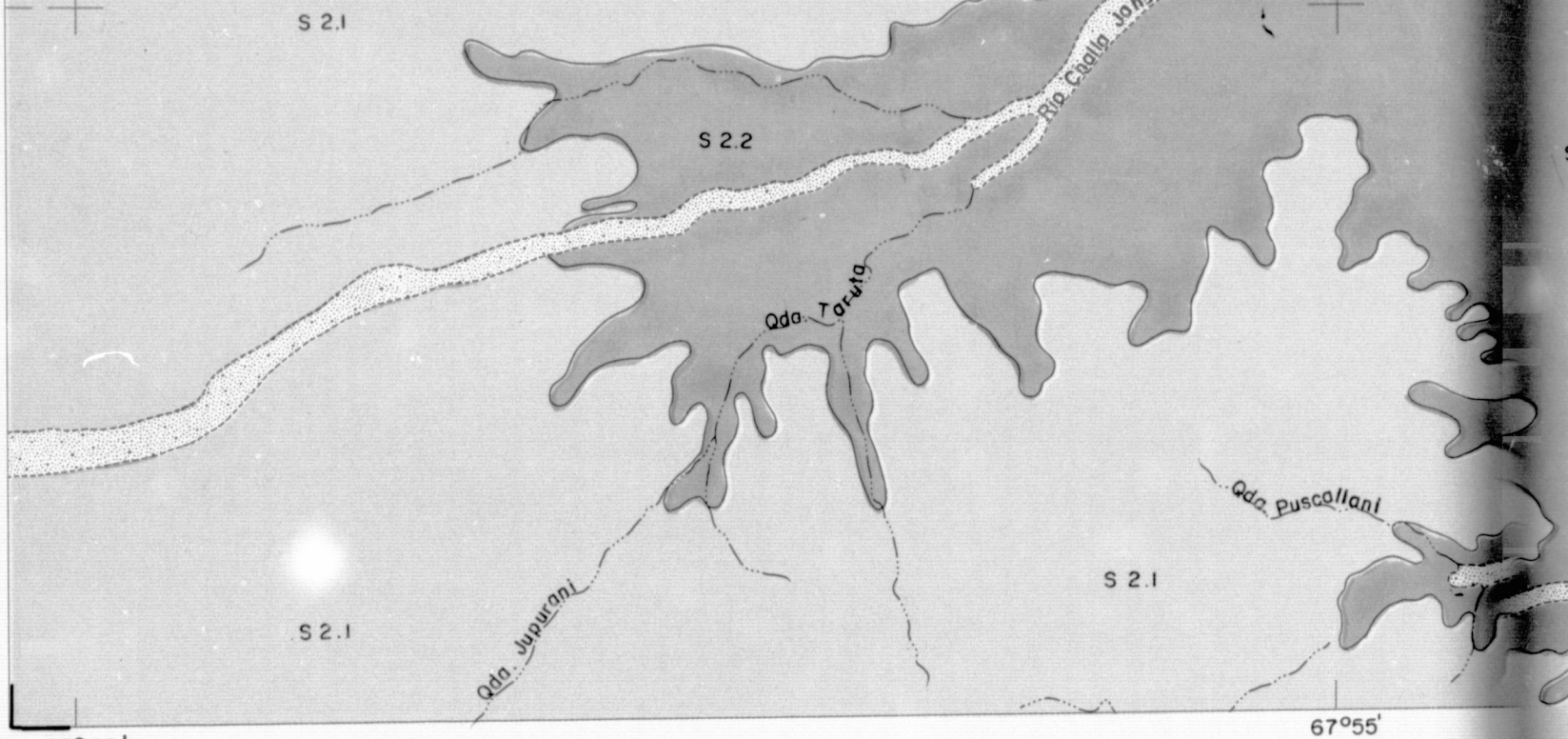
67°50'

67°45'





17°40'



68°00'

67°55'

EDICION 1-REB.

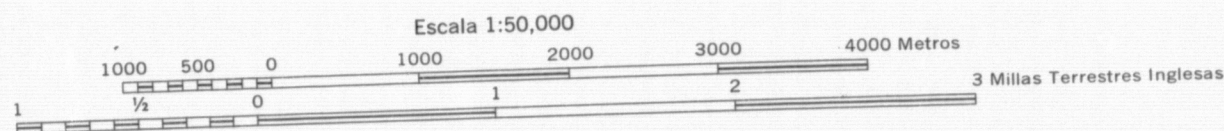
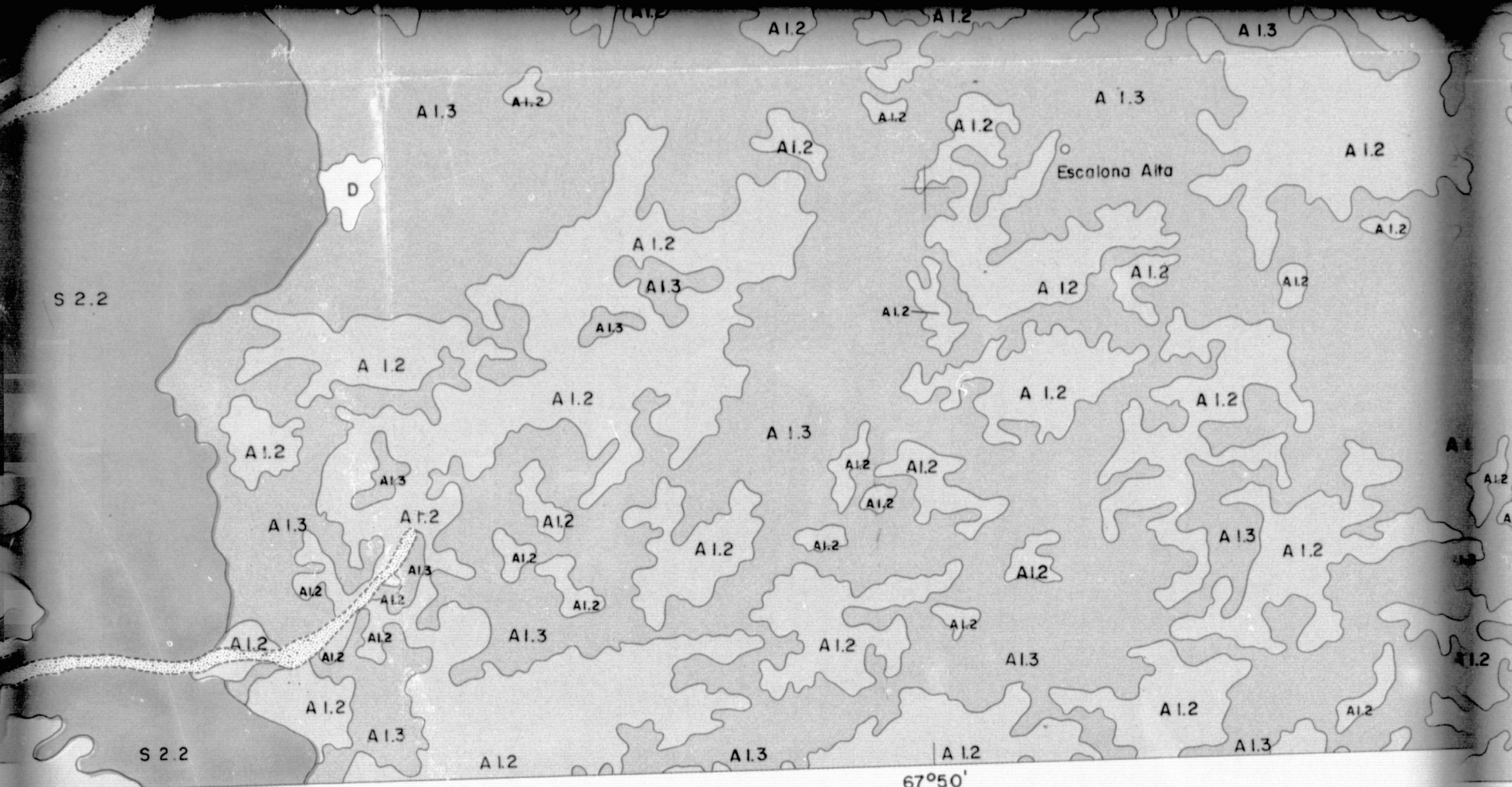
SE SOLICITA A LOS LECTORES QUE ENCUENTREN ERRORES U OMISIONES EN ESTE MAPA, MARCAR LAS CORRECCIONES EN EL MISMO Y ENVIARLO AL DIRECTOR DEL PROGRAMA ERTS, CASILLA 2729 LA PAZ-BOLIVIA. ESTOS MAPAS SERAN DEVUELTOS O SUBSTITUIDOS SI ASI SE DESEA

## LEYENDA, SUELOS

GRAN PAISAJE	PAISAJE	UNIDAD FISIOGRAFICA	UNIDAD DE MAPEO	CLASIFICACION TAXONOMICA	SIMBOLO EN EL MAPA
SERRANIA	Serranía de Huayllamarca y Laurani S 1	Colinas del Terciario Sedimentario, formado por areniscas rojas y blanquesinas intercaladas con lutitas arenosas. Conglomerados gruesos con estratificaciones de areniscas rojas.	Consociación: Huayllamarca	Lithic Ustochrepts	S 1
	Pie de Serranía S 2	Zonas fuertemente onduladas S 2.1	Consociación Las Lomas	Aridic Haplustals	S 2.1
		Zonas fuertemente onduladas S 2.2	Consociación: Tola Pata	Typic Ustipsamments	S 2.2
LLANURA LACUSTRE ALUVIAL	Llanura Sub-reciente A 1	Planos Salinos A 1.1	Asociación: Kolla La Cantera La Oveja Chijini	Typic Salorthids Typic Natrargids Duric Camborthids Vertic Camborthids	A 1.1
		Planos Moderadamente Salinos	Asociación: Hornillos La Joya	Vertic Camborthids Ustentic Camborthids	A 1.2
		Convexos Escasamente Salinos o Normales A 1.3	Asociación: Tolar A Tolar B	Ustentic Camborthids Fluventic Ustochrepts	A 1.3
	Llanura Reciente A 2	Planos Salinos A 2.1	Consociación: Castrillo	Typic Psammaquents	A 2.1

FOLDOUT FRAME 4





PROYECCION TRANSVERSA DE MERCATOR



SIGNOS CONVENCIONALES

Poblaciones importantes o

Camino

Dunas

Rios permanentes

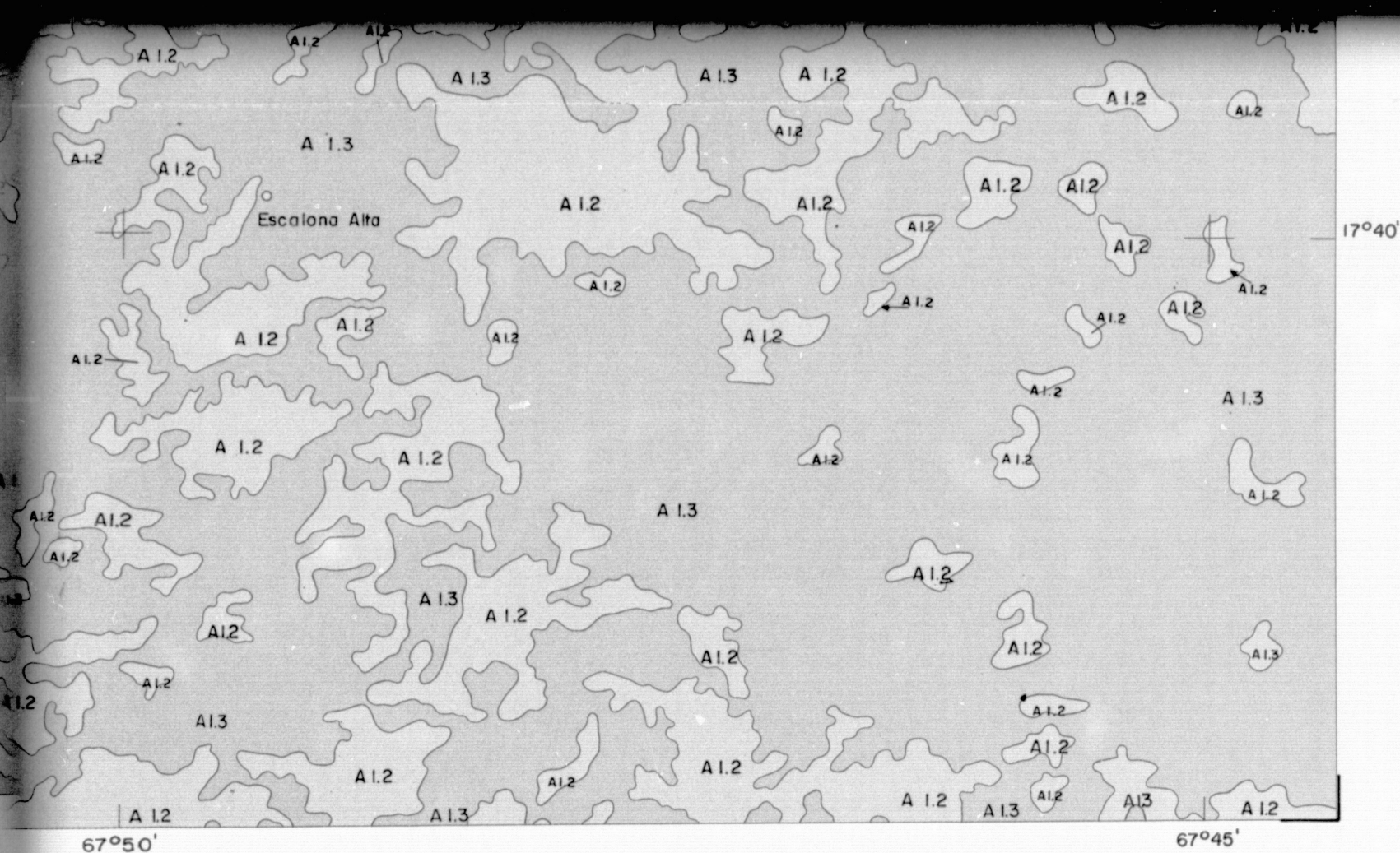
Rios intermitentes

Aluvión

Preparado por el Programa del Satélite Tecnológico de Recursos Naturales, ERTS-Bolivia. Elaborado en base a cintas magnéticas del Satélite LANDSAT; procesamiento digital por computadora. Comprobación de campo realizada en 1977. Base cartográfica: Mapas topográficos escala 1:50.000. Instituto Geográfico Militar.

**FOLDOUT FRAME 5**

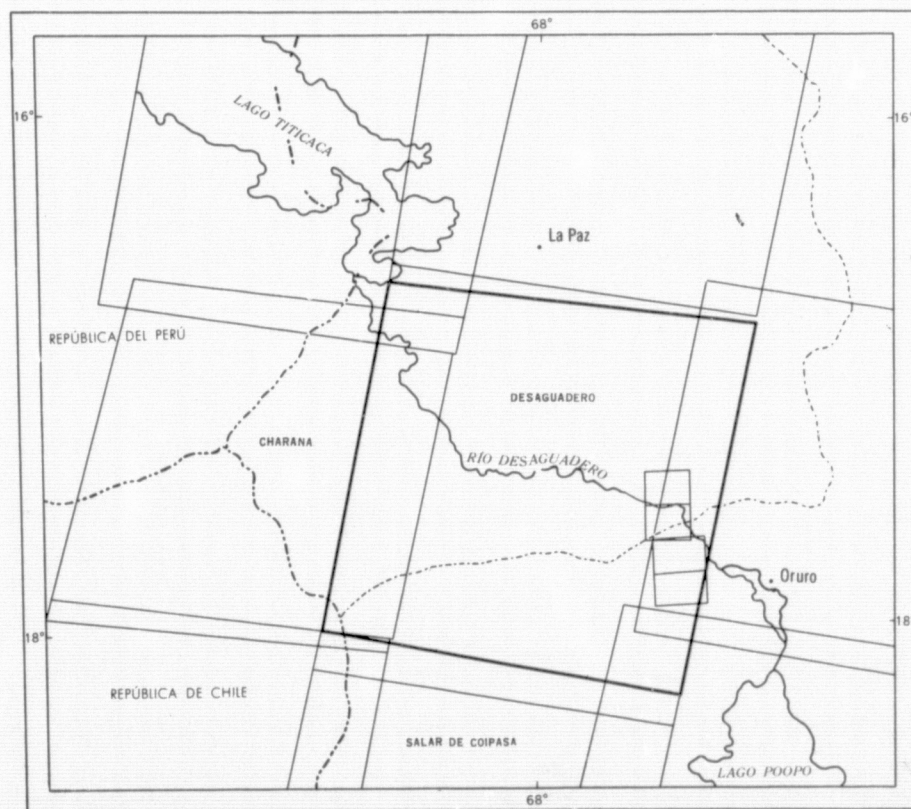




0,000  
2000 3000 4000 Metros  
2 3 Millas Terrestres Inglesas

LA PAZ -XI-77 IMPRESO POR EDITORIAL "OFFSET COLOR"

# UBICACION IMAGEN DESAGUADERO



TRANSVERSA DE MERCATOR

## CONVENCIONALES

Importantes

ntes

ntes

Tecnológico de Recursos Naturales, ERTS-  
néticas del Satélite LANDSAT; procesamien-  
n de campo realizada en 1977  
escala 1:50.000

FOLDOUT FRAME 6

EUCALIPTUS SUR

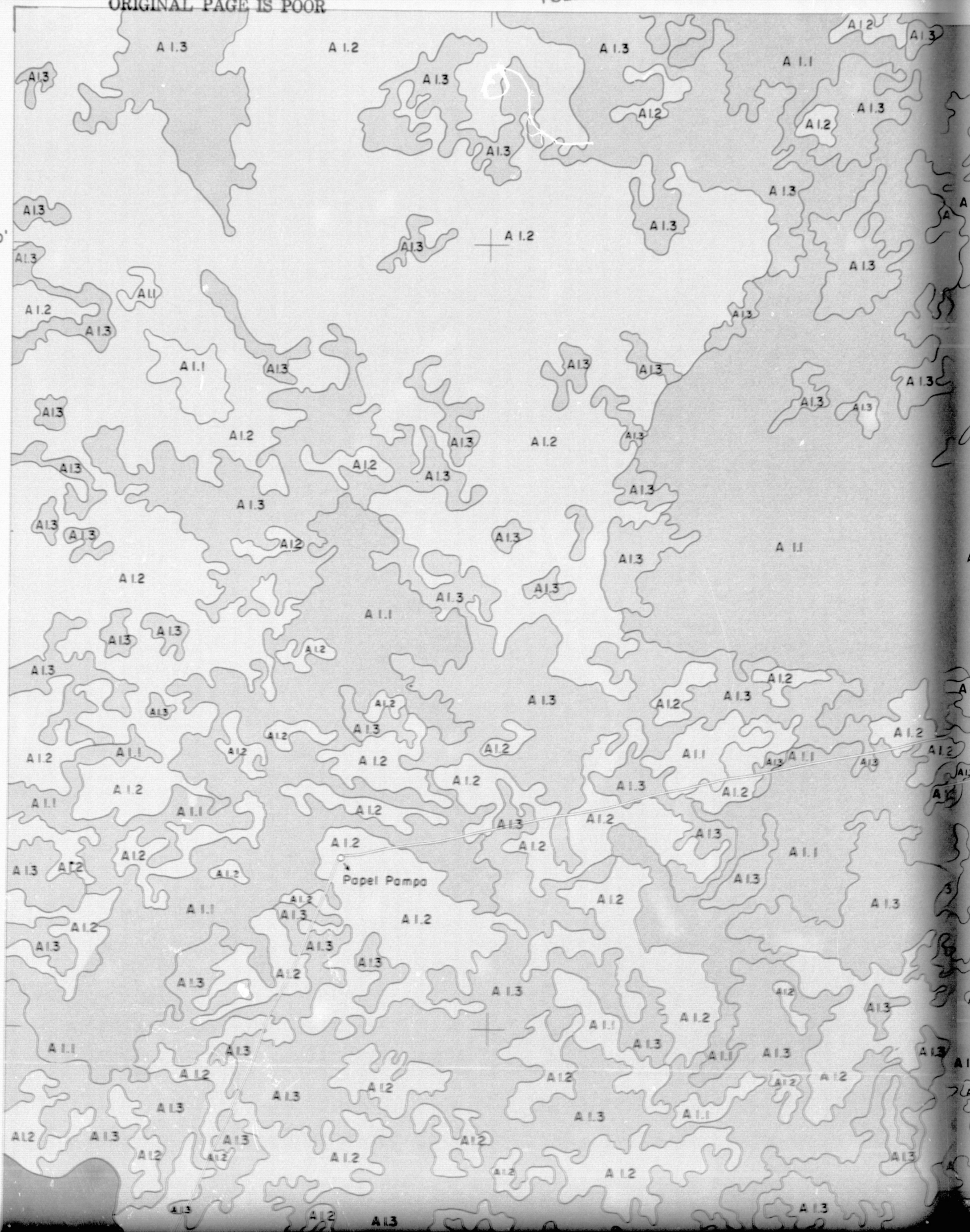


REPRODUCIBILITY OF THE  
ORIGINAL PAGE IS POOR

67°45' FOLDOUT FRAME

17°40'

17°50'

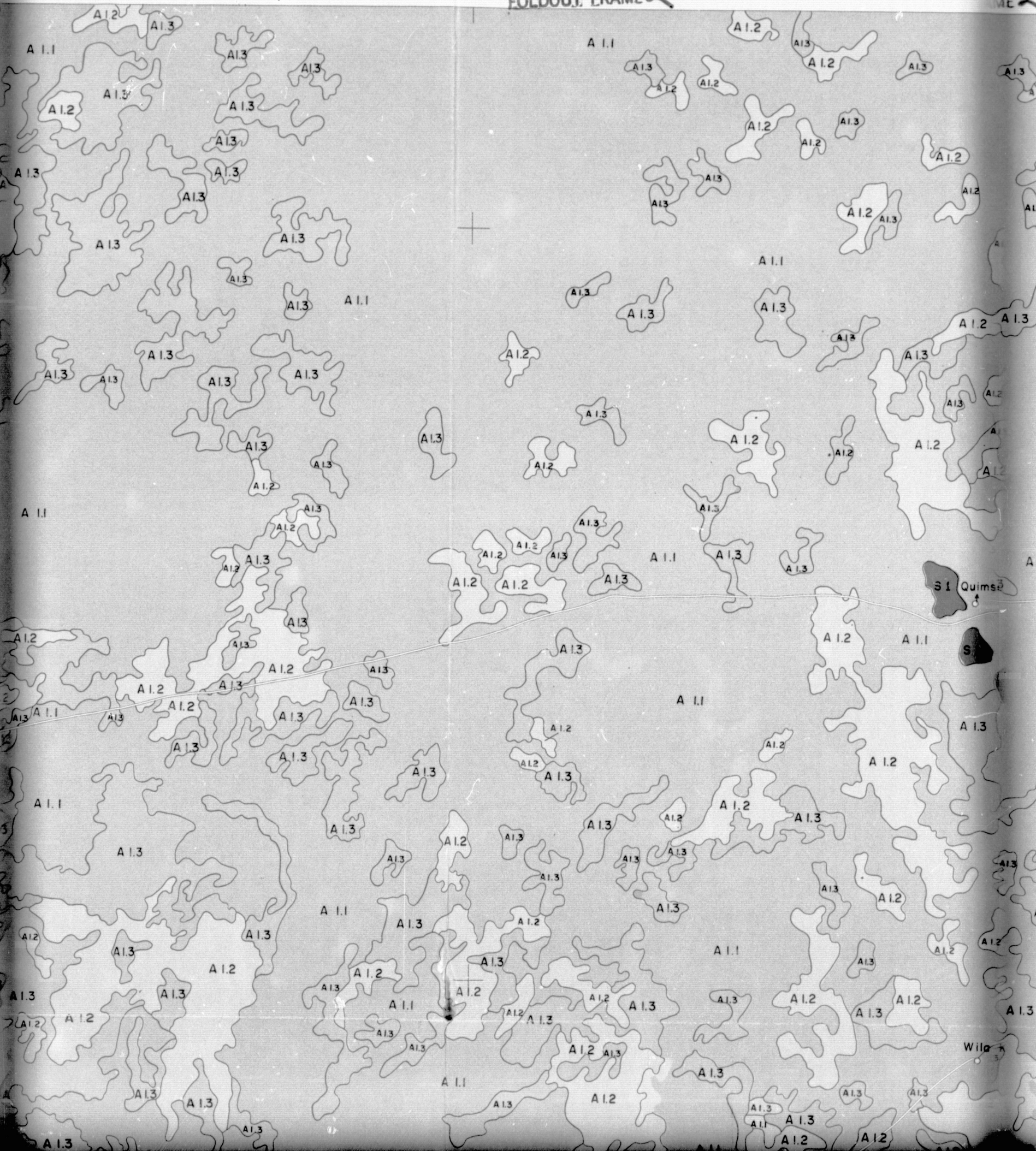




# HUAYLLAMARCA NORTE

67°40'

FOLDOUT FRAME 2





67°35'

2





17°50'



Ecía. Chiar Phujo

67°45'

EDICION 1- P.E.B.

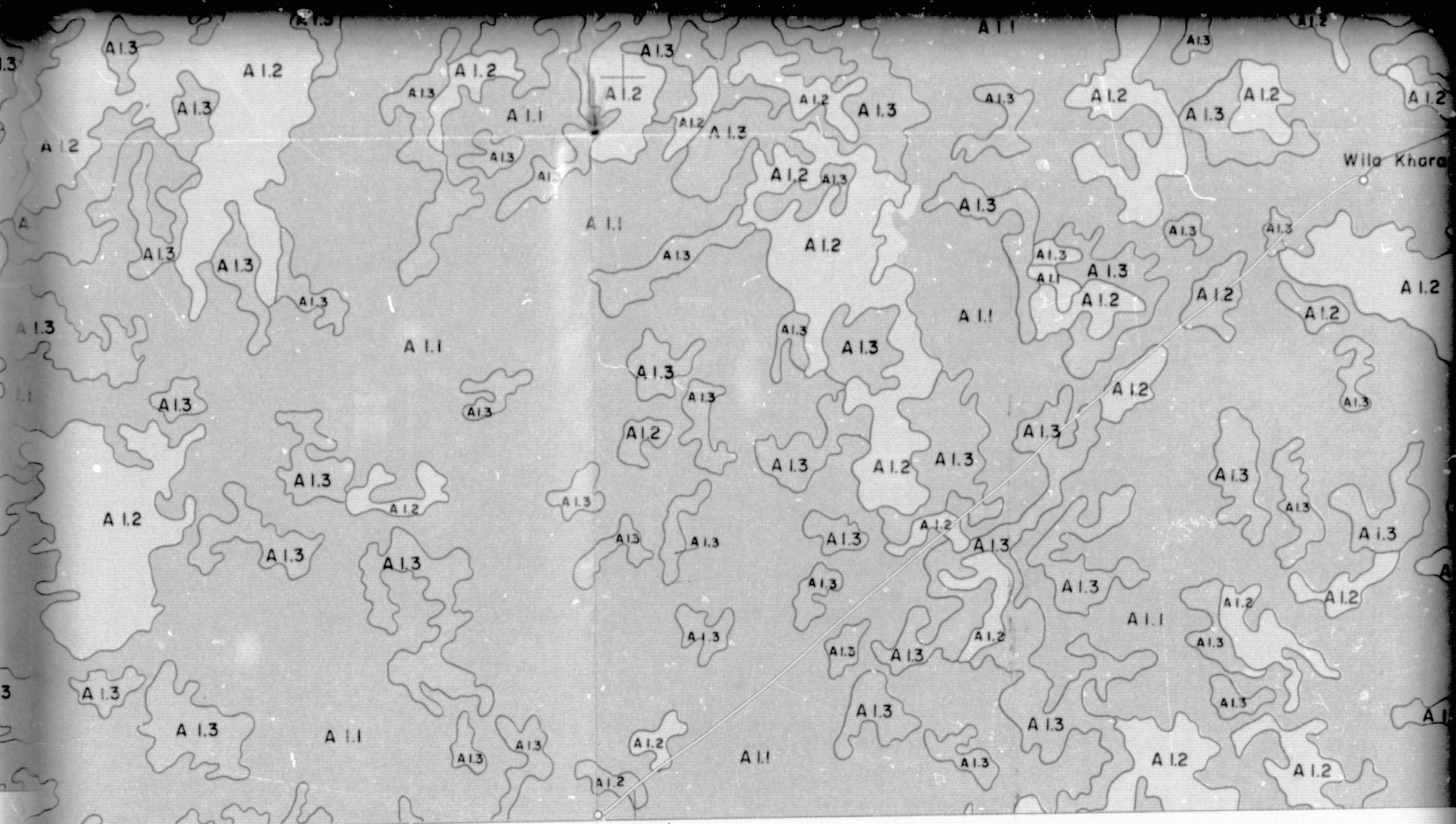
SE SOLICITA A LOS LECTORES QUE ENCUENTREN ERRORES U OMISIONES EN ESTE MAPA, MARCAR LAS CORRECCIONES EN EL MISMO Y ENVIARLO AL DIRECTOR DEL PROGRAMA ERTS, CASILLA 2729 LA PAZ-BOLIVIA. ESTOS MAPAS SERAN DEVUELTOS O SUBSTITUIDOS SI ASI SE DESEA

## LEYENDA, SUELOS

GRAN PAISAJE	PAISAJE	UNIDAD FISIOGRAFICA	UNIDAD DE MAPEO	CLASIFICACION TAXONOMICA	SIMBOLO EN EL MAPA
SERRANIA	Serranía de Huayllamarca y Laurani S 1	Colinas del Terciario Sedimentario, formadas por arenas rojas y blanquesinas intercaladas con lutitas arenosas. Conglomerados gruesos con estratificaciones de areniscas rojas.	Consociación: Huayllamarca	Lithic Ustochrepts	S 1
	Pie de Serranía S 2	Zonas fuertemente onduladas S 2.1	Consociación Las Lomas	Aridic Hapluetafals	S 2.1
		Zonas fuertemente onduladas S 2.2	Consociación: Tola Pata	Typic Ustipsamments	S 2.2
LLANURA LACUSTRE ALUVIAL	Llanura Sub-reciente A 1	Planos Salinos A 1.1	Asociación: Kolla La Cantera La Oveja Chijini	Typic Salorthids Typic Natrargids Duric Camborthids Vertic Camborthids	A 1.1
		Planos Moderadamente Salinos A 1.3	Asociación: Hornillos La Joya	Vertic Camborthids Ustentic Camborthids	A 1.2
		Convexos Escasamente Salinosos o Normales A 1.3	Asociación: Tolar A Tolar B	Ustentic Camborthids Fluventic Ustochrepts	A 1.3
	Llanura Reciente A 2	Planos Salinos A 2.1	Consociación: Castrillo	Typic Psammaquents	A 2.1

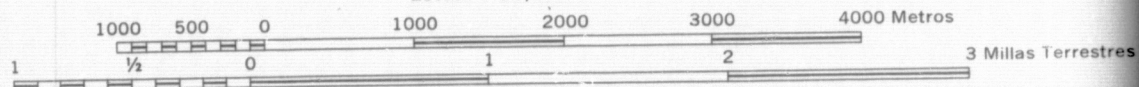
FOLDOUT FRAME 4



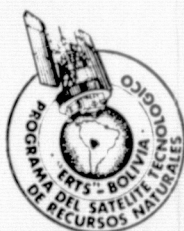


67°40'

Escala 1:50,000



CLASIFICACION	SIMBOLO EN EL MAPA
Alfabetos	S 1
Alfabetos	S 2.1
Alfabetos	S 2.2
Alfabetos	A 1.1
Alfabetos	A 1.2
Alfabetos	A 1.3
Alfabetos	A 2.1



PROYECCION TRANSVERSA DE MERCATOR

#### SIGNOS CONVENCIONALES

Poblaciones importantes	o
Caminos	—
Dunas	D
Rios permanentes	—
Rios intermitentes	- - -
Aluvión	- - -

Preparado por el Programa del Satélite Tecnológico de Recursos Naturales, ERTS-Bolivia. Elaborado en base a cintas magnéticas del Satélite LANDSAT; procesamiento digital por computadora. Comprobación de campo realizada en 1977  
Base cartográfica: Mapas topográficos escala 1:50.000  
Instituto Geográfico Militar.





67° 35'

1:50,000

IMPRESA EN LOS TALLERES DE INDUSTRIAS OFFSET COLOR S.R.L.  
INDABURO 1184 - TEL.: 53258 - LA PAZ - BOLIVIA

2000 3000 4000 Metros

3 Millas Terrestres Inglesas

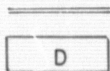
# UBICACION IMAGEN DESAGUADERO

ON TRANSVERSA DE MERCATOR

S CONVENCIONALES

ones importantes

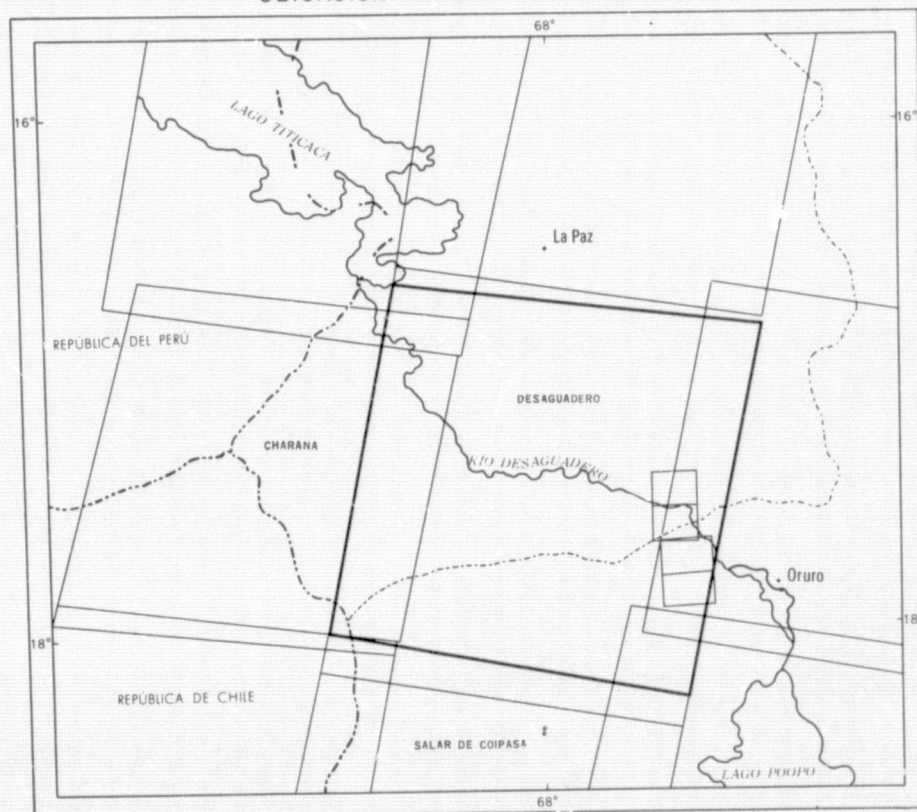
o



manentes

ermitentes

Satélite Tecnológico de Recursos Naturales, ERTS-  
magnéticos del Satélite LANDSAT; procesamien-  
probación de campo realizada en 1977  
cos escala 1:50.000



HUAYLLAMARCA NORTE

FOLDOUT FRAME 6



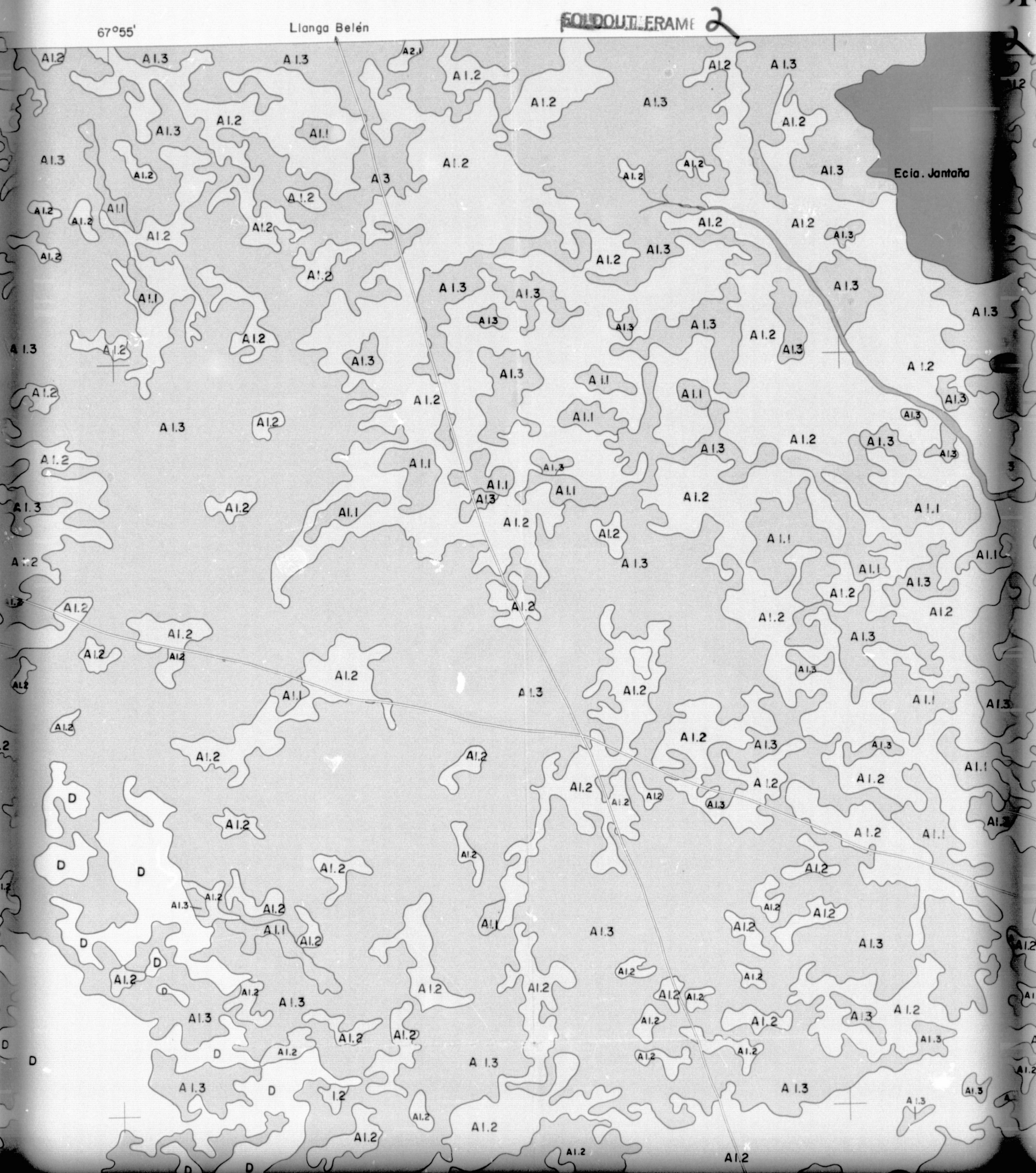
REPRODUCIBILITY OF THE  
ORIGINAL PAGE IS POOR

FOLDOUT FRAME!



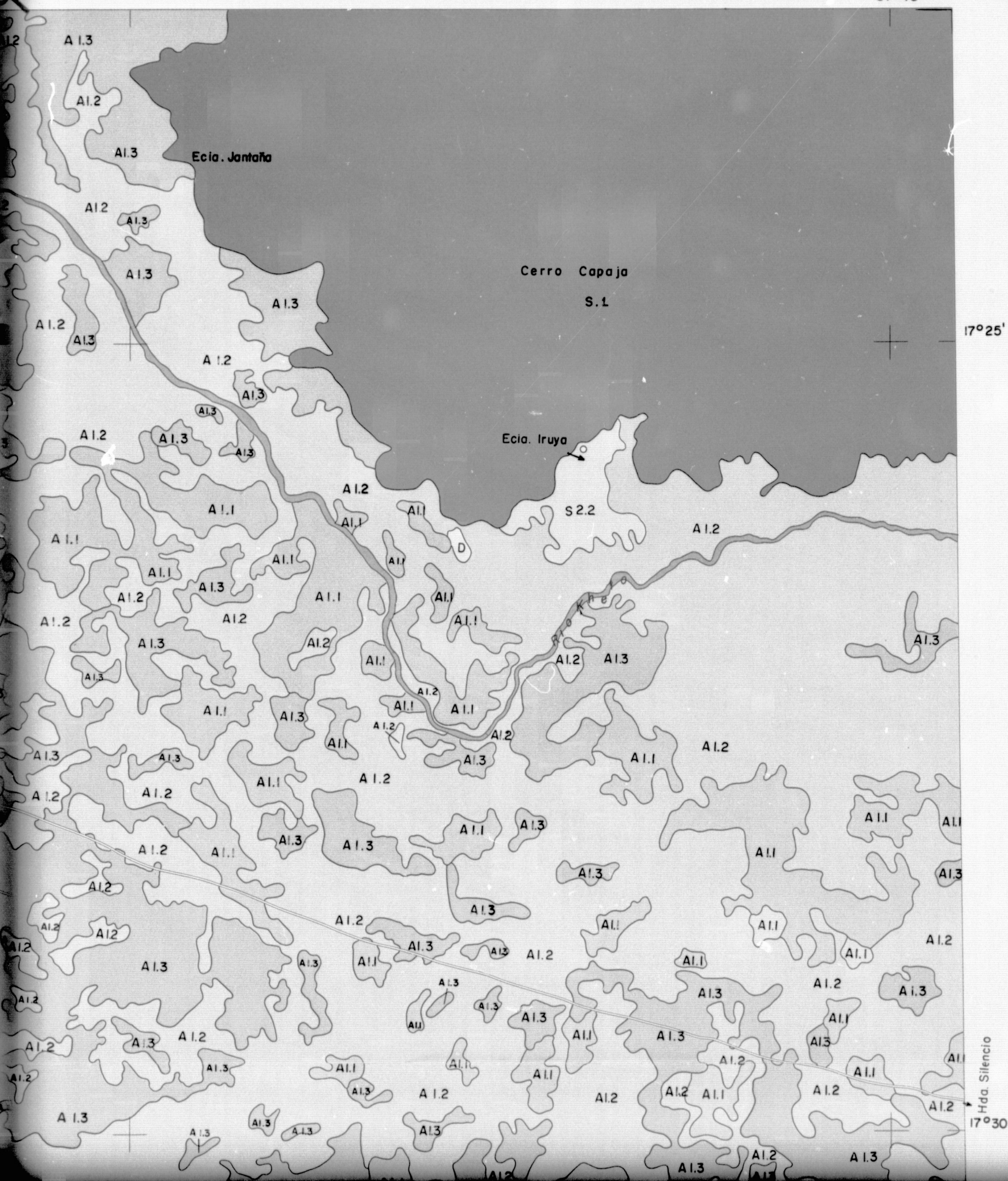


## EUCALIPTUS NORTE

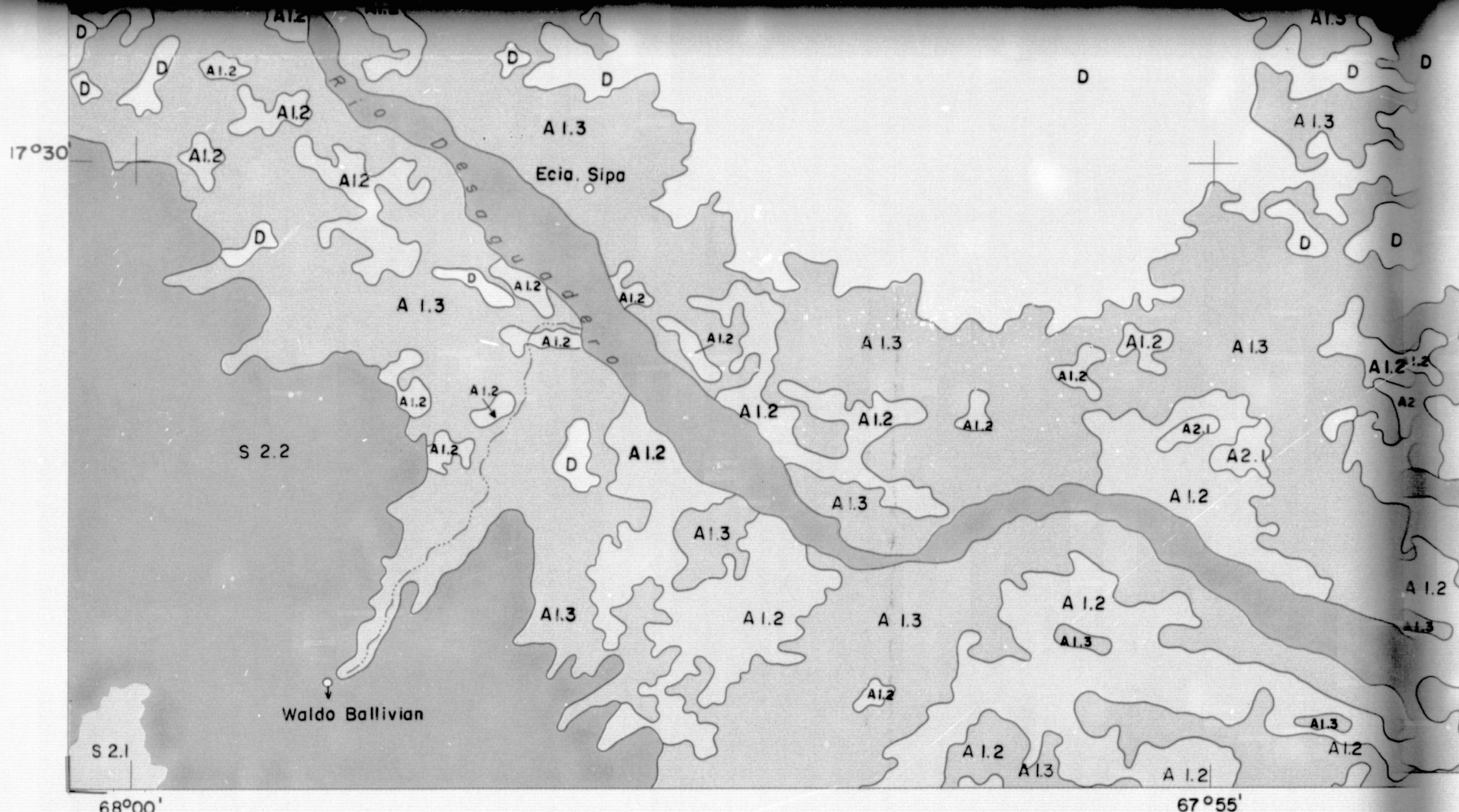




67°45'







EDICION 1-PE.B.

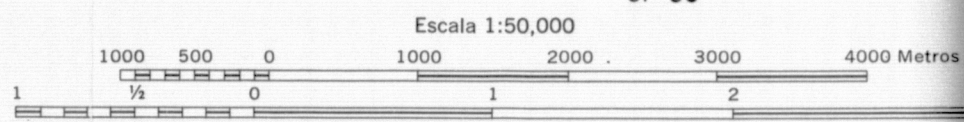
SE SOLICITA A LOS LECTORES QUE ENCUENTREN ERRORES U OMISIONES EN ESTE MAPA, MARCAR LAS CORRECCIONES EN EL MISMO Y ENVIARLO AL DIRECTOR DEL PROGRAMA ERTS, CASILLA 2729 LA PAZ-BOLIVIA. ESTOS MAPAS SERAN DEVUELTOS O SUBSTITUIDOS SI ASÍ SE DESEA

# LEYENDA, SUELOS

GRAN PAISAJE	PAISAJE	UNIDAD FISIOGRAFICA	UNIDAD DE MAPEO	CLASIFICACION TAXONOMICA	SIMBOLO EN EL MAPA
SERRANIA	Serranía de Huayllamarca y Laurani S 1	Colinas del Terciario Sedimentario, formado por arenas rojas y blanquesinas intercaladas con lutitas arenosas. Conglomerados gruesos con estratificaciones de areniscas rojas.	Consociación: Huayllamarca	Lithic Ustochrepts	S 1
	Pie de Serranía S 2	Zonas fuertemente onduladas S 2.1	Consociación Las Lomas	Aridic Haplustaifs	S 2.1
		Zonas fuertemente onduladas S 2.2	Consociación: Tola Pata	Tipic Ustipsamments	S 2.2
LLANURA LACUSTRE ALUVIAL	Llanura Sub-reciente A 1	Planos Salinos A 1.1	Asociación: Kolla La Cantera La Oveja Chijini	Tipic Salorthids Tipic Natrargids Duric Camborthids Vertic Camborthids	A 1.1
	A 1	Planos Moderadamente Salinos	Asociación: Hornillos La Joya	Vertic Camborthids Ustentic Camborthids	A 1.2
		Convexos Escasamente Salinos o Normales A 1.3	Asociación: Tolar A Tolar B	Ustentic Camborthids Fluventic Ustochrepts	A 1.3
	Llanura Reciente A 2	Planos Salinos A 2.1	Consociación: Castrillo	Tipic Psammaquents	A 2.1

FOLDOUT FRAME 4





CLASIFICACION TAXONOMICA	SIMBOLO EN EL MAPA
Lithic Ustochrepts	S 1
Aridic Haplustaifs	S 2.1
Tipic Ustipsamments	S 2.2
Tipic Salorthids	A 1.1
Tipic Natrargids	
Durio Camborthids	
Vertic Camborthids	
Vertic Camborthids	A 1.2
Ustentic Camborthids	
Ustentic Camborthids	A 1.3
Fluventic Ustochrepts	
Tipic Psammaquents	A 2.1



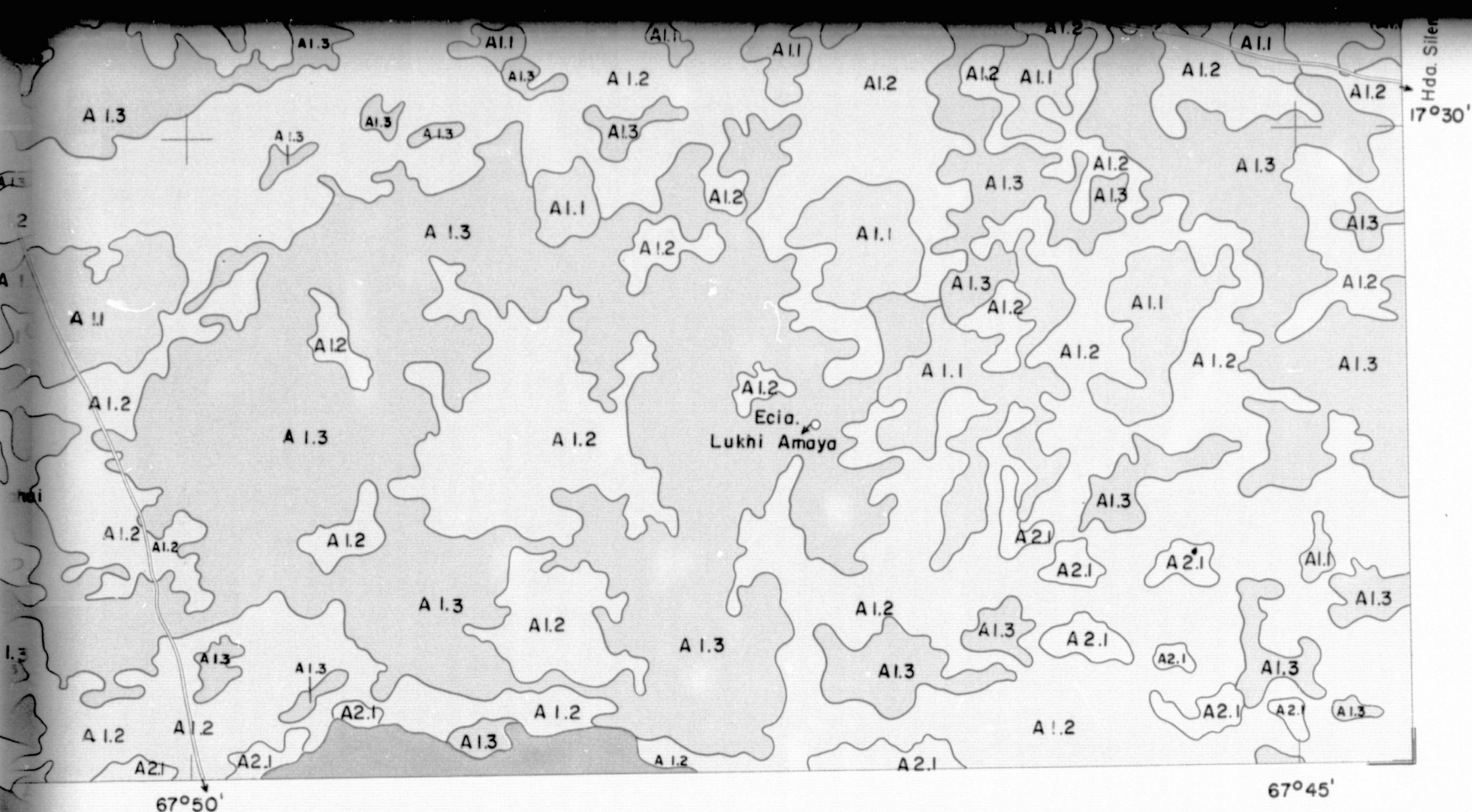
PROYECCION TRANSVERSA DE MERCATOR

SIGNOS CONVENCIONALES

- Poblaciones importantes o
- Camino
- Dunas D
- Rios permanentes
- Rios intermitentes
- Aluvión

Preparado por el Programa del Satélite Tecnológico de Recursos Naturales, ERTS-BOLIVIA. Elaborado en base a cintas magnéticas del Satélite LANDSAT; procesamiento digital por computadora. Comprobación de campo realizada en 1977. Base cartográfica: Mapas topográficos escala 1:50.000. Instituto Geográfico Militar.





1:50,000  
2000 3000 4000 Metros  
1 2 3 Millas Terrestres Inglesas

LA PAZ-XI-77 IMPRESO POR EDITORIAL "OFFSET COLOR"

UBICACION IMAGEN DESAGUADERO

ON TRANSVERSA DE MERCATOR

S CONVENCIONALES

ones importantes

ermanentes

ermitentes

Satélite Tecnológico de Recursos Naturales, ERTS-  
magnéticas del Satélite LANDSAT; procesamien-  
-probación de campo realizada en 1977  
-cos escala 1:50.000



EUCALIPTUS NORTE

FOLDOUT FRAME 6